

VYSOKÁ ŠKOLA STROJNÍ A TEXTILNÍ V LIBERCI
nositelka řádu práce

Fakulta textilní
Katedra tkalcovství a pletářství

Ing. Renata Štormová

SLEDOVÁNÍ A OVLIVŇOVÁNÍ TAHOVÝCH SIL V NITI
NA OKROUHLÍCH PLETACÍCH STROJÍCH
2,3 - technické vědy a nauky (obor 39-13-9)

Kandidátská disertační práce

Školitel: Prof. Ing. Vladimír Prašil, CSc.

O B S A H

	str.
Titulní list	1
Seznam použitých symbolů a zkratek	4
Obsah	2
1. <u>ÚVOD</u>	6
2. <u>PŘEHLED O SOUČASNÉM STAVU PROBLEMATIKY</u>	9
2.1 <u>TAHOVÉ SÍLY V NITI PŘI PLETENÍ NA OKROUHLÝCH PLETACÍCH STROJÍCH</u>	9
2.11 <u>Změny tahových sil v niti při odvinu s cívky</u>	10
2.111 Zhodnocení problematiky statí 2.11	14
2.12 <u>Vliv některých technických a technologických parametrů na tahové síly v niti v průběhu vedení a zkracování nitě včetně podávání nitě</u>	15
2.121 Zhodnocení problematiky statí 2.12	16
2.2 <u>PODÁVÁNÍ NITÍ NA VELKOPRŮMĚROVÝCH PLETACÍCH STROJÍCH</u>	27
2.21 <u>Přehled nejběžnějších typů podavačů používaných v současnosti</u>	28
2.211 Páskový podavač	29
2.212 Zásobníkové podavače	30
2.213 Ostatní typy podavačů	35
2.22 <u>Vliv podavačů na strukturu pleteniny: účinnost jednotlivých typů podavačů</u>	36
2.23 Zhodnocení problematiky statí 2.2	39
2.3 <u>HODNOCEŇÍ STRUKTURY PLETEŇIN</u>	40
3. <u>CÍL DISERTACE</u>	41
4. <u>ZVOLENÉ METODY ZPRACOVÁNÍ</u>	42
5. <u>VÝSLEDKY DISERTAČNÍ PRÁCE</u>	47
5.1 <u>ODVIN NITĚ S PŘEDLOHOVÉHO TĚLESA A VEDENÍ NITĚ VPS BEZ POUŽITÍ PODAVAČE</u>	49
5.11 <u>Vliv zpracovávaného materiálu na průběh tahových sil v niti</u>	53
5.12 <u>Vliv průměru křížové cívky na tahové síly v niti</u>	55
5.13 <u>Tahové síly v niti za vodicími a dalšími elementy pletacího stroje</u>	58

	str
5.2 ODVIN NITĚ S PŘEDLOHOVÉHO TĚLESA A VEDENÍ NITĚ VPS PŘI POUŽITÍ PODAVAČE	68
5.3 PODAVAČE NITÍ NA VELKOPRŮMĚROVÝCH PLETACÍCH STROJÍCH	70
5.31 <u>Podavač VŠST-A (s válečky se šroubovou drážkou malého průměru)</u>	72
5.32 <u>Podavač VŠST-B (s válečky se šroubovou drážkou velkého průměru)</u>	74
5.33 <u>Podavač VŠST-C (s ozubeným podáváním)</u>	76
5.34 <u>Podavač VŠST-D (s hladkými válečky)</u>	77
5.4 ZKOУŠKY PODAVAČŮ NITÍ A JEJICH VYHODNOCENÍ	82
5.41 <u>Měření tahových sil v niti za jednotlivými typy podavačů</u>	83
5.42 <u>Měření tahových sil v niti za podavačem P5 (VŠST-D2) v závislosti na změně rychlosti podávání nitě</u>	85
5.5 ŘEŠENÍ PRŮBĚHU TAHOVÝCH SIL V NITI	93
5.51 <u>Teoretický výpočet průběhu tahových sil v niti v oblasti tvorby očka</u>	94
5.52 <u>Teoretické stanovení relativních rychlostí nitě v oblasti tvorby očka</u>	102
5.6 PRAKTICKÁ MĚŘENÍ TAHOVÝCH SIL V OBLASTI TVORBY OČKA	113
5.61 <u>Popis a funkce simulátoru měření tahových sil</u>	113
5.62 <u>Vlastní měření na simulátoru</u>	117
6. KONKRÉTNÍ ZÁVĚRY PRO REALIZACI VE SPOLEČENSKÉ PRAXI A PRO DALŠÍ ROZVOJ VĚDY	125
Seznam literatury	130

Seznam použitých symbolů a zkratok

1. Symbols

F	- tahová síla v niti [N]
F_0	- počáteční tahová síla v niti [N]
F_{od}	- tahová síla od odtahu [N]
d_c	- průměr křížové cívky [mm]
ζ	- koeficient tření [1]
α	- úhel opásání [rad]
n	- index vyjadřující vztah nit-nit
K	- index vyjadřující vztah nit-kov
od	- index vyjadřující vztah pletenina-kov
χ_1	- úhel zatahování [°]
χ_2	- úhel odlehčování [°]
v_p	- rychlosť podávania nitě [m.s ⁻¹]
v_o	- obvodová rychlosť stroje [m.s ⁻¹]
v_j	- relativná rychlosť jehly [m.s ⁻¹]
T	- jemnosť nitě [10 ⁶ kg.m ⁻¹]
v	- relativná rychlosť nitě [m.s ⁻¹]
n	- počet očiek na obvodu lúžka [1]
n	- otáčky mechanizmu [s ⁻¹] (viz stat 5.52)
t	- čas [s]
h	- rozteč jehel [m]
L ₁	- pásmo zatahování [m]
L ₂	- pásmo odlehčování [m]
x, y	- osové souřadnice
c	- vzdálenost mezi osou průřezu starého očka a osou žebra lúžka [m]
l	- délka nitě v očku, popř. délka zapletané nitě [m]
A, B, C...	- body (viz kap. 5.0)
n_{\uparrow}	- počet jehel při odlehčení [1]
n_{\downarrow}	- počet jehel zatahujících [1]
S	- vertikální vzdálenost nejhloběji zatažené jehly od hrany lúžka [m]
S ₁	- vertikální vzdálenost 1. zatažené jehly od hrany lúžka [m]
P1 - PS	- orientační značení sledovaných podavačů

Poznámka: Některé symboly, které se vyskytují ojediněle, zejména v kapitole 2.0, jsou vysvětleny přímo v textu.

2. Zkratky

VŠST - Vysoká škola strojní a textilní

KTP - Katedra tkalcovství a pletářství

VPS - velkoprůměrový pletací stroj

OPS - okrouhlý pletací stroj

ba - bavlna

PESs - polyesterová strž (v textu dále jen PES)

Grisuten - polyesterové vlákno (výrobce NDR)

Tesil - polyesterové vlákno (výrobce ČSSR), v kapitole 5.0 je tato zkratka použita pro modifikované polyesterové vlákno Tesil 12

Poznámka: Při experimentech bylo použito následující materiálové složení: 50 PESs/50 Tesil 12, 55 Grisuten/45 Tesil 12.

1. ÚVOD

Politicko-ekonomické cíle, které si vytýčila naše socialistická společnost, směřují k uspokojování rostoucích potřeb člověka a zvyšování jeho životní úrovně. K zabezpečení tohoto cíle přispívá významnou měrou i textilní průmysl.

Velká obliba pletených výrobků, která byla vyvolána užitnými vlastnostmi pletenin, možnostmi zpracovávat širokou škálu materiálů, rozsahem druhů výrobků a v neposlední řadě i ekonomickými ukazateli, měla za následek rychlejší rozvoj pletařského průmyslu než ostatních textilních technologií.

Rozvoj surovinové základny, strojního zařízení a uplatňování pletenin v širokém sortimentu výrobků, vedly ke značné složitosti výrobní problematiky. V této souvislosti zdůraznil XVI. sjezd KSČ závislost zvyšování efektivnosti práce a kvality výrobků na uplatňování vědy a technického rozvoje.

Složité otázky komplexního rozvoje pletařského průmyslu byly podnětem k zintenzivnění výzkumu procesu pletení. Cílem je tedy v prvé řadě vyrábět co nejkvalitněji. Proto současné výzkumy zahrnují řešení základních problémů, jako např. spolehlivost, rychlosť a plynulosť procesu pletení, zpracovatelaské vlastnosti nití a v neposlední řadě pak stejnoměrnost a kvalitu vyráběných pletenin. Protože největší produkci pletenin zajišťují velkopružové pletací stroje (cca 65 - 70 %), je výzkum zaměřen v mnoha případech do této oblasti.

Řešení problematiky stejnoměrnosti a kvality pletenin (ať už z hlediska estetického nebo ekonomického), nalezení vztahů a souvislostí s jednotlivými technologickými parametry, podmínkami procesu pletení a pod., může podstatně přispět k dalšímu rozvoji ekonomiky nejen procesu pletení, ale i celé pletařské výroby.

Praxe ukazuje, že podstatným činitelem, který způsobuje nerovnoměrnost pletení, je tahová síla v niti. Proto obsahem výzkumu je sledování podmínek vzniku tahových sil, jejich průběhu a změn během procesu pletení, souvislost s technickými a technologickými parametry a v neposlední řadě pak celkový vliv na strukturu pleteniny, u které dochází vlivem změn tahových sil v niti ke zhoršení stejnoměrnosti a celkové kvality.

Hlavním technologickým požadavkem při výrobě pletenin je dodržení stanoveného základního parametru. V tomto případě je určujícím faktorem pro hodnocení pleteniny spotřeba nitě na očko, a to nejen z hlediska kvality pleteniny, ale i z hlediska úspory textilního materiálu. Ze současných poznatků vyplývá, že délka nitě v očku vlivem tahových sil v niti kolísá.

Vedle kvality pleteniny a úspory materiálu sleduje řešení problematiky tahových sil v niti ještě další důležitý ekonomický faktor, a sice snižování respektivě odstranění přetrhů nitě během procesu pletení. Tyto přetrhy jsou do značné míry zapříčiněny extrémním vzrůstem tahových sil k hranici pevnosti nitě.

Současné výzkumy ukazují některé cesty ke zdokonalení průběhu procesu pletení. Například použitím podavače na pletacím stroji lze do určité míry eliminovat účinek narůstajících tahových sil v niti vlivem jejího vedení na pletacím stroji.

Problematika tahových sil v procesu pletení je značně rozsáhlá a není v současnosti komplexně řešena, i když z dílčích výsledků je zřejmé, že tahové síly jsou významným faktorem ovlivňujícím průběh procesu pletení a jeho efekt ve výsledných vlastnostech hotového výrobku a tím ekonomiku celé výroby pletenin.

V úvodu bych chtěla rovněž poděkovat spolupracovníkům katedry tkalcovství a pletářství na VŠST, kteří mi vytvořili dobré podmínky pro realizaci této práce, zejména pak pracovníkům laboratoří katedry, s. Ing. Z. Vitamvásovi, CSc., s. J. Jandovi a s. H. Pavlovičové. Dále bych pak chtěla poděkovat svému školiteli s. Prof. Ing. V. Prášilovi, CSc. za cenné rady při vedení této disertační práce.

2. PŘEHLED O SOUČASNÉM STAVU PROBLEMATIKY

Současné výzkumy dokazují, že vnitřní struktura textilních útvarů, t.j. uspořádání jednotlivých strukturálních elementů, má rozhodující význam pro jejich vlastnosti. Porovnáme-li zákonité vztahy této struktury, můžeme podle nich odvodit vlastnosti daného textilního útvaru.

Jedním ze zásadních faktorů, ovlivňujících strukturu pleteniny, je existence tahových sil v zapletané niti, zejména pak jejich průběh v závislosti na některých technologických a technických parametrech.

V souladu s tematickým zaměřením disertační práce tato kapitola sleduje tři více méně samostatné oblasti, které na sebe ve skutečnosti logicky navazují. Jedná se o tyto oblasti:

- 2.1 Tahové síly v niti při pletení na okrouhlých pletacích strojích. (Vznik, průběh a mechanizmus ovlivňování tahových sil, měření tahových sil a podobně)
- 2.2 Podávání nití na velkopružněrových pletacích strojích.
- 2.3 Metody výhodnocování struktury pletenin.

2.1 TAHOVÉ SÍLY V NITI PŘI PLETEní NA OKROUHLÍCH PLETACÍCH STROJÍCH

Během procesu pletení dochází k odchylkám tahové síly v niti od tahové síly, která je pro příslušný proces optimální. Tyto změny tahové síly mají různé příčiny.

V zahraničí (např. SSSR, NSR, Velká Britanie) i u nás se výzkumem procesu pletení soustavně zabývá řada institucí. O problematice tahových sil a jejich souvislosti jak s procesem pletení, tak i s výslednou strukturou pleteniny existuje řada publikací, představujících rozsáhlý studijní materiál a podklady pro další výzkum.

Oblast tahových sil nelze chápát jen úzce ohraničeně, jako sledování a měření tahových sil například mezi cívkovým tělesem a mechanizmy pletacího stroje. Výzkum v této oblasti by měl naopak zahrnovat i řešení problémů, které nesouvisí přímo s procesem pletení, jako např. příprava materiálu apod. Řada výzkumů se zabývá například vlivem tvaru a velikosti návinu na změny tahových sil, vlivem úkosu použité dutinky, povrchovou úpravou nitě a pod.

Další výzkumné práce sledují vliv některých technických a technologických parametrů na průběh tahových sil v niti. Tyto výzkumy jsou zaměřeny na vlivy uložení a umístění vodících prvků, vlivy různých způsobů odvíjení, vedení a podávání nitě a s tím související řadou dalších problémů.

Bylo tedy třeba se při rozboru uveřejněné odborné literatury zaměřit zejména na tyto oblasti:

- 2.11 Změny tahových sil v niti při odvinu s cívky
- 2.12 Vliv některých technických a technologických parametrů na tahové sily v niti v průběhu vedení a zpracování nitě včetně vlivu podávání nitě

2.11 Změny tahových sil v niti při odvinu s cívky

Operace soukání má velký význam pro všechny textilní technologické procesy. Zejména pak v pletařském průmyslu jsou kladený na kvalitu nití a návinu velké nároky, protože zde dochází ke zpracování nití přímo z cívek, které přicházejí z přípravny. Odvíjení nitě s cívkového tělesa (křížové cívky) je při technologickém zpracování ovlivňováno různými technickými a technologickými faktory. Jsou to zejména faktory cívkového tělesa, tedy geometrické rozměry, způsob vinutí, vlastní způsoby odvíjení nitě s tohoto tělesa a fyzikálně-mechanické vlastnosti nitě. Ve svém důsledku na odvíjenou nit působí různé sily, vytvářející potom v niti

tahové síly obvykle proměnných hodnot. Tahové síly v niti jsou ovlivňovány přilnavostí nitě k cívkovému tělesu, vlastním trením nitě o nitové těleso, balonováním nitě, odporem vzduchu a dalšími.

Bohatá literatura popisující problematiku odvíjení nitě z nitových těles komentuje obvykle výsledné tahové síly v niti za nitovým očkem.

Tak např. autor KORJAGIN /1/ zkoumal podrobnější podmínky zatížení nitě v bodě odvinu. Na základě aplikace teorie šikmého rázu mezi ohebnou nití a hmotným bodem odvodil vztah

$$F = T \cdot v^2 + \frac{F_p}{2 \sin \frac{\varphi_0}{2}} \quad (1)$$

kde F - tahová síla v niti [N]

T - jemnost nitě [tex]

v - rychlosť nitě [$m \cdot s^{-1}$]

φ_0 - úhel odvinu [°]

F_p - síla přilnavosti nitě k povrchu cívky [N]

Autor MILČENKO /2/ pro výpočet nárustu tahové síly u nestejnometerné nitě uvádí vztah

$$F = F_0 + F_r \cdot \sin \alpha_i \quad (2)$$

kde F - výsledná tahová síla v niti [N]

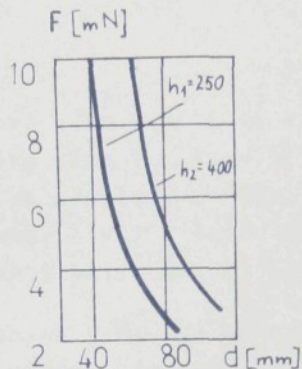
F_0 - vstupní tahová síla v niti [N]

F_r - síla reakce prvku v bodě dotyku [N]

α_i - úhel trení [1]

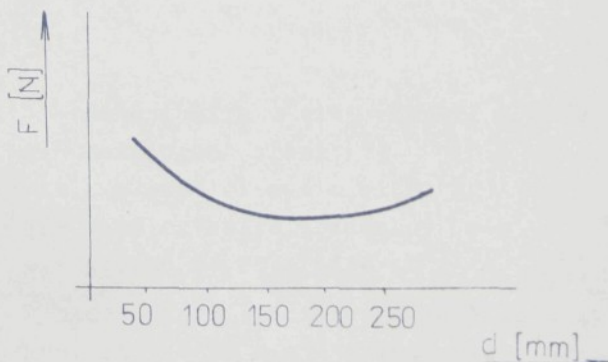
Autorka GUSEVA /3/ zabývající se touto problematikou zkoumá vliv výšky balonu na tahovou sílu v niti. Výsledky ukázaly, že s odvinem cívky se tahová síla od balonu zvětšuje. Tato tahová síla vzrůstá také s rostoucí výškou ba-

lonu. Obr. 1 znázorňuje výsledky výzkumu dle autorky /3/ vlivu průměru cívky d [mm] a výšky balonu h [mm] na tahovou sílu v niti F [mN].



Obr. 1

Průběhy tahových sil dle výše uvedeného literárního odkazu však neodpovídají výsledkům dle řady dalších autorů, viz například obr. 2 dle /4/, který uvádí průběh tahových sil v závislosti na průměru cívky při malých odvíjecích rychlostech.



Obr. 2

Autor ISAKOV /5/ sleduje síly v niti vzniklé při rotaci balonu vyvolané vzdušným prostředím a uvádí vztah pro tahovou sílu v niti ve vrcholu balonu

$$F = F_p + \frac{T\omega^2}{2} \cdot R_c^2 \quad (3)$$

kde F - tahová síla v niti ve vrcholu balonu [N]

F_p - tahová síla v niti v bodě odvinu [N]

ω - úhlová rychlosť odvinu [s^{-1}]

R_c - poloměr cívky v bodě odvinu [m]

T - jemnost nitě [tex]

Z dosažených výsledků autor vyvozuje, že odpor vzdušného prostředí nemá podstatný vliv na tahovou sílu v niti při jejím odvinu.

Dále ISAKOV /5/ teoreticky zkoumá vliv odporu vzduchu na hodnotu tahové síly v niti při jejím odvíjení. Při podélném pohybu nitě působí vzdušné prostředí na nit silami tření.

Síly vzniklé v niti od tohoto tření vyjádřil podle vztahu

$$F = \mu \cdot m \cdot q \cdot v^2 \quad (4)$$

kde F - tahová síla v niti vzniklá třením v prostředí [N]

μ - koeficient tření [1]

m - hmotnost elementu nitě [kg]

v - rychlosť nitě (vzduchu) [$m \cdot s^{-1}$]

q - plocha povrchu nitě [m^2]

Výpočet provedl autor pro bavlněnou přízi 50tex pro rychlosť $v = 10 \text{ m} \cdot \text{s}^{-1}$ a koeficient tření nit-vzduch $\mu = 0,0002$. Vypočetl tak $F = 0,00127 \text{ mN}$.

Tento vzorec však rozměrově nevyhovuje a výsledky nejsou v souladu s výsledky dalších vztahů, které autor uvádí /5/.

Řada autorů jako např. BYKADOROV, PLUŽNIK, IVANOV /6/ uplatňují při výzkumu tahových sil v niti při odvinu metodu matematického plánování experimentu. Zkoumali vliv rychlosti odvinu, průměru cívky, tloušťky příze, vzdálenosti vodícího očka od cívky, specifické hmotnosti návinu, úhlu křížení ovinů a směru odvíjení ovinů s cívky.

Dospěli k závěru, že největší vliv na hodnotu tahových sil v niti při odvinu ve vrcholu balonu májí rychlosť odvinu, tloušťka příze, vzdálenost vodícího očka a průměr cívky.

2.111 Zhodnocení problematiky statí 2.11

Literární odkazy k této problematice tvoří rozsáhlý materiál, sledující objasnění průběhu tahových sil v niti při jejím odvinu, přičinu vzniku kolísání těchto tahových sil a vlivu geometrických a strukturálních parametrů návinu a podmínek při odvíjení.

Velký význam pro další studium i výzkumy by mělo sjednocení symbolů a označení základních veličin, se kterými se v této problematice pracuje.

V podstatě literatura uvádí zákonitosti tahových sil v niti na různých faktorech působících při jejím odvíjení. Řada autorů serazuje tyto uvedené faktory dle důležitosti a tím určuje význam jejich ovlivňování a zhodnocování v praxi.

2.12 Vliv některých technických a technologických parametrů na tahové síly v niti v průběhu vedení a zpracování nitě včetně vlivu podávání nitě

Nit prochází na pletacím stroji od cívky k očkovým mechanizmům soustavou vodicích, hladacích, napijacích a podávacích prvků. Na této dráze dochází ke zvýšení tahové síly v niti na hodnotu řádově desítek mN. K maximálnímu zvýšení této síly dochází pak v oblasti očkových mechanizmů, kde může v některých případech dosáhnout hodnot přes 1000 mN a přiblížit se, nebo překročit pevnost nitě.

Růst tahových sil v niti v oblasti vedení a zapléštání nitě je vyvolán zejména třením nitě o pletací elementy, třením nitě o nit a v malé míře také odporem nitě vůči ohybu.

Pro přibližný výpočet tahové síly v niti v určitém místě při jejím ohybu přes třecí element lze použít Eulerova vztahu

$$F = F_0 \cdot e^{\alpha \varphi} \quad (5)$$

kde F - výsledná tahová síla v niti za třecím elementem [N]

F_0 - vstupní tahová síla v niti [N]

α - úhel opásání [rad]

φ - koeficient tření [1]

nebo vztahu pro vedení nitě talířovou brzdičkou

$$F = F_0 + 2 N \varphi \quad (6)$$

kde F - výsledná tahová síla v niti za talířovou brzdičkou [N]

F_0 - vstupní tahová síla v niti [N]
 N - přítlačná síla mezi talířky [N]
 μ - koeficient trení [1]

Celou problematiku tahových sil však nelze vystihnout těmito jednoduchými vztahy. Na změny tahových sil v niti působí během procesu pletení celá řada faktorů, které jsou příčinou jednak stálého růstu hodnoty tahových sil a jednak pravidelných nebo nepravidelných výkyvů tahové síly.

Autoři zabývající se touto oblastí se zaměřují na řešení dvou základních problémů:

- průběh tahových sil v niti během procesu pletení v závislosti na proměnných faktorech jako např. vstupní tahové síly, hloubky zatahování, síly odtahu, rychlosti stroje, rozměrů jehel a pod.
- způsoby a metody zjišťování (resp. měření) tahových sil v niti v určitých místech na stroji.

Kada autorů se pokusila upřesnit a doplnit základní Eulerův vztah o další ovlivňující veličiny.

ISAKOV /5/ navrhl úpravu Eulerovy rovnice pro výpočet tahových sil v niti. Jeho vztah zahrnuje vliv rychlosti pohybu nitě

$$F = F_0 \cdot e^{\alpha \omega} + T \cdot v^2 (e^{\alpha \omega} - 1) \quad (7)$$

kde F - výsledná tahová síla v niti [N]
 F_0 - vstupní tahová síla v niti [N]
 T - jemnost nitě [tex]
 v - rychlosť nitě [$m \cdot s^{-1}$]
 α - koeficient trení [1]
 ω - úhel opásání [rad]

GARBARUK /7/ zkoumá vliv rychlosti klouzání nitě

po vodičím prvku na tahové síly v niti. Analyzou dochází k názoru, že při pohybu ohnuté nitě přes vodič působí na tuto také odstředivá síla, která působí v opačném směru než síla prítlačná. Pro výpočet tahové síly odvodil rovnici

$$F = F_0 \cdot e^{\alpha \mu} - \frac{v^2}{N \cdot g} \cdot (e^{\alpha \mu} - 1) \quad (8)$$

kde F - výsledná tahová síla v niti [N]

F_0 - vstupní tahová síla v niti [N]

v - rychlosť nitě [$m \cdot s^{-1}$]

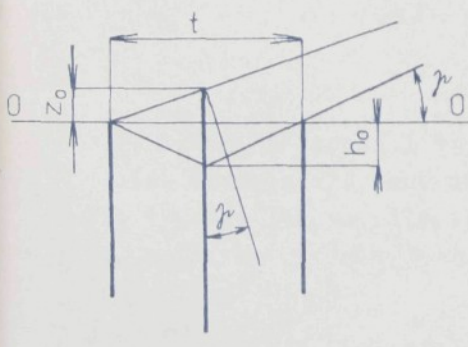
g - tíhové zrychlení [$m \cdot s^{-2}$]

N - číslo metrické [$10^3 \cdot m \cdot kg^{-1}$]

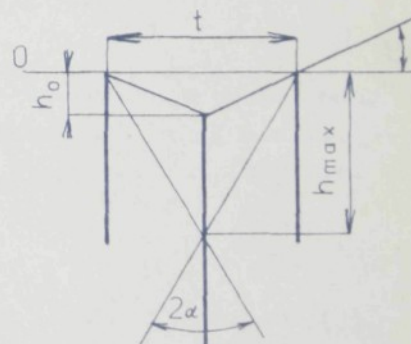
μ - koeficient tření [1]

α - úhel opásání [rad]

Tentýž autor /8/ sleduje tahové síly, vznikající v niti při jejím podélném pohybu, v závislosti na hloubce zatahování jehly. Při svých výpočtech vychází z grafického znázornění procesu zatahování, rozděleného na dvě etapy (obr. 3 a, b) a grafického znázornění přírůstku délky nitě v očku při zatahování (obr. 4).



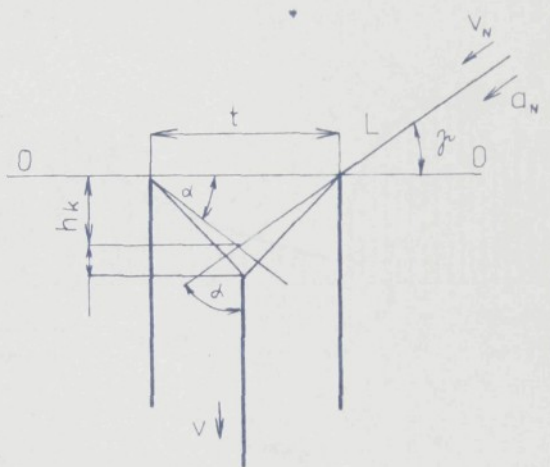
Obr. 3a



Obr. 3b

- kde v_n - rychlosť nitě [$\text{m}\cdot\text{s}^{-1}$]
 t - rozteč jehel [m]
 L - dĺžka elementu nitě [m]
 v - rychlosť jehly [$\text{m}\cdot\text{s}^{-1}$]
 z_0 - vysunutí jehly pri kladení [m]
 $h_{0,k}$ - hloubka zatahovania [m]
 α - úhel opásania háčku jehly nití [°]
 λ - úhel kladenia [°]
 a_n - zrychlenie nitě [$\text{m}\cdot\text{s}^{-2}$]

platí pre obrázky 3a, b a obr. 4.



Obr. 4

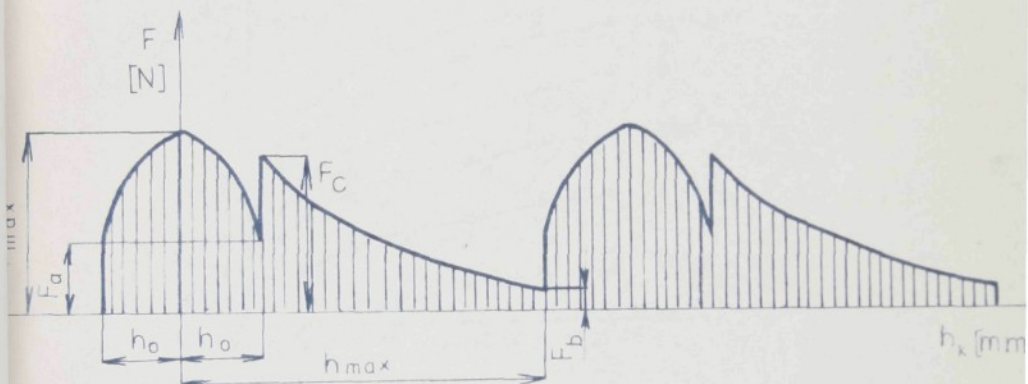
Autor /8/ vychádza z prípadu, kdy zatahuje pouze jedna jehla. Sleduje vzájemné pôsobenie klesajúcej jehly a nitě. Pro výpočet tahovej sily v niti navrhnuje nasledujúci vzťah pre podmínku $-z_0 \leq h_k \leq h_0$.

$$F = \frac{2 \cdot L \cdot T \cdot v^2 \cdot \cos^2 \alpha}{t} \quad (9)$$

kde F - výsledná tahová síla v niti [N]

T - jemnost nitě [tex]
 L - délka elementu nitě [m]
 v - rychlosť jehly [$m \cdot s^{-1}$]
 t - rozteč jehel [m]

Z grafu na obr. 5 je patrno, které případy mohou nastat. Pro případ F_a bude platit $\alpha = \frac{1}{2} \pi$, pro F_b platí $\alpha = \alpha_{\max}$ ($h = h_{\max}$). Pro F_c pak platí $F_c = 2 F_a$



Obr. 5

Z grafu je zřejmé, že v průběhu jednoho cyklu tvorby očka dosahuje tato tahová síla v niti maximální hodnotu ve dvou případech.

KORLENSKI /9/ sleduje vliv počáteční tahové síly v niti na délku nitě v očku. Konstatuje ve své práci, že se vzrůstající vstupní tahovou silou v niti F , roste relativní přírůstek délky nitě v očku w , dány vztahem

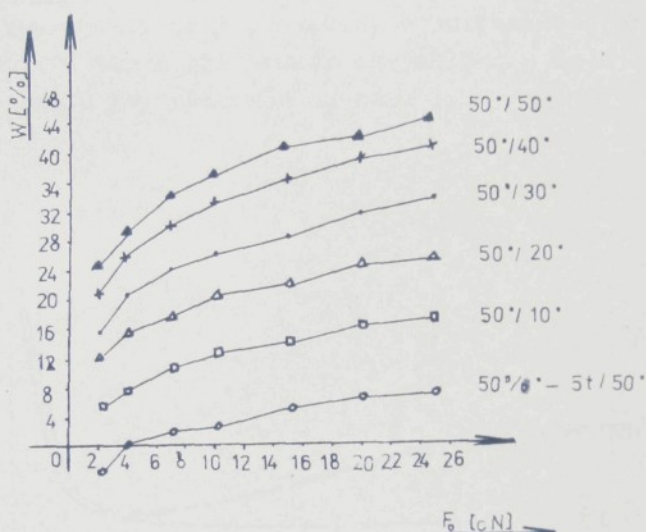
$$w = \frac{l_t - l_i}{l_t} \cdot 100 \quad (10)$$

kde w - relativní přírůstek délky nitě v očku [%]

l_t - teoretická délka nitě v očku [mm]

l_s - skutečná délka nitě v očku [mm]

Na obr. 6 je uveden graf této závislosti pro různé hodnoty úhlů zatahování α a úhlů dodatečného zatahování β . Autor konstatuje, že s rostoucí tahovou silou a úhlem zatahování se délka nitě v očku zmenšuje.



Obr. 6

RAGOZA, ŠERMAN /10/ experimentálně ověřovali vhodnost vztahu pro výpočet tahové síly v niti při jejím průchodu přes pletací jehlu. Navrhli upřesněný vztah

$$F = F_0 \cdot e^{\alpha \cdot \mu} + T_1 (e^{\alpha \cdot \mu} - m) + T_2 \quad (11)$$

kde F - výsledná tahová síla v niti [N]

F_0 - počáteční tahová síla v niti [N]

T_1 - tahová síla v niti vznikající při ohybu [N]

T_2 - tahová síla v niti vznikající při narovnání
níté [N]

μ - koeficient tření [1]

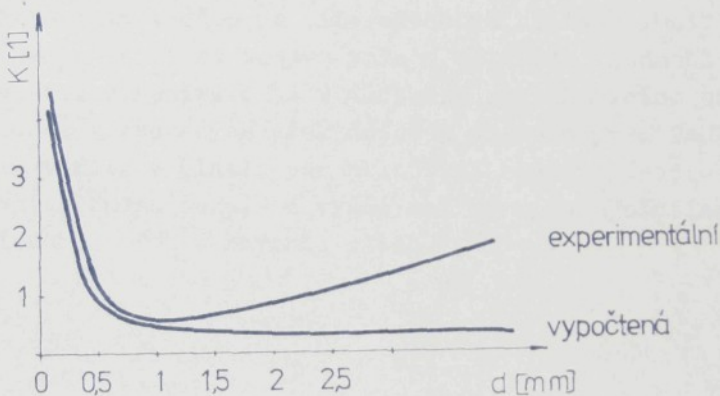
α - úhel opásání [rad]

m - pružná složka síly při ohybu, $0 < m < 1$ [1]

Dále zkoumali vliv průměru jehly na hodnotu poměru

$$K = \frac{F}{F_0}$$

Experimenty byly provedeny u polyamidové příze
jemnosti 29 tex a při průměrech jehly $d = 0,18 - 3$ mm.
Průběh grafů je znázorněn na obr. 7.



Obr. 7

GARBARUK, BACHMATOV /11/ zkoumali vliv síly odtahu
na tahovou sílu v niti při zatahování. Z rozboru problému
odvodili vztah pro výpočet tahové síly, která je vyvolána
pohybem zatahovaného úseku nitě přes odhozené očko a do
datkové tahové síly, která je vyvolána působením síly
odtahu. Vztah je odvozen pro jednu stěnu zatahované
kličky

$$F = F_0 \cdot e^{\alpha \omega} + \frac{F_1}{4\alpha} (e^{\alpha \omega} + 1) \quad (12)$$

kde F - výsledná tahová síla v niti [N]

F_0 - počáteční tahová síla v niti [N]

F_1 - síla odtahu na jedno očko [N]

μ - koeficient tření [1]

α - úhel opásání stěny kličky o očko [rad]

Pro dodatkovou sílu byl navržen vztah

$$F_{\text{dod}} = F - F_0 \quad (13)$$

CITOVIČ, BOLŠAKOVA, STROGANOV /2/ zkoumali závislost tahové síly v očku na síle odtahu a hladkosti nitě. Vyšli z předpokladu, že tahová síla v niti mezi jednotlivými očky řádku není stejná v důsledku probíhajícího přesunu příze z vytvořených oček do oček vytvářených. Tahová síla v niti v platinovém obloučku, nacházejícím se blíže k vytvářenému očku, je vyšší než ve druhém platinovém obloučku $F_1 > F_2$. Navrhli vztah

$$F_1 = \frac{e^{(\frac{3}{2}\pi - \alpha)\mu}}{\cos \alpha (1 - e^{\pi \mu})} \cdot F_3 \quad (14)$$

kde F_1 - tahová síla v platinovém obloučku [N]

F_3 - síla odtahu na jedno očko [N]

μ - koeficient tření [1]

α - úhel sklonu očka [rad]

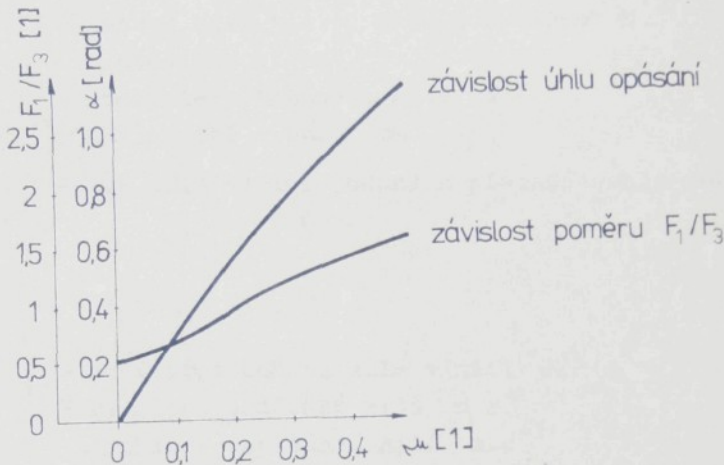
Pro výpočet úhlu jako funkce koeficientu tření byla odvozena rovnice

$$\alpha = \frac{-1 + \sqrt{1 + 4\mu f(\mu)}}{2\mu} \quad (15)$$

kde za $f(\mu)$ je dosazen vztah

$$f(\omega) = \frac{e^{2\pi i \omega} - 1}{(e^{\pi i \omega} + 1) \cdot e^{\frac{\pi}{2} i \omega}} \quad (16)$$

Výsledky jsou znázorněny v grafu na obr. 8.



Obr. 8

KNAPTON /12/, /13/ sledoval tahové síly v niti během procesu zatahování při změnách některých fyzikálních parametrů (jako jsou např. zákruty, pevnost, chemická modifikace povrchu vláken apod.). Dále sledoval vliv koeficientu tření na změny těchto tahových sil.

Na základě experimentálních výsledků konstatoval, že pokud je koeficient tření nízký ($u < 0,2$), nevznikají potíže při pletení.

Autor provedl také matematickou analýzu tahových sil v niti během procesu zatahování /12/.

CITOVIČ /14/ sledoval zvláštnosti seřízení pletacích strojů, vybavených podávacím zařízením. Na základě experimentu stanovil vztah mezi rychlosí podávání nitě, rych-

lostí stroje a délkou nitě v očku ve tvaru

$$v_p = \frac{l}{t} (1 - \beta F_0) v_s \quad (17)$$

kde v_p - rychlosť podávania nitě [$m \cdot s^{-1}$]

v_s - rychlosť stroja [$m \cdot s^{-1}$]

F_0 - tahová síla v niti pred podavačom [N]

t - rozteč jehel [mm]

β - koeficient tažnosti nitě [N^{-1}]

l - délka nitě v očku [mm]

Tahovou sílu v niti podané k pletací jehle definoval vzťahem

$$F = f(F_0, v_p, v_n) \quad (18)$$

kde F_0 - počáteční tahová síla v niti [N]

v_p - rychlosť podávané nitě [$m \cdot s^{-1}$]

v_n - rychlosť zaplétané nitě [$m \cdot s^{-1}$]

Pri použití Eulerova vzťahu (4) pak navrhl tentýž autor vzťah

$$F = \frac{v_n}{v_p \cdot e^{\alpha \cdot \mu}} \cdot F_0 + \frac{1}{\beta \cdot e^{\alpha \cdot \mu}} \left(\frac{v_n}{v_p} - 1 \right) \quad (19)$$

Na základe řešení predcházejúcich vzťahov stanovil nomogram (obr. 9) závislosť rychlosť podávania nitě na délce nitě v očku pro velkoprůměrový pletací stroj,

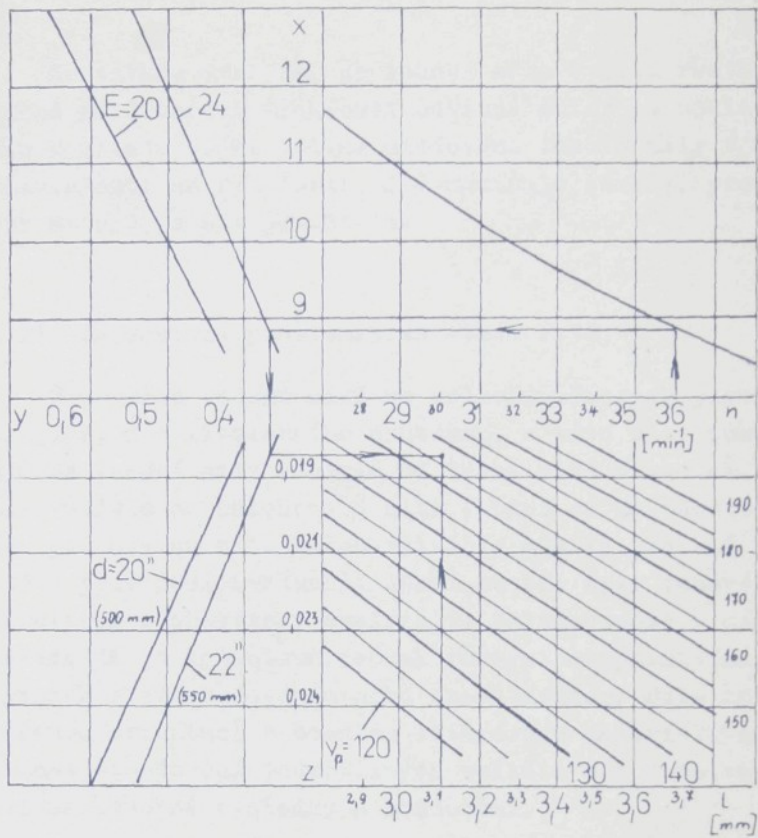
kde n - počet otáčok stroje [min^{-1}]

d - průměr jehelního lúžka [mm]

E - jemnost stroje [$(25,4 \text{ mm})^{-1}$]

l - délka nitě v očku [mm]

Poznámka: nomogram je uvádzén podľa literárneho zdroje v pôvodnom tvaru, tedy s jednotkami, ktoré neodpovedají soustavě SI.



Obr. 9

Na obr. 9 je uvedeno řešení pro hodnoty $n = 36 \text{ ot}.\text{min}^{-1}$, $d = 550\text{mm}$, $E = 24$ jehel na $25,4 \text{ mm}$, $l = 3,1 \text{ mm}$. Výsledná rychlosť podávania $v_p = 168 \text{ m}.\text{min}^{-1}$.

LATZKE /15/ uvádí souvislosti tahových sil v niti s rychlosťí odvinu nitě s cívkového tělesa. Z těchto výzkumů vyvodil, že existuje následující proporcionalita

$$F \sim T \cdot v^2 \quad (20)$$

kde F - tahová síla v niti při odvinu nitě [N]

T - jemnost nitě [tex]

v - rychlosť odvinu nitě [$\text{m}.\text{s}^{-1}$]

Ze vztahu vyplývá, že tahová síla v niti roste přibližně se čtvercem rychlosti odvinu. Autor na základě toho konstatuje, že jediné sledování tahové síly v niti v závislosti na rychlosti nítě umožňuje závěry, pro které typy strojů je nít použitelná.

2.121 Zhodnocení problematiky statí 2.12

V průběhu vedení nitě na velkoprůměrových pletacích strojích, dle literárního průzkumu, v této niti působí zejména tahové síly vzniklé od tření nitě o vodicí element, síly vzniklé od balonování nitě (pokud se na těchto strojích při odvinu nitě balon vytváří) a síly vzniklé třením nitě v prostředí (vzduch). Různí autoři tyto tahové síly teoreticky i prakticky analyzují. Nejednotnost v získaných výsledcích je způsobena jednak různými vstupními faktory a jejich zjednodušováním nebo zanedbáváním. Dále způsobuje ztíženou orientaci v bohatém literárním materiálu nejednotnost označování jednotlivých veličin a z toho vyplývající nejednotné výsledky a hodnocení.

V průběhu zpracování nitě, čímž je v podstatě myšleno její zaplétání a vlivy při tomto procesu na velkoprůměrových pletacích strojích, působí zejména na tahové síly v niti síly, vznikající od pohybu jehel, síly od odtahu pleteniny a síly vznikající třením nitě o nit a o další elementy stroje.

I zde se v širokém rozsahu literární materiály touto problematikou zabývají a závěry z predešlého odstavce jsou platné i pro tento úsek.

Oblast podávání nitě, zejména pokud se týká podávacích rychlostí a jejich vlivu na tahové síly v niti eventuelně v pletenině, je jedna z nejdůležitějsích oblastí, ovlivňujících zásadně tvorbu pleteniny. Následující stát 2.2 tuto problematiku bude rozebírat podrobněji.

2.2 PODÁVÁNÍ NITÍ NA VELKOPRŮMĚROVÝCH PLETACÍCH STROJÍCH

Velkoprůměrové pletací stroje patří mezi nejprodiktivnější pletarské stroje. Stále se zvyšující rychlosti těchto strojů mají zásadní vliv na kvalitu hotového úpletu. Celý pletařský proces proto kladě nároky na zdokonalování činnosti jednotlivých pracovních ústrojí pletařského stroje.

Podstatný vliv na bezchybné a plynulé zpracovávání nití má její podávání, hlídání a regulace nitě při odvíjení s cívky a při jejím přivádění k očkovacím orgánům.

Význam použití podavačů nití na okrouhlých pletacích strojích spočívá v tom, že jsou schopny do určité míry řídit průběh tahových sil v podávané niti nebo protažení nitě v procesu pletení. Z analýzy hlavní funkce podavačů nitě vyplývají jejich následující dílčí funkce:

- odvíjení nitě s předkládané křížové cívky a její dodávka pletacím mechanizmům
- eliminace výkyvů tahových sil v niti včetně rázů, vznikajících v oblasti odvinu s cívky a vedení nitě
- vytváření určité vhodné hodnoty tahové síly nebo protažení nitě před jejím vstupem do pletacích mechanizmů
- vyloučení volného odběru nitě pletacími mechanizmy
- eliminace výkyvů tahových sil v niti, vyplývajících z nerovnoměrné rychlosti spotřeby.

Z uvedeného vyplývá, že funkce podávacího zařízení mají zásadní vliv nejen na stejnoměrnost pleteniny (a tedy i kvalitu), ale i na plynulost celého procesu, neboť některé negativní jevy vyvolané změnou tahových sil v niti způsobují zastavení stroje, přetrhy a pod.

Z přehledu současných vyráběných velkoprůměrových pletacích strojů u nás i v zahraničí vyplývá, že přibližně 20 - 30 % těchto strojů nemá podavače. V praxi je však tento podíl daleko vyšší.

Obecný rozbor podavačů např. dle /16/ uvádí toto:

Podavače jsou aktivně pracující mechanizmy, které podávají nit buď pozitivním způsobem, nebo negativně, tedy s ohledem na tahovou sílu v zapletané niti.

a) Pozitivní podavače podávají konstantní délku nitě, vztaženo na pracovní pohyb pletářského stroje, t.j. na jeho otáčky a pod. U zátažných strojů tedy teoreticky každé zatahované očko dostává konstantní délku nitě pro svou tvorbu, i když tato skutečnost může být ovlivněna pružností nitě v úseku mezi podavačem a místem zatahování oček.

b) Negativní podavače podávají v ideálním případě nit pod konstantní tahovou silou, a to bez ohledu na odebírané množství respektive délku nitě, která může kolísat od nuly do maximální hodnoty.

Velký podíl podavačů ovšem nepracuje ani ideálně negativním ani pozitivním způsobem.

Odborná literatura, zabývající se problematikou podávání a podavačů, uvádí buď přehledy existujících typů podávacích zařízení, popřípadě zjednodušené popisy jejich konstrukce a funkce. Některé literární zdroje uvádí také výsledky měření tahových sil, na jejichž základě provádí srovnání jednotlivých typů podavačů.

Tato stař je dále členěna na dvě části:

2.21 Přehled nejběžnějších typů podavačů používaných v současnosti

2.22 Vliv podavačů na strukturu pletaniny; účinnost jednotlivých typů podavačů.

2.21 Přehled nejběžnějších typů podavačů používaných v současnosti

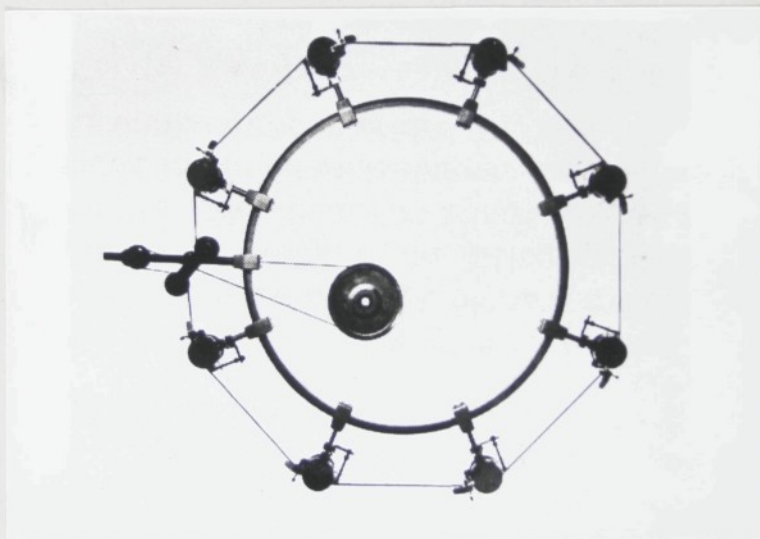
Na velkoprůměrových pletacích strojích v současné době pracují nejčastěji pozitivní páskové podavače, nebo

celá řada typů zásobníkových podavačů s negativní funkcí.

2.211 Páskový podavač

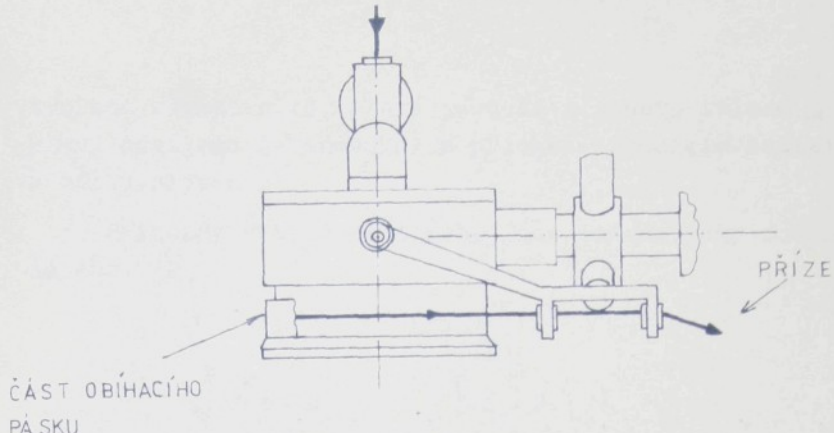
Jak uvádí autor /17/ je páskový podavač nejběžnější pozitivní podavač pro velkoprůměrový pletací stroj. Tento podavač dodává vzhledem k otáčkám stroje neměnnou délku nitě. Nelze jej tedy použít u žakárově vzorovaných pletenin, při jejichž pletení velikost odběru nitě kolísá.

Na obr. 10 je celkový pohled na páskový podavač švédské firmy IRO pro osmisystémový pletací stroj.



Obr. 10

Před každým pletacím systémem probíhá nit mezi kladkou a páskem, který je centrálně poháněn. Množství dodávané nitě lze regulovat. Na obr. 11 je schematicky znázorněn průběh nitě mezi kladkou a hnaným páskem.



Obr. 11

2.212 Zásobníkové podavače

Zásobníkové podavače jsou zařízení s převážně negativní funkcí, to znamená, že dodávají nit ^spribližně konstantní tahovou silou s možností změny podávaného množství nitě. Tyto podavače jsou umístěny těsně před pletacími orgány. Rozdíly v tahových silách v niti, které vznikají při odvinu nitě, jsou vyrovnávány v navíjecí části zásobníkového podavače. Tím se dosáhne zlepšení vzhledu pleteniny a zároveň se sníží možnost vzniku chyb při pletení.

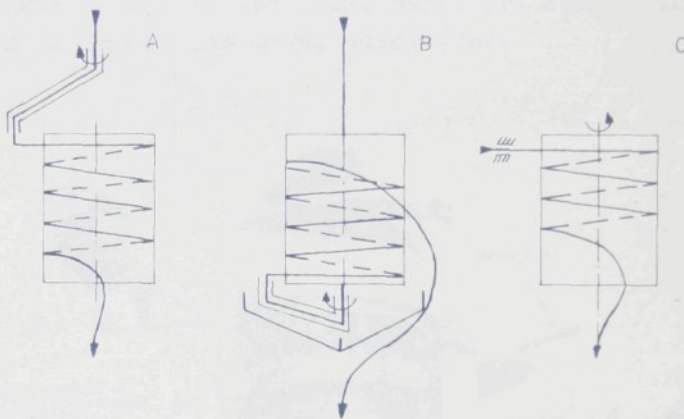
Zásobníkové podavače vyrábí celá řada firem (Švédsko - IRO; NSR - Memminger, Frei; Velká Britanie - Lawson atd.) ve velkém počtu typových obměn. V podstatě se tyto zásobníkové podavače liší v následujícím:

- způsobem vytváření zásoby nitě
- způsobem posuvu zásoby nitě, která je z jedné strany odebírána a z druhé doplnována
- pohonem
- řešením problému navádění nitě do podavače.

Zásobníkové podavače pracují na následujícím principu: Určité množství nitě je odvinuto s cívky a navinuto na obvykle válcové (popř. kuželové) navíjecí těleso. Tím je vy-

tvořena zásoba nitě, která je dále s tohoto tělesa přes hlavu odvíjena (stahována) a přichází brzdícím zařízením k místu pletení.

Principy vytváření zásoby jsou schematicky znázorněny na obr. 12.



Obr. 12

A - nit je navíjena pomocí otočného ramene, oviny nitě se posunují odshora dolů a jsou odtahovány dolů přes hlavu (Lawson)

B - nit je vedena dutým hřídelem zásobníkového podavače a navíjena pomocí otáčecího se ramene. Jednotlivé oviny nitě jsou speciálním zařízením posouvány nahoru, vrchní oviny jsou odtahovány přes hlavu směrem dolů (Frei, Memminger ...)

C - nit nabíhá tangenciálně na navíjecí těleso, je vedena směrem dolů a přes hlavu odvíjena k místu pletení (IRO)

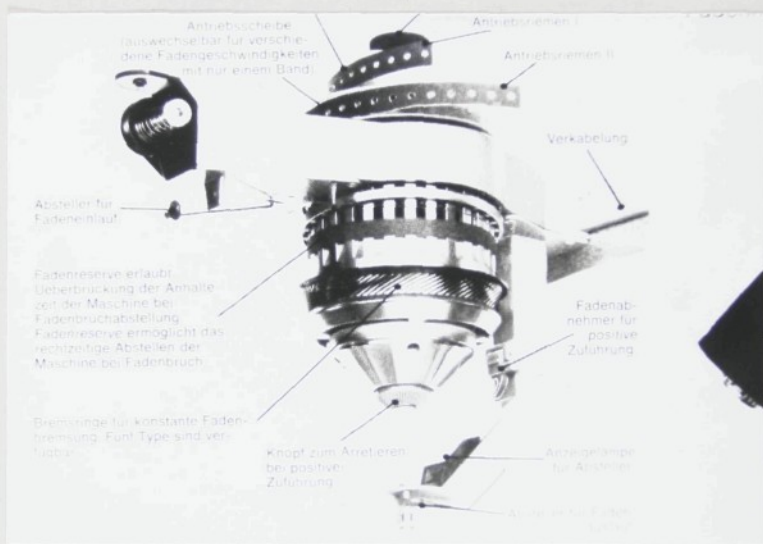
Poslední průzkumy ukazují, že v současné době pracují nejspolehlivěji zásobníkové podavače švédské firmy IRO a západoněmecké firmy Memminger v různých provedeních.

Nejspolehlivěji pracují pravděpodobně tyto podavače:

- firma IRO - typ SFC, typ IPE
- firma Memminger - typ SPF - JAC, typ MPF

Podavače IRO - typ SPC

Tento typ podavače, obr. 13, lze použít jako pozitivní nebo negativní zařízení, např. při záměně hladkého pletení na žakár, jak uvádí odkaz /18/.



Obr. 13

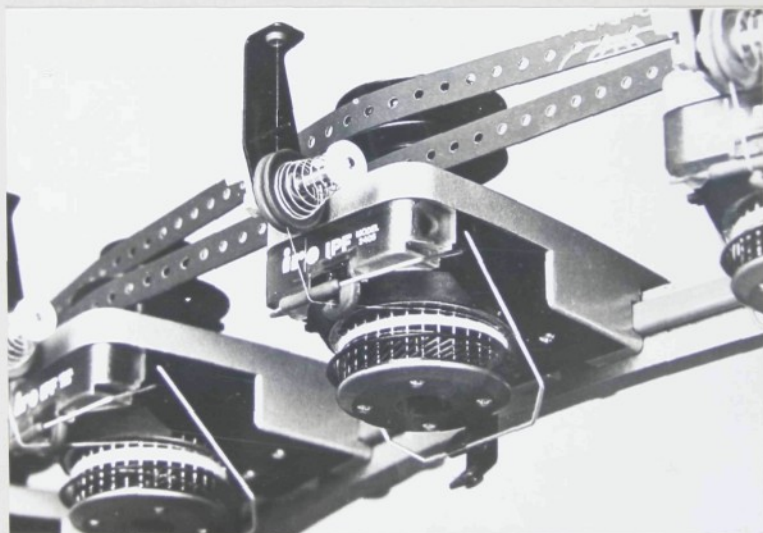
Rychlosť niti při tvoření zásoby je asi $3,9 \text{ m.s}^{-1}$. Navíjení nitě je kontrolováno vykyvným kotoučem. Velikost zásoby navinuté nitě závisí na tlaku pružiny, která na vykyvný kotouč působí.

Podavač SFC se dodává ve dvou modelech 1506 a 1606. Oba jsou vybaveny zarážkou reagující na rázy v tahové síle v niti a přetrhovou zarážkou nebo zarážkou stroje při dojítí nitě.

Podavač SFC je poháněn řemenicí se stavitevným průměrem. Je dále opatřen spojkou, která umožňuje přímý náhon od hnací řemenice k bubnu podavače. Zásobní nit je navíjena na podávací buben. Po vyklopení výkyvného kotoučku směrem nahoru dojde k vypnutí pohonu. Podávací buben se přestane otáčet a tento stav trvá, dokud se nespotřebuje nastavená zásoba nitě.

Podavač IRO - typ IPP

U typu IPP na obr. 14 jsou použity stejné mechanizmy jako u předcházejícího typu. Zásobníkovým podavačem je nit dodávána konstantní rychlosť.



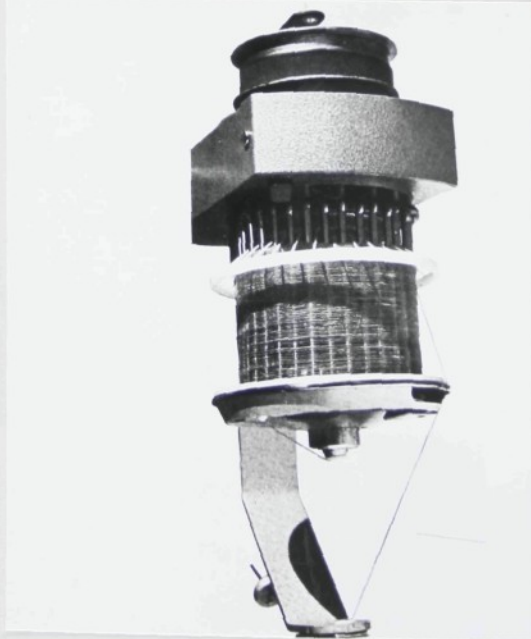
Obr. 14

Nit je k podavači přiváděna přes pružné napínaci zařízení a vstupní snímač a je ukládána prostřednictvím podávacího očka. Odcházející nit je vedena snímacím očkem a dochází přes spodní zarážku k vodiči.

Jak uvádí odkaz /19/, firma IRO v r. 1976 oznámila, že všechny další dodávky modelu IPF budou ve zdokonalené verzi s tangenciálním odvinem místo axiálního, aby se snížilo tření, a s výstupní zarážkou, která umožňuje snížení tahových sil až na 1,5 cN a méně pro velmi jemné nitě na strojích velmi jemného dělení. Na obr. 14 je ukázka typu IPF model 2405.

Podavač firmy Memminger - typ SPF

Jak uvádí /17/, zásobníkové podavače SPF jsou poháněny centrálním pásovým náhonem nebo mechanicky od pletacího stroje. Typ SPF - JAC (obr. 15) je použitelný pro všechny druhy přízí mimo elasticke materiály. Pro tyto příze se používá typ SPF - ELAST, který je totožný s typem SPF-JAC, doplněným pouze o přídavný kroužek.

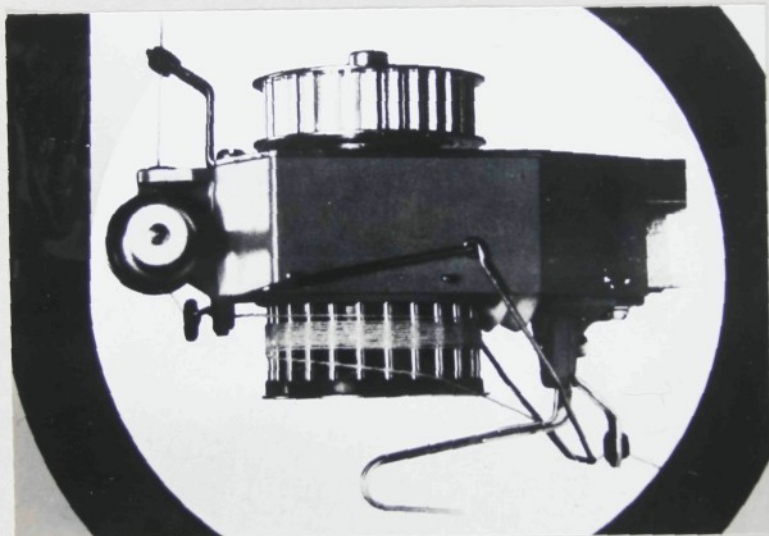


Obr. 15

Nit je do přístroje přiváděna shora a spodem je axiálně navíjena na stojící navíjecí těleso. Podle tvaru a pohybu drátů, které tvoří navíjecí těleso, jsou jednotlivé

vrstvy niti posunovány směrem nahoru. Horní vrstva niti, která je kontrolovaná kroužkem, je prakticky bez tahové síly odtahována. Tahové síly v niti potřebné pro pletení se získají prostřednictvím seřizovatelných niťových brzdíček. Po spotřebování minimální zásoby nitě na navíjecím tělese, obnoví se automatické navíjení. Je-li spotřebován návin cívky, zásobníkový podavač odstaví pletací stroj, přičemž v každém případě zůstává na navíjecím tělese dostatečná zásoba niti.

Firma Memminger dodává také další typ podavače Memminger MPF uvedený na obr. 16.



Obr. 16

2.213 Ostatní typy podavačů

Podavače s měnitelnou rychlostí pro okrouhlé pletací stroje

Tento podavač vyvinula firma Morris Philip, USA. Zařízení pracuje na odlišném principu než páskový nebo zásobníkový podavač, jak uvádí /20/.

Každý podavač má kladičku, která je naháněna páskem. Pod touto kladičkou jsou 2 - 3 soustavy podávacích kotoučů, u kterých lze pomocí matice regulovat vzdálenost mezi kotouči a tím i množství podávané nité.

Při změně vazby je nastavení podavačů poměrně jednoduché, stačí změnit rozsah podávání dle stupnice uvedené na matici.

Tento typ podavače má některé výhody proti dosavadním způsobům, jako např.:

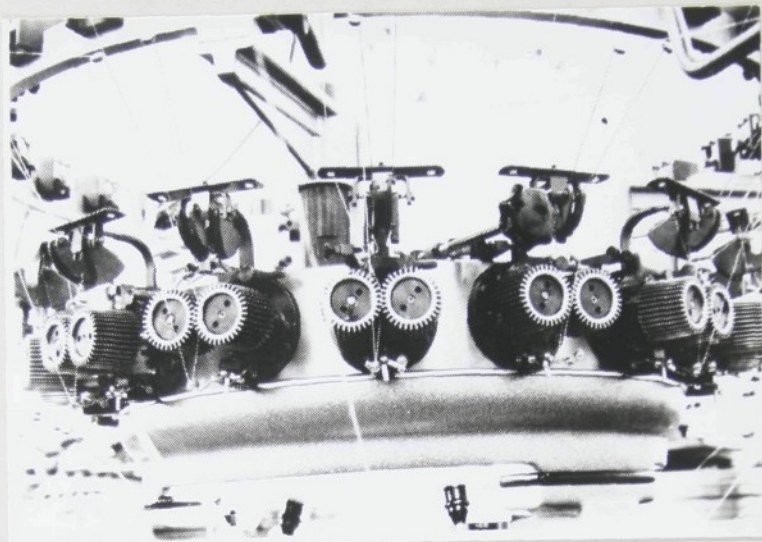
- každý podavač je úplně nezávislý a není spojen s ostatními na stroji. Takže poškození jednoho podavače je omezeno jen na něj a neovlivní další
- číslovaná stupnice pod každou soustavou kotoučů může změnit množství podávané nitě až $2\frac{1}{2} \times$ od nejnižšího k nejvyššímu číslu
- jedinou funkcí kladičky u podavače je řídit rychlosť zařízení.

Krátký přehled podavačů, uvedený v předcházející statci, není samozřejmě vyčerpávající. Jsou uvedeny nejnovější typy podavačů, dnes běžně používané nejen v zahraničí, ale i u nás (IRO, Memminger ...). Na doplnění je nutno uvést ještě například podávací zařízení s ozubenými kuželíky, které se v současnosti na VPS velmi často používá (obr. 17).

2.22 Vliv podavačů na strukturu pleteniny; účinnost jednotlivých typů podavačů

Výzkum problematiky podávání nití směruje zejména do konstrukční oblasti. Prestože řada podavačů pracuje v určitých podmínkách spolehlivě, hledají se stále nové konstrukční varianty, které by zabezpečily optimální podávání nití.

Řada autorů se také zabývá sledováním vlivu těchto podavačů na zpracování nití a měřením tahových sil v souvislosti s porovnáváním účinnosti jednotlivých typů podavačů.



Obr. 17

GARBARUK, OKS /21/ sledovali vliv změn tahové síly v niti na délku nitě v očku.

Zpracování výsledků ukázalo, že při hloubce zatahování 1,2 mm a při pasivním podávání nitě je průměrná tahová síla $F = 5,12 \text{ cN}$. Průměrná délka nitě v očku $l = 4,3 \text{ mm}$.

Při aktivním podávání nitě vzniká průměrná tahová síla v niti $F = 2,07 \text{ cN}$, délka nitě v očku se sice stabilizuje a má hodnotu $l = 4,3 \text{ mm}$.

Autori na základě výsledků konstatují, že při aktivním podávání se sníží kolísání tahových sil a tím se zabezpečí stejnoměrnost struktury pleteniny.

Byla stanovena empirická závislost délky nitě v očku na tahové síle podávané nitě

$$l = -0,049F + 5,125 \quad (21)$$

kde l - délka nitě v očku [mm]

F - tahová síla v podávané niti [cN]

Vztah (21) platí pro bavlněný materiál jemnosti 18,5 t při hloubce zatahování 1,8 mm.

KLEMENT /22/ uvádí ve svém článku výsledky měření vlivu podavačů na tahové síly v niti u vlněných přízí.

Srovnává kuželové zubové, prokluzové a páskové podavače z hlediska změn tahových sil před a za podavačem a z hlediska vlivu tahových sil na spotřebu nitě na očko. Vliv podavačů kvalitu úpletu byl sledován z hlediska počtu přetrhů na kg úpletu.

STEIN, GRABAND /23/ sledovali průběh tahových sil v niti za různých podmínek. Prováděli hodnocení dvou typů zásobníkových podavačů IRO a SAVI .

V tabulce na obr. 18 jsou uvedeny výsledky měření u použitého materiálu: vlna jemnost 28,6 tex, obvodová rychlosť podavačů $3,3 \text{ m.s}^{-1}$.

Podávání	Průměr. hodnota rázu [mN]	Průměrná tahová síla [mN]
bez podavače	263	30
s brzdičkou	191	30
bez brzdičky	164	9
IRO	132	14
SAVI	187	36

Obr. 18

Z celkových výsledků vyplývá, že zásobníkové podavače rázy úplně neodstraňují, ale podstatně snižují jejich hodnotu. Lepší výsledky ukazuje podavač IRO.

HRBÁČEK, NEUMANN /24/ provedli srovnání funkce tří podavačů: Memminger MPF 20-C, "Z"-DTH-7646 (ZBROJOVKA Vsetín) a podavač VŠST Liberec, se zaměřením na průběh tahových sil

v niti různých materiálů. Výzkum sledoval dva směry:

- měření propustnosti rázů, vyvolaných uměle simulátorem rázu
- měření tahových sil na podavači při použití různých materiálů.

V tabulce na obr. 19 jsou uvedeny hodnoty tahových sil za jednotlivými podavači, kdy jsou před ním uměle vytvářeny rázy. Materiál: PAD 110 dtex

Podavač	F _{str} [mN]	F _{max} [mN]	F _{min} [mN]	Pořadí
"Z"-DTH 7646	9,8	22,1	12,3	1
Memminger 20-C MDF	21,6	34,3	12,8	3
VŠST Liberec	11,3	27	15,7	2

Obr. 19

2.23 Zhodnocení problematiky stati 2.2

Současné výzkumy problematiky, které se zaměřují převážně na měření tahových sil v niti, jak uvádí řada autorů, potvrzují význam podavačů nejen pro plynulost a stabilitu celého procesu pletení, ale i pro stejnoměrnost úpletu, tedy jeho kvalitu.

Obecná teorie podávání nitě na pletacích strojích nebyla dosud zpracována. Současné výzkumy pouze konstatují výhodnost a spolehlivost jednotlivých typů podávacích zařízení. Závěry jsou vyvozeny zejména na základě srovnání naměřených hodnot tahových sil, což podle mého názoru sice dá určitou představu o stejnoměrné popř. nestejnoměrné (v případě rázu) tahové síle v podávané niti, ale další závislosti a vztahy mezi stejnoměrností struktury pleteniny a změnami tahových sil a pod. zůstávají pouze naznačeny. V tomto směru je výzkum prozatím v počátcích.

2.3 HODNOCENÍ STRUKTURY PLETEPIN

Z dosavadních výzkumů jasně vyplývá souvislost mezi strukturou pleteniny a jejími vlastnostmi. Struktura pleteniny, myslíme tím strukturální uspořádání vazebních prvků, je zase do značné míry ovlivněna vlastnostmi materiálu, soustavou technických a technologických parametrů a v ne- poslední řadě i soustavou proměnných faktorů, např. tahových sil, které tuto strukturu ovlivňují nepřímo, prostřednictvím některých jiných parametrů.

Jestliže analyzujeme problematiku tahových sil, je nutno hledat i souvislost se změnami struktury pleteniny, které tyto tahové síly zapříčinují. Toho lze dosáhnout vyhodnocením dané struktury vhodnou metodou tak, abychom získali zpětnou vazbu "změna struktury pleteniny - změna tahové síly v niti".

Vzhledem k tomu, že současné literární prameny neuvádějí žádnou metodu vyhodnocení struktury pleteniny z hlediska změn tahových sil v niti, je krátký literární průzkum z obecného pohledu uveden v příloze č. 1 této práce.

3. CÍL DIZERTAČNÍ PRÁCE

Znalost tahových sil v niti a jejich změn v průběhu procesu pletení má velký význam z hlediska současného sledování kvality pletenin a ekonomiky celého výrobního procesu. Proto cílem práce bylo zaměřit se na ty aspekty problematiky tahových sil, které jsou pro řešení dané oblasti významné a jsou v současnosti cestou ke zkvalitnění a zdokonalení procesu pletení. Cíl práce je rozvrhnut do několika oblastí.

V úvodní části je proveden rozbor dosud uveřejněné literatury, který sleduje tři oblasti, dotýkající se řešené problematiky. V prvé radě je to obsáhlá oblast sledování průběhu tahových sil a jejich změn během procesu pletení, jejich měření a vyhodnocování z hlediska řady technických a technologických parametrů. Dále je uveden rozbor současných způsobů podávání nitě na velkoprůměrových pletacích strojích. Tato kapitola je zakončena přehledem a zhodnocením metod vyhodnocování struktury pletenin z hlediska geometrických a dalších parametrů.

V následující kapitole je uvedena metodika měření tahových sil v niti v procesu pletení.

V další části je provedena teoretická analýza a výklad tahových sil a jejich změn v průběhu procesu pletení, a to v souvislosti se změnami některých základních technických a technologických parametrů.

V této etapě jsou provedena experimentální měření tahových sil v niti pro různé typické materiály, pro různé způsoby podávání a vyhodnocování těchto experimentů.

Je zde rovněž proveden původní návrh podávání nití pro velkoprůměrový pletací stroj s novou koncepcí podávacího zařízení. Měření jsou provedena pro možnost exaktního zhodnocení odvíjení nitě s křížové cívky při různých průměrech a pro podávání při použití podavačů. Pro všechna měření jsou zhotoveny záznamy a vzorky pletenin. Zejména je sle-

dován vliv klasického odvíjení s křížové cívky:

- a) bez podavače
- b) s podavačem použitým v průmyslu ve srovnání s nově navrhovaným podavačem.

V následující statí je uvedena teoretická analýza průběhu tahových sil v niti v oblasti tvorby očka, tedy v oblasti zámků. Jsou zde řešeny vztahy pro stanovení tahových sil v jednotlivých místech tvorby očka a dále pak vztahy pro stanovení relativních rychlostí nitě během tohoto procesu.

Dále je v práci proveden návrh jednoduchého simulačního zařízení pro průběh a měření tahových sil během zatahování oček a k tomu odpovídající teoretické výpočty.

V závěrečné části je zhodnocení teoretických úvah, zhodnocení experimentálních výsledků a jsou zde uvedeny návrhy pro praktické využití výsledků práce.

4. ZVOLENÉ METODY ZPRACOVÁNÍ

Řešení technologických problémů v pletářském oboru spočívalo v dřívějších letech převážně na zkušenostech technických pracovníků ve výrobě.

Současnost klade velký důraz nejen na kvalitu hotových pletených výrobků, ale i na ekonomiku celého výrobního procesu.

Toho lze dosáhnout intenzivním výzkumem, který bude komplexně řešit dílčí oblasti ve všech vzájemných souvislostech.

K dosažení výsledků bylo v práci použito dvou základních prostředků, a to teoretické analýzy dané oblasti s následovnou matematickou formulací a experimentální analýzy.

Aby tyto rozbory i jejich výsledky (matematické formulace) odpovídaly současné úrovni techniky, byly při sledování dané problematiky využity všechny dostupné prostředky KTP na VŠST Liberec i některých spolupracujících institucí (Zbrojovka Vsetín).

Teoretická analýza dané oblasti tahových sil v niti byla provedena na základě jednak dosavadních výzkumných poznatků a dále pak logických úvah, jejichž výsledkem bylo matematické zformulování některých dílčích problémů pro prvé přiblížení problematiky.

Konkrétně byly sledovány tyto problémy:

- teoretická analýza tahových sil v niti a jejich změn v průběhu procesu pletení v souvislosti se změnami některých základních technických a technologických parametrů
- zformulování vztahů pro stanovení relativních rychlostí nitě mezi třecími orgány a niti
- zformulování vztahů pro stanovení tahových sil v niti v jednotlivých místech oblasti tvorby očka.

Tato teoretická analýza nemohla zahrnout danou problematiku do takové hloubky, kam až ve skutečnosti oblast tahových sil zasahuje. Znamenalo by to sledovat a analyzovat i souvislosti a vlivy tahových sil i v ostatních oblastech textilní problematiky, čímž by se jistě značně přesáhl rozsah disertační práce.

Podrobnosti o použitých metodách tohoto teoretického rozboru budou součástí kapitoly 5.0.

V experimentální analýze byl použit následující obecný postup:

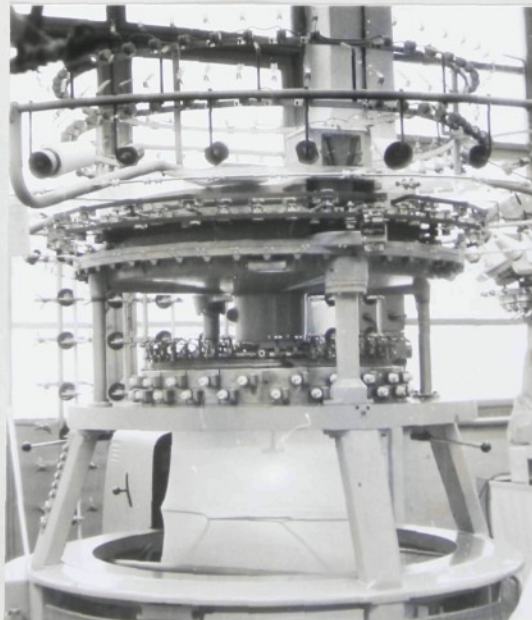
Laboratorní velkoprůměrový pletací stroj byl upraven pro možnost provedení experimentálních zkoušek měření tahových sil. Úkolem bylo dokázat, do jaké míry se shoduje praxe s teoretickými předpoklady průběhu tahových sil.

Příprava stroje pro měření se skládala z následujících prací:

- a) Úprava interlockového VPS "Meto" pro pletení zátažné jednolícní pleteniny jedním systémem
- b) Instalace měřicího zařízení, což byl v našem případě tenzometrický snímač firmy Rotschild
- c) Instalace dalších přístrojů pro registraci průběhu měřeného děje (byl použit termosenzitivní zapisovací přístroj Helcoscriptor stejné firmy)

ad a) Pro experimentální výzkum byl použit laboratorní interlockový velkoprůměrový pletací stroj "Meto", rok výroby 1969. Na stroji byly provedeny jednoduché úpravy pro pletení zátažné jednolícní pleteniny jedním systémem. Důvodem k tomu byl požadavek, aby popřípadě dále zkoumaná pletenina byla vyrobena jen z nitě, která byla sledována a byla tak zajištěna vzájemná souvislost mezi tahovými silami v niti a strukturálnimi (nebo jinými) změnami pleteniny.

Na obr. 20 je celkový pohled na laboratorní stroj "Meto"



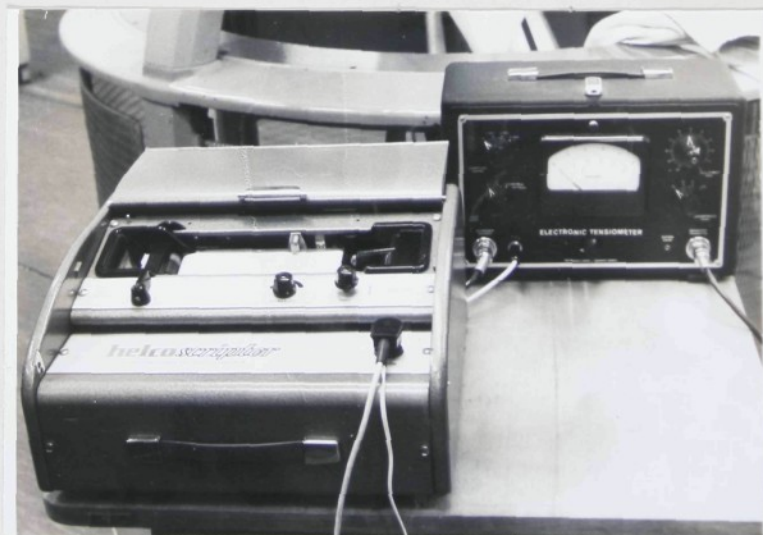
Obr. 20 Celkový pohled na použity laboratorní stroj "Meto"

Další výhodou tohoto stroje je jeho konstrukční provedení, které dovoluje jednoduché zařazování jednotlivých podavačů do činnosti a jejich výměnu podle potřeby, dále pak regulaci rychlosti podávané nitě, což mělo pro část experimentů velký význam.

Nejdůležitější technické údaje stroje "Meto":

Výrobce, rok výroby	Zbrojovka Vsetín, 1969
Průměr jehelních lůžek	810 mm (32")
Dělení stroje	64 j. na 100 mm (16 ang.)
Počet jehel	1632 v jednom lůžku
Počet zařazených systémů	1 (jinak na stroji 44)
Obvodová rychlosť	$0,66 - 1,02 \text{ m.s}^{-1}$
Jehla	jazýčková ražená
Podavač	páskový

ad b), ad c) K měření tahových sil v niti byl použit citlivý tenzometrický snímač tahových sil západoněmecké firmy Rotschild. Od stejné firmy byl i termosenzitivní zapisovací přístroj Helcoscriptor uvedený na obr. 21. Snímač tahových sil je uveden ve statí 5.11 na obr. 24, str. 54.



Obr. 21 Instalované měřící a doplnk.zapis.zářízení u stroje

Byly upleteny vzorky jedné hustoty z různých materiálů. Vzorky pleteniny byly vyrobeny za určitých podmínek, které byly předmětem sledování. Relaxace pleteniny pro další zpracování byla provedena formou 1-týdenní suché relaxace.

Bližší podrobnosti, týkající se provedení a výhodnoceň experimentů jsou pro přehlednost uvedeny v odpovídajících statích kapitoly 5.0.

Pro zjištění přibližné odtahové síly na jedno očko byl použit jednoduchý přípravek, jehož princip a popis je uveden v literárním odkazu /35/.

V experimentální statí, kde byla také sledována funkce podavačů, byly navrženy čtyři nové konstrukce podavače.

Pro experimentální analýzu tahových sil v oblasti zatahování oček byl navržen a vyroben simulátor tahových sil.

Závěrem lze říci, že nebylo při vypracování této práce použito žádných zcela nových metod zkoumání, až na výše uvedený simulátor tahových sil v oblasti zámků, který byl přihlášen k patentování v ČSSR dne 28. prosince 1982.

5. VÝSLEDKY DISERTAČNÍ PRÁCE

Z předcházejícího literárního přehledu vyplývá význam průběhu tahových sil v niti v procesu pletení.

U velkoprůměrových pletacích strojů dochází ke změnám tahových sil, při kterých může jejich velikost nabývat extrémně vysokých hodnot, až blízko hranice pevnosti nitě.

Při dalších analýzách budeme vycházet z následujícího členění problematiky:

- 5.1 - Odvinutí nitě s předlohouvého tělesa a vedení nitě velkoprůměrovým pletacím strojem bez použití podavače
- 5.2 - Odvinutí nitě s předlohouvého tělesa a vedení nitě velkoprůměrovým pletacím strojem při použití podavače
- 5.3 - Podavače nití na velkoprůměrových pletacích strojích
- 5.4 - Zkoušky podavačů nití a jejich výhodnocení
- 5.5 - Řešení průběhu tahových sil v niti.

Pokud se týká stati 5.1, t.j. tahových sil, které vznikají vlivem předlohouvé cívky a jejího odvinu a vlivu brzdících a vodicích zařízení, byly tyto podrobněji ozrejměny v úvodní literární rešerši.

Další teoretické přínosy v této oblasti lze těžko očekávat, protože se řada autorů již touto problematikou zabývala, a z výsledků našich měření, které jsou uvedeny dále vyplývá, že jsou více nebo méně potvrzovány výsledky měření uváděné v předcházející kapitole. Naše měření a rozbory rozvádějí a konkretizují měření tahových sil v niti na jednotlivých místech velkoprůměrového pletacího stroje.

Radikální zásah do oblasti tahových sil měřených před vstupem nitě do jehel byl proveden zařazením podavače nitě do technologického procesu mezi odvíjenou nit a jehly.

Dobře zkonstruovaný a vyrobený podavač může totiž zaručit přibližně konstantní hodnotu tahové síly na výstupní

straně podavače a to i požadované velikosti (za určitých podmínek i nuleovou).

Lze tedy vhodně voleným typem podavače dosáhnout jakékoli tahové síly na vstupu do jehel. Po zjištění této skutečnosti a při masovém zavedení podavačů do pletacího procesu, nebudou mít tahové síly od cívky a od vedení nitě strojem podstatný vliv na pletací proces. Takto by byly vlastně tahové síly před jehlou v rukou seřizovače, který má k dispozici dokonalý návod k seřízení a obsluze velkoprůměrového pletacího stroje a řídí se jím. Protože masové zavádění podavačů nití na pletací stroje je však především ekonomickou záležitostí, nebudou pravděpodobně ještě dlouho vybaveny všechny velkoprůměrové pletací stroje těmito podavači nití a proto zůstávají výsledky ve statí 5.1 stále aktuální.

Samozřejmě zde má také velký vliv otázka zpracovávaného materiálu.

Zůstává tedy nadále žádoucí požadovat od výrobců velkoprůměrových pletacích strojů eventuálně institucí, zabývajících se zkouškami zpracovávání textilních materiálů na velkoprůměrových pletacích strojích, aby dodávali dokonale zpracovaná doporučení (technické normy) pro určité materiály i vazby pletenin a od výrobců pletenin zajištění technologické kázně. (Tyká se jak výroby pletenin s podavači nitě, tak bez podavačů).

Jak pro pletení bez použití podavačů (stať 5.1), tak pro pletení s použitím podavače (stať 5.2) byly získány grafy průběhu tahových sil za jednotlivými místy styku nitě s povrchem vodicích a jiných pracovních orgánů, jako jsou brzdičky, podavače apod.

Pokud se týká statí 5.5, je třeba v úvodu poznamenat, že oblast tvorby očka je nejdůležitějším úsekem při tvorbě pleteniny, ale z hlediska tahových sil vznikajících zde v niti úsekem nejméně probádaným.

O oblasti kladení nití do jehel, odhozu a zatahování oček se přístupné studované literární materiály zmiňují velice sporadicky.

5.1 ODVIN NITĚ S PŘEDLOHOVÉHO TĚLESA A VEDENÍ NITĚ VELKOPRŮMĚROVÝM PLETACÍM STROJEM BEZ POUŽITÍ PODAVAČE

Jak již bylo uvedeno dříve, je oblast odvinu nitě s křížové cívky i vedení nitě různými orgány textilních strojů zpracována řadou autorů a při zařazení podavačů do technologického procesu by pro nás nebyla již tak aktuální. Protože však masové využití podavačů není ještě skutečností, budou zde krátce uvedeny důležité závěry z provedených experimentů dané problematiky zejména pro získání kontinuity informací.

Při odvinu působí na nit celá řada faktorů, což značně ztěžuje možnost exaktního vyjádření podmínky odvinu nitě na velkoprůměrovém pletacím stroji.

Nejdůležitější vlivy, působící při procesu odvíjení, můžeme shrnout takto:

- a) vliv textilního materiálu, jeho vlastností (povrch, nejstejnometernost aj.)
- b) vliv přípravy materiálu k pletení, a to:
 - technologické podmínky a parametry soukání (tvar a rozměr cívky, stejnometernost a kvalita návinu aj.)
 - technologické podmínky při pletení, vztahující se k cívce (uložení cívky, vzdálenost od vodicího očka, sklon cívky, rychlosť odvinu aj.)
 - vliv okolí.

Nejdůležitější z výše uvedených vlivů budou rozebrány zejména v této kapitole.

Dále je uvedena legenda k obr. 22 a obr. 35, schematicky znázorňující místa, za kterými byly měřeny tahové síly v niti na velkoprůměrovém pletacím stroji:



křížová cívka



nit vedená s různým úhlem opásání přes
elementy stroje



vedení nitě brzdičkou



podavač

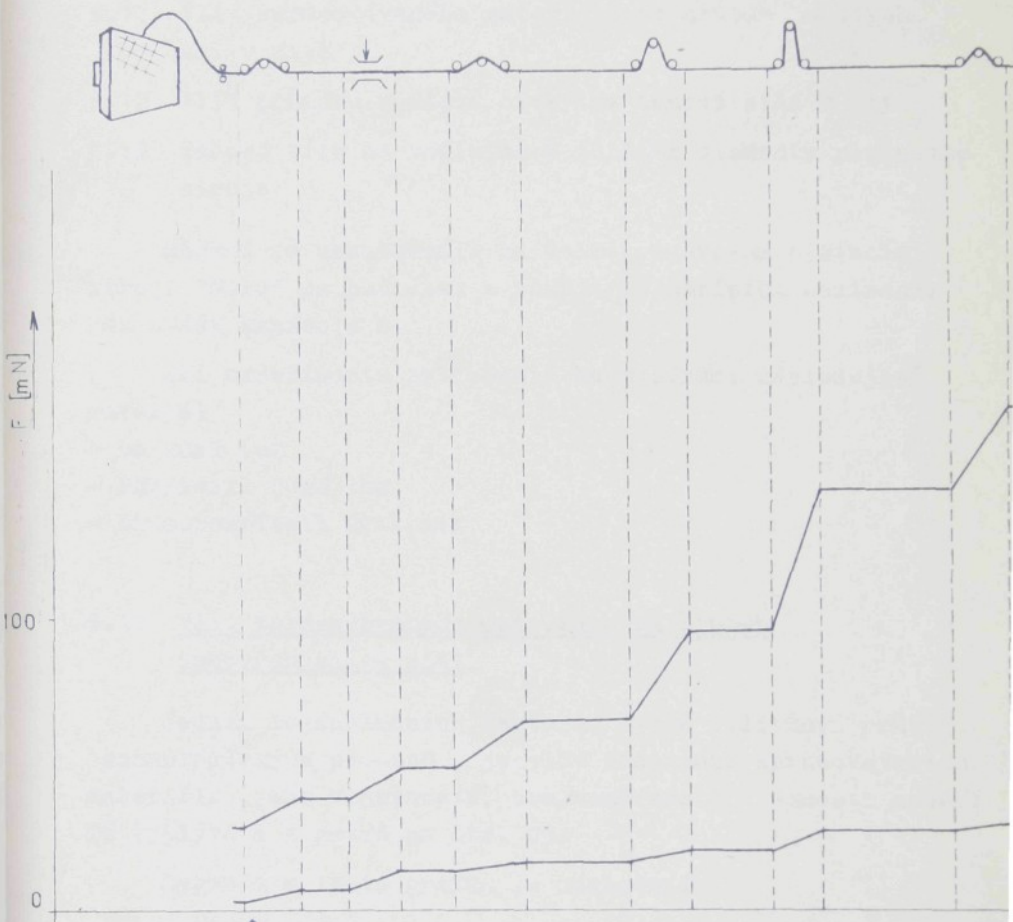


pletací jazyčková jehla

Na následujícím obr. 22 je ukázána pro ilustraci oblast tahových sil v niti naměřených za jednotlivými elementy velkoprůměrového pletacího stroje při zpracování materiálu ba 20x2 tex, při průměru cívky 90 mm bez použití podavače nitě.

Z obr. 22 je patrné, že oblast tahových sil bez použití podavače je značně veliká a průměrné maximální tahové síly před vstupem nití do jehel (zde kolem 170 mN) jsou již nebezpečné z hlediska možných přetrvávajících v oblasti tvorby pletenin (zejména proto, že se jak bude ukázáno dále, pohybují maxima tahových sil v niti na podstatně vyšších hodnotách).

Dále podrobněji rozebereme, pro dodržení kontinuity, oblast odvinu nitě s křížové cívky zejména z hlediska použitého materiálu, z hlediska právě odsoukávaného průměru křížové cívky a oblast zvyšování hodnot tahových sil za vodicími elementy event. dalšími orgány pletacího stroje.



Obr. 22 Oblast průběhu středních hodnot tahových sil v niti při vedení nitě strojem "Meto" při zpracovávání bavlny 20x2 tex, při průměru cívky 90 mm, bez použití podavače

Stať je členěna na:

- 5.11 Vliv zpracovávaného materiálu na průběh tahových sil v niti
- 5.12 Vliv průměru křížové cívky na tahové síly v niti
- 5.13 Tahové síly za vodicími a dalšími elementy pletacího stroje.

Měření se uskutečnilo na velkoprůměrovém pletacím stroji "Meto" za podmínek a použitých měřicích zařízení, jak uvádí kapitola 4.

Při experimentu byl použit ke srovnání následující materiál:

- ba 20x2 tex
- PES/Tesil 20x2 tex
- Grisuten/Tesil 20x2 tex

5.11 Vliv zpracovávaného materiálu na průběh tahových sil v niti

Jedním ze základních faktorů, které ovlivňují průběh technologických procesů, je vliv samotného zpracovávaného materiálu (jeho vlastností, stejnoměrnosti, jemnosti apod.). To vyplývá i z grafů na obr. 23.

Legenda k těmto grafům je následující:

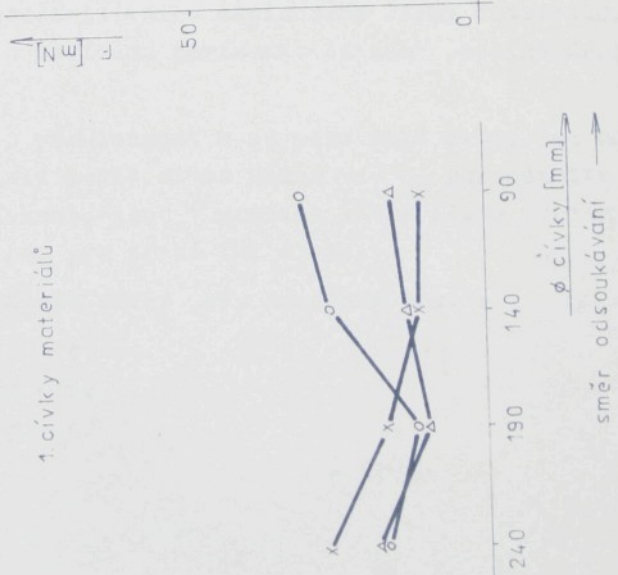
- ba 20x2 tex
- × PES/Tesil 20x2 tex
- △ Grisuten/Tesil 20x2 tex

Materiál bude i v ostatních grafech odlišen stejnými značkami

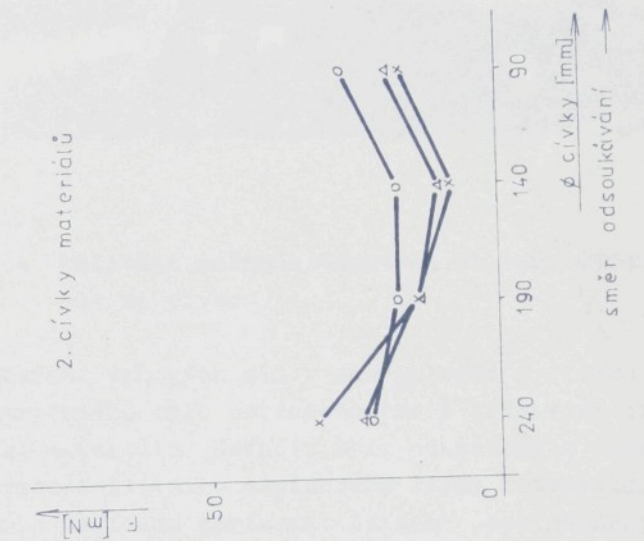
Hodnoty tahových sil tohoto experimentálního měření jsou uvedeny v tabulce na obr. 25.

Tahové síly byly zde měřeny za cívkou. Způsob umístění snímače je znázorněn na fotografii na obr. 24 (fotografie je převzata z měření při použití páskového podavače).

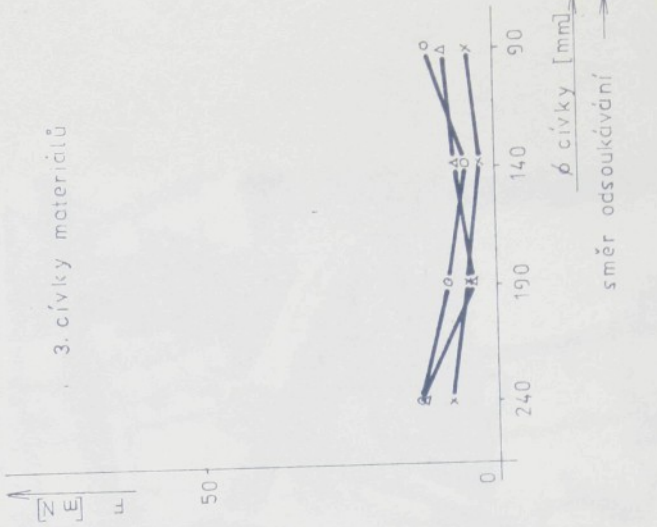
1. cívky materiálu



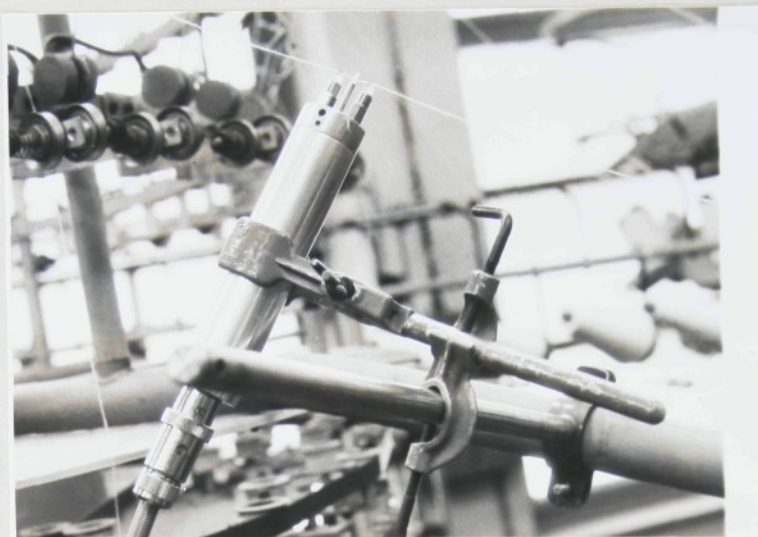
2. cívky materiálu



3. cívky materiálu



Obr. 23 Průběh středních hodnot tahových sil v nití měřených za cívku v závislosti na materiálu a průměru cívky



Obr. 24 Umístění snímače tahových sil při měření těchto sil za cívkou

Měření tahových sil v souvislosti s vlivem zpracovávaného materiálu bylo provedeno pro 5 křížových cívek od každého materiálu. Hodnoty byly odečítány z primého záznamu termosenzitivního zapisovače firmy Rotschild, instalovaného k měřícímu zařízení. Záznamy jsou uvedeny v příloze č. 2.

Pro přehlednost a zejména také proto, že nebyla zjištěna u tak malé série cívek žádná vlna se periodicitou tahových sil mezi cívkami, jsou v grafech i v příloze uvedeny hodnoty měření jen pro první tři cívky.

Křížové cívky jsou označeny takto:

1. cívka - c1
2. cívka - c2
3. cívka - c3.

Předcházející podmínky měření a informace platí i pro experimentální měření uváděné ve statí 5. 12.

Při hodnocení grafických průběhů změn tahových sil uvedených na obr. 29 můžeme konstatovat následující:

1. Rozdílné sledované materiály vykazují i rozdílné hodnoty tahových sil měřených při odvinu materiálu s cívky. Tyto hodnoty se pohybují v určitém rozmezí a podobnost se týká pouze charakteristiky průběhu křivek těchto tahových sil.
2. Relativně nejnižší hodnoty tahových sil jsou patrný z grafů u materiálu Grisuten/Tesil 20x2 tex.

5.12 Vliv průměru křížové cívky na tahové síly v niti

V průběhu odvinu nitě s křížové cívky dochází ke zmenšování průměru této cívky. To do značné míry ovlivní kolísání tahových sil v niti, měřených za prvním vodicím prvkem (očkem).

Tabulka na obr. 25 uvádí naměřené hodnoty tahové síly za pěti křížovými cívками, tří různých materiálů, jak uvádí podrobněji předcházející stat 5.11.

Měření bylo provedeno pro 4 průměry křížové cívky, a to:

$$d_c = 240 \text{ mm}$$

$$d_c = 190 \text{ mm}$$

$$d_c = 140 \text{ mm}$$

$$d_c = 90 \text{ mm}.$$

Záznamy průběhu tahových sil jsou uvedeny v příloze č. 2.

Z tabulky a zejména z grafů na obr. 26 je zřejmé, že průběh tahových sil je přibližně stejný a odpovídá předpokládanému průběhu, uvedenému již dříve ve statí 2.11, obr. 2. Z tohoto důvodu byly do grafů pro přehlednost opět vyneseny jen hodnoty prvních tří křížových cívek.

Legenda k obr. 26 je následující:

• 1. cívka

* 2. cívka

▲ 3. cívka

Průměr cívky mm	c 1 F_{sr} [mN]	c 2 F_{sr} [mN]	c 3 F_{sr} [mN]	c 4 F_{sr} [mN]	c 5 F_{sr} [mN]
621/12	240	17,5	14,2	22,5	20,6
	190	12,2	9,4	17,5	14,6
	140	26,5	4,7	16,8	11,4
	90	31,2	11,2	27,5	22,5
PES/Tesi 1	240	27,7	7,7	30,2	28,8
	190	16,2	4,6	15,7	16,7
	140	8,4	3,1	10,2	15,1
	90	10,5	4,5	16,2	17,9
Grisutien/Tesi 1	240	18,2	10,7	22,5	19,9
	190	10	4,2	12,5	9,7
	140	12,5	6,8	10,2	11,9
	90	17,5	9,2	17,7	17,6

Obr. 25 Tabulka naměřených středních tahových sil za cívkou bez použití podavače

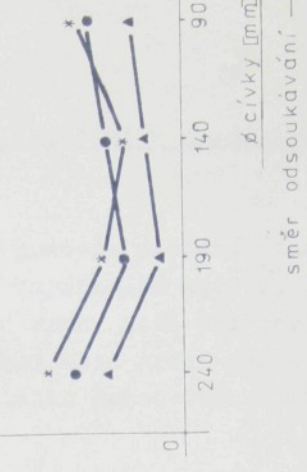
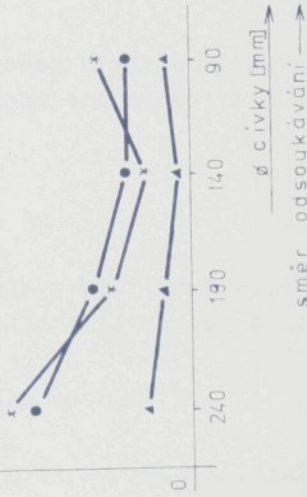
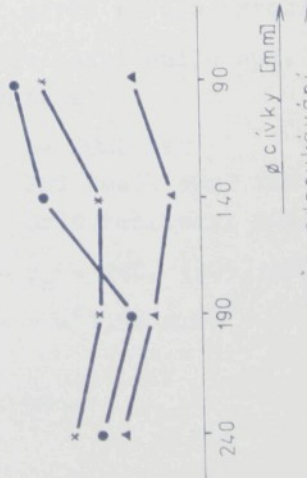
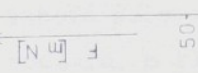
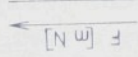
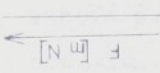
Při hodnocení grafického průběhu změn tahových sil v niti při odvinu nitě s křízové cívkou můžeme konstatovat následující:

1. S měnícím se průměrem cívky roste nebo klesá střední hodnota tahové síly v niti, což se u strojů, kde není použit podavač může projevit nestejnometerností pleteniny.
2. Nejpříznivější výsledky vykazují cívky (ve většině případů) s průměrem 140-170 mm. Při změně průměru cívky v obou směrech se podmínky při odvinu zhoršovaly (rostly tahové síly).
3. Při odvinu nitě vykazují tahové síly kromě kolísání střední hodnoty (viz ad 1) také periodické kolísání tahové síly, vztahující se ke dvěma následným odvinům nitě.
4. Odvin nitě dále vykazuje rázy, které vznikají v důsledku určité překážky při odvinu nitě.

bavlna

PES / Tesil

Grisutén / Tesil



Obr. 26 Průběh středních hodnot tahových sil v niti měřených za cívku u více cívek stejného materiálu v závislosti na průměru cívky

5.13 Tahové síly v niti za vodicími a dalšími elementy pletacího stroje

Nit prochází v průběhu procesu pletení soustavou vodicích a dalších prvků (hlídacích, napínacích apod.), jejichž hlavní funkce spočívá ve vymezování dráhy nitě při jejím pohybu od cívky k pletací jehle. Všechny tyto prvky působí na nit převážně třecími silami, v důsledku čehož dochází ke zvyšování hodnoty tahové síly v niti.

Ve vodicích a hlídacích prvcích dochází ke změnám tahové síly přibližně dle Eulerova vztahu, uvedeného ve stati 2.12 vztah (5).

Po průchodu nitě talířovou brzdičkou (stroj "Meto") se zvyšují tahové síly v niti podle známého vztahu

$$F = F_0 + 2N \cdot \mu \quad (22)$$

kde F - výsledná tahová síla v niti za brzdičkou [N]

F_0 - počáteční tahová síla v niti před brzdičkou [N]

μ - koeficient tření [1]

N - kolmá přitlačná síla na nit [N]

Výpočet tahové síly v niti za jednotlivými místy styku nitě s prvky stroje nebo její měření je závislé na textilním materiálu (druhu, stejnomořnosti apod.) i na materiálu, ze kterého jsou vodicí a další prvky stroje vyrobeny.

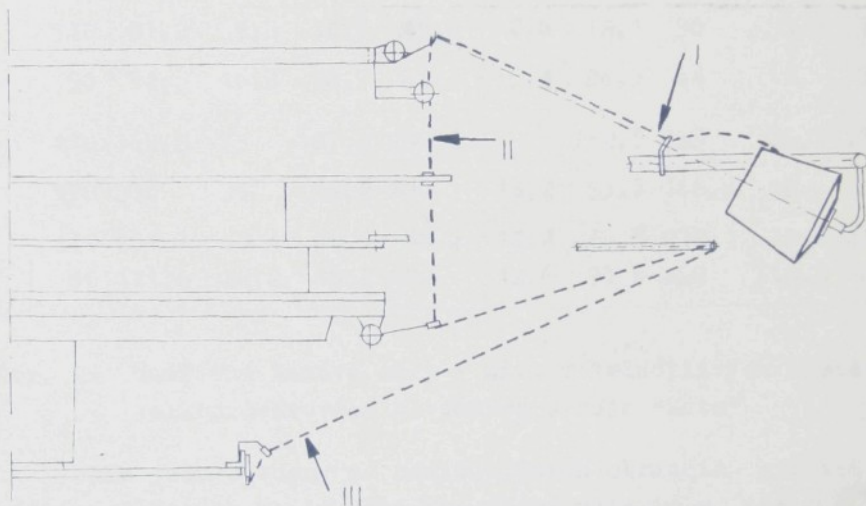
Experimentální měření se uskutečnilo opět na upraveném stroji "Meto" za těchto podmínek:

- zkoušený materiál - ba 20x2 tex
PES/Tesil 20x2 tex
Grisuten/Texil 20x2 tex
- průměr křížové cívky - $d_c = 240, 190, 140, 90 \text{ mm}$
- rychlosť podávání nitě - $v = 1,54 \text{ m.s}^{-1}$

Cílem měření bylo sledovat změny průběhu tahových sil v niti při vedení nitě strojem, konkrétně ve třech místech, a to za cívkou, za brzdičkou a před jehlou, opět v souvislosti se změnou druhu materiálu a průměru křížové cívky.

Schematicky jsou místa měření tahových sil v niti na stroji znázorněna na obr. 27, kde jsou označena takto:

- I - místo měření za cívkou
- II - místo měření za brzdičkou
- III - místo měření před jehlou



Obr. 27 Schematické znázornění míst měření tahových sil v niti na stroji "Meto"

Naměřené hodnoty tahových sil jsou uvedeny v následující tabulce na obr. 28. Tato tabulka uvádí kromě středních hodnot tahových sil i maximální a minimální hodnoty, které jsou pro nás pro vyhodnocování grafů velmi důležité.

Průměr cívky [mm]	bavlna F [mN]			PES/Tesil F [mN]			Grisuten/Tesil F [mN]			
	F _{max}	F _{min}	F _{stř}	F _{max}	F _{min}	F _{stř}	F _{max}	F _{min}	F _{stř}	
za cívkou	240	60	0	14,2	51,3	1,5	7,7	75,3	1,9	10,7
	190	28,1	0	9,4	47,9	0	4,6	19,3	0	4,2
	140	20,3	0	4,7	43,3	0	3,1	13,7	1,5	6,8
	90	40,6	9,4	11,2	40,5	1,2	4,5	37,7	2,7	9,2
za brzdičkou	240	200	38,5	93,8	87,3	12,7	44,3	32,2	2	23,3
	190	156,3	6,3	22,8	77,4	3,4	24,5	64,2	3,2	19,7
	140	81,2	9,3	18,7	49,6	2,6	12,1	90	3,2	34,3
	90	62,5	16,4	28,7	64	5,4	24,5	64	12	37,6
před jehlou	240	362,5	75	187,5	290,2	0	112,5	235	25,3	134,5
	190	200	25	75,2	200	18,2	93,3	168,4	18	87,1
	140	194,7	18	50,5	158,2	12,4	78,5	232,1	32,4	115,1
	90	171,5	26,2	96,2	200	12,6	93,6	228	18,9	125,1

Obr. 28 Naměřené tahové síly v niti v jednotlivých místech velkopružkového pletacího stroje "Meto"

Dále jsou uvedeny na následujících obrázcích grafické průběhy tahových sil v niti pro různé materiály, získané z měření za cívkou, za brzdičkou a před jehlou.

Legenda k následujícím grafům je:

- ba 20x2 tex
- × PES/Tesil 20x2 tex
- △ Grisuten/Tesil 20x2 tex
- ◐ měření za cívkou
- měření za brzdičkou
- měření před jehlou

Nárůst středních hodnot tahových sil v niti v jednotlivých místech stroje (I, II, III) pro různé materiály a při různých průměrech odvíjené křízové cívky jsou ukázány na následujících grafech na obr. 29, 30 a 31.

Grafy na obr. 29 znázorňují nárůst středních hodnot tahových sil odděleně pro jednotlivé materiály při průchodu nitě strojem.

Grafy na obr. 30 znázorňují vliv materiálu na růst tahových sil při průchodu nitě strojem.

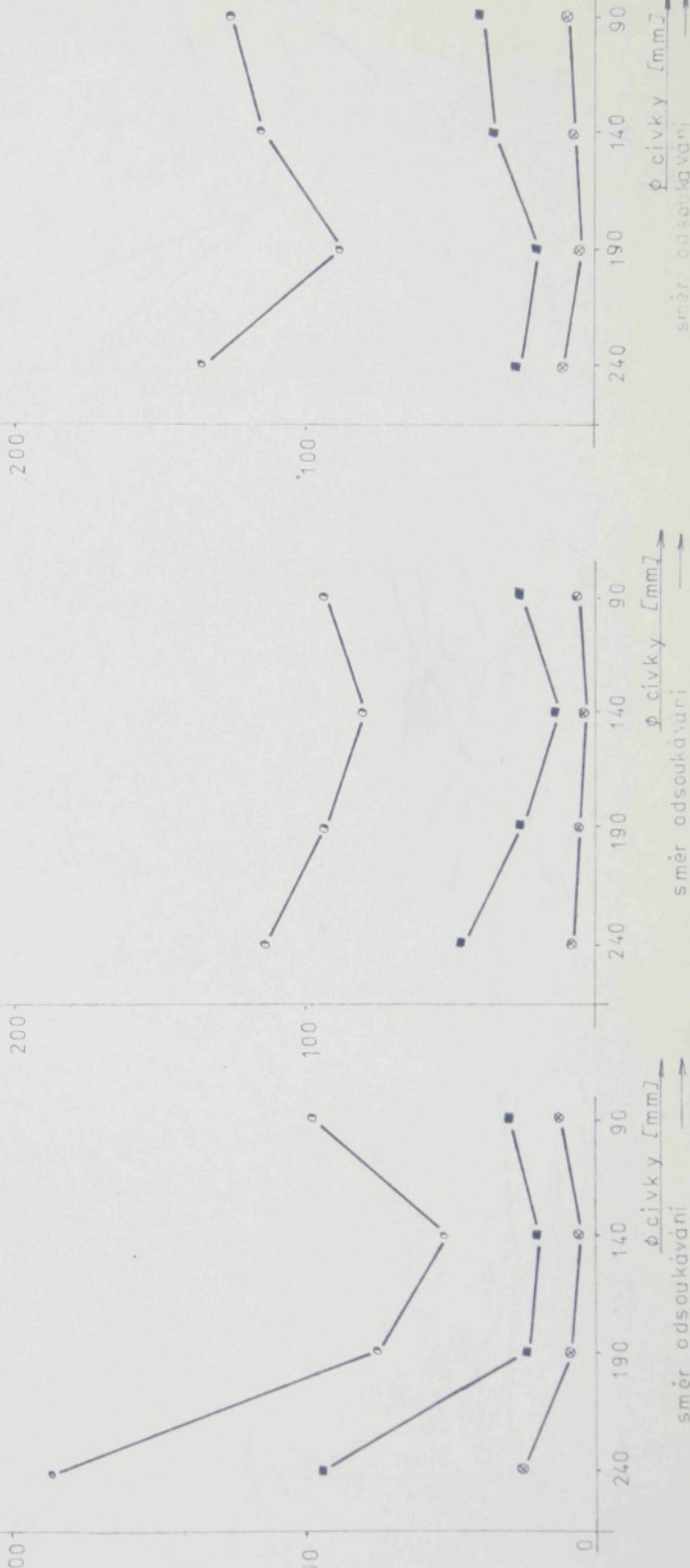
Grafy na obr. 31 znázorňují vliv průměru křízové cívky jednotlivých materiálů na nárůst tahových sil při průchodu nitě strojem.

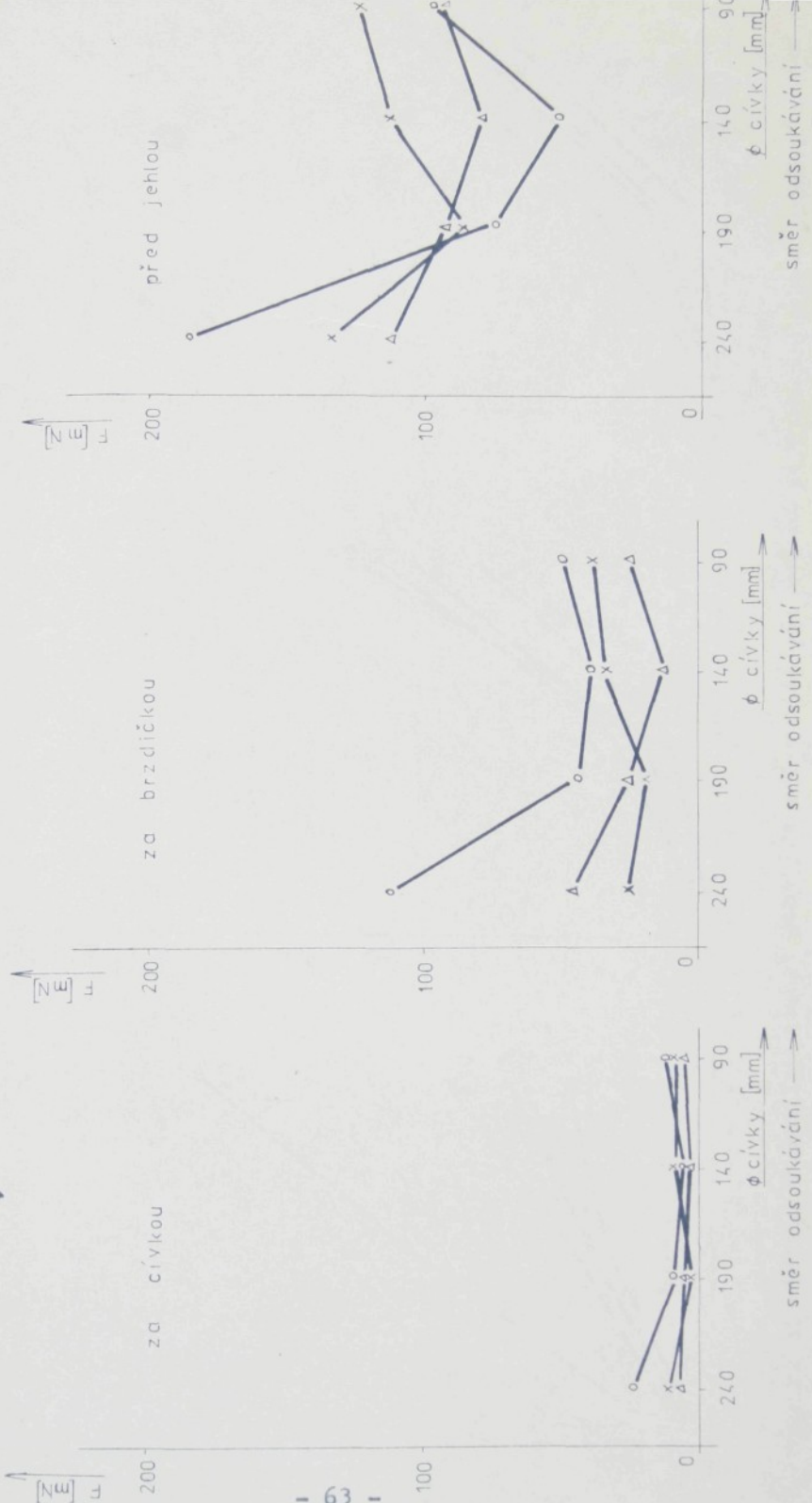
Pro další ozřejmění průběhu tahových sil za dříve již uváděnými místy velkoprůměrového pletacího stroje "Meto" (I, II, III) jsou na dalších třech obrázcích uváděna maxima a minima tahových sil vybraných z řady prováděných měření zarazených v příloze č. 3.

Tyto grafy byly pořízeny zejména proto, aby bylo upozorněno na nahodilé jevy, které jsou těžko konkretizovatelné a odstranitelné při běžném odvíjení, zejména v maximech tahových sil, které mohou okamžitě (skokově) stoupat nad neúnosnou hranici a způsobit přetřh (viz zejména poslední ze tří následně uváděných grafů na obrazku ... 34, ukazující maxima a minima tahových sil v niti před jehlou).

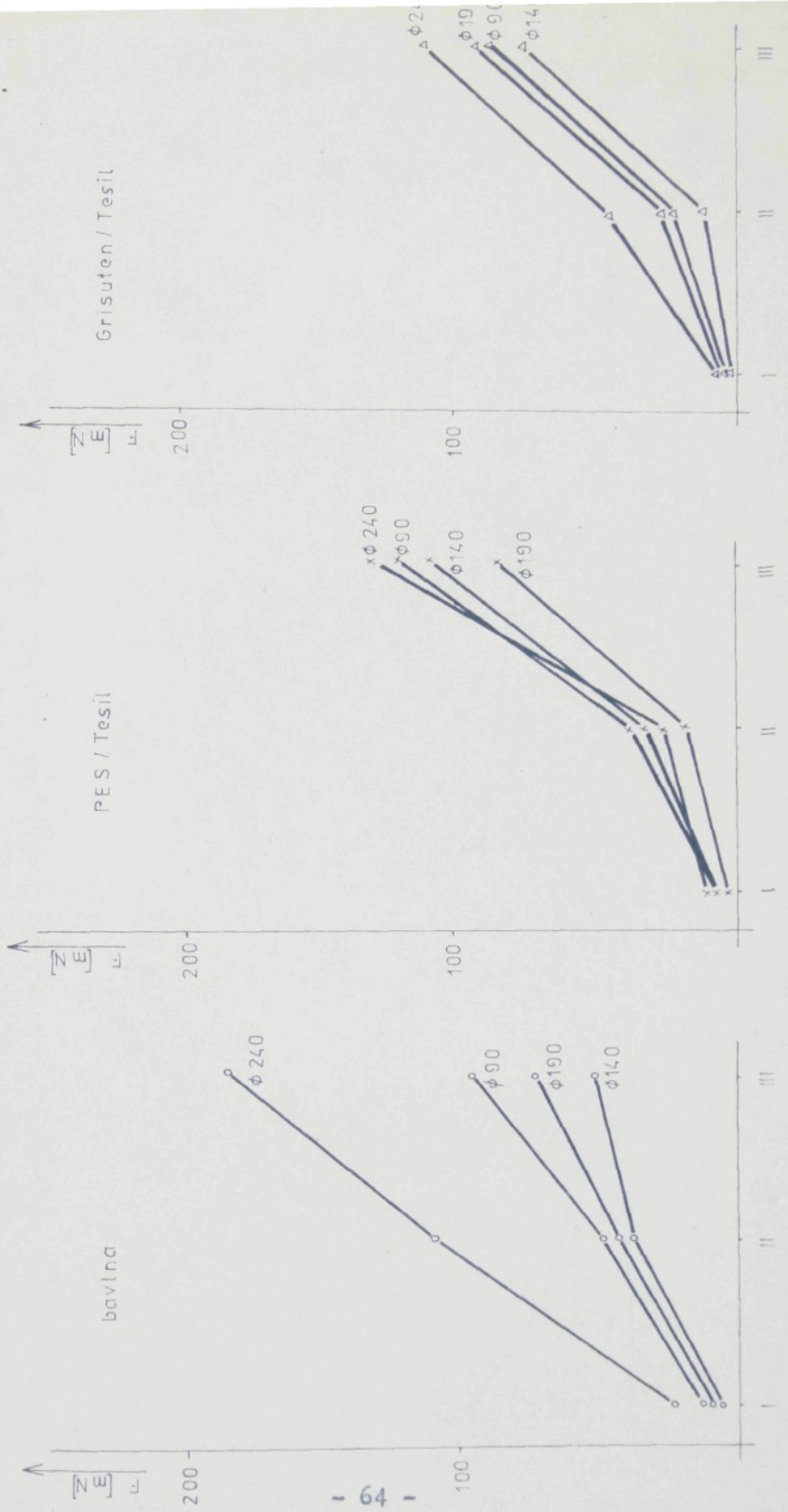


Grisutén / Tesil

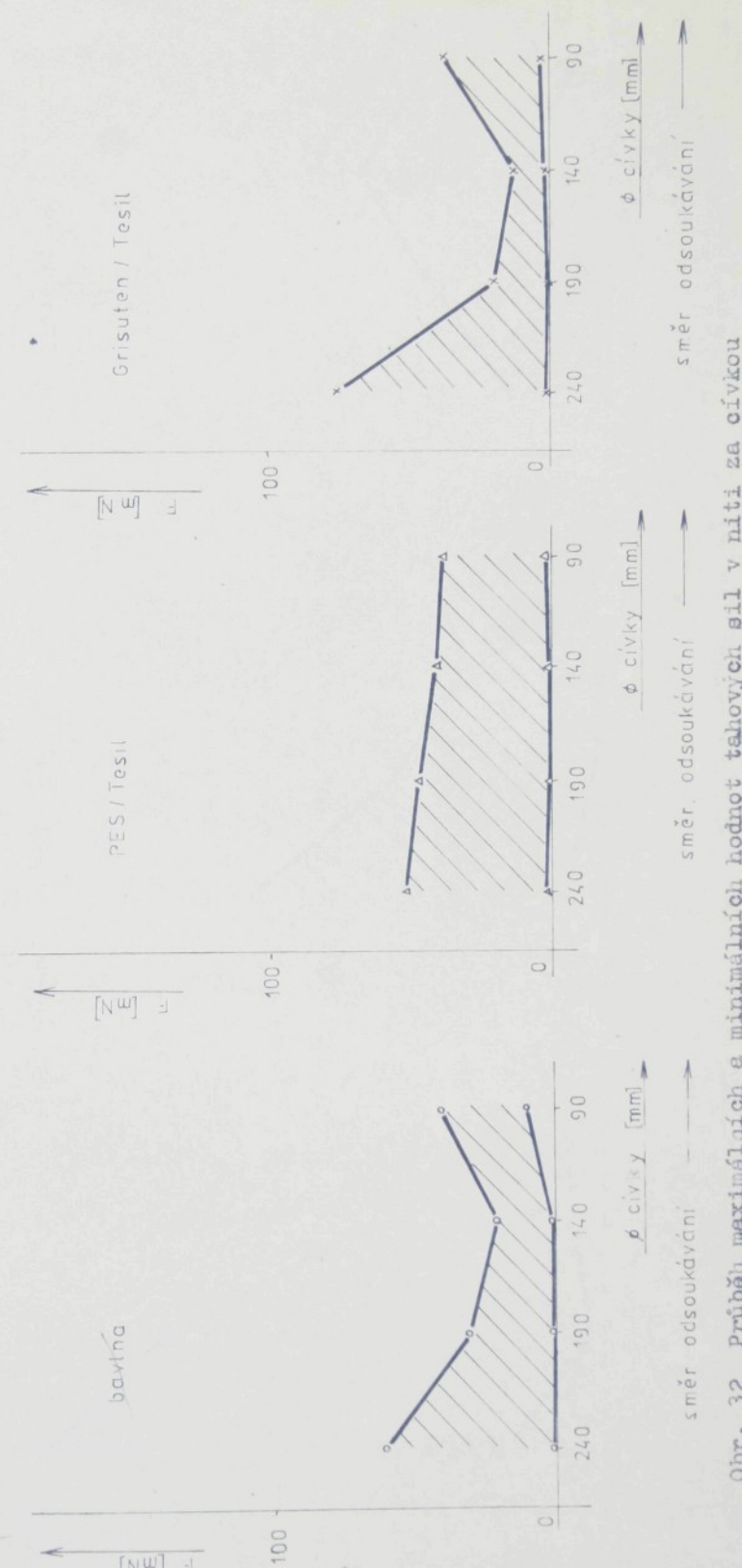




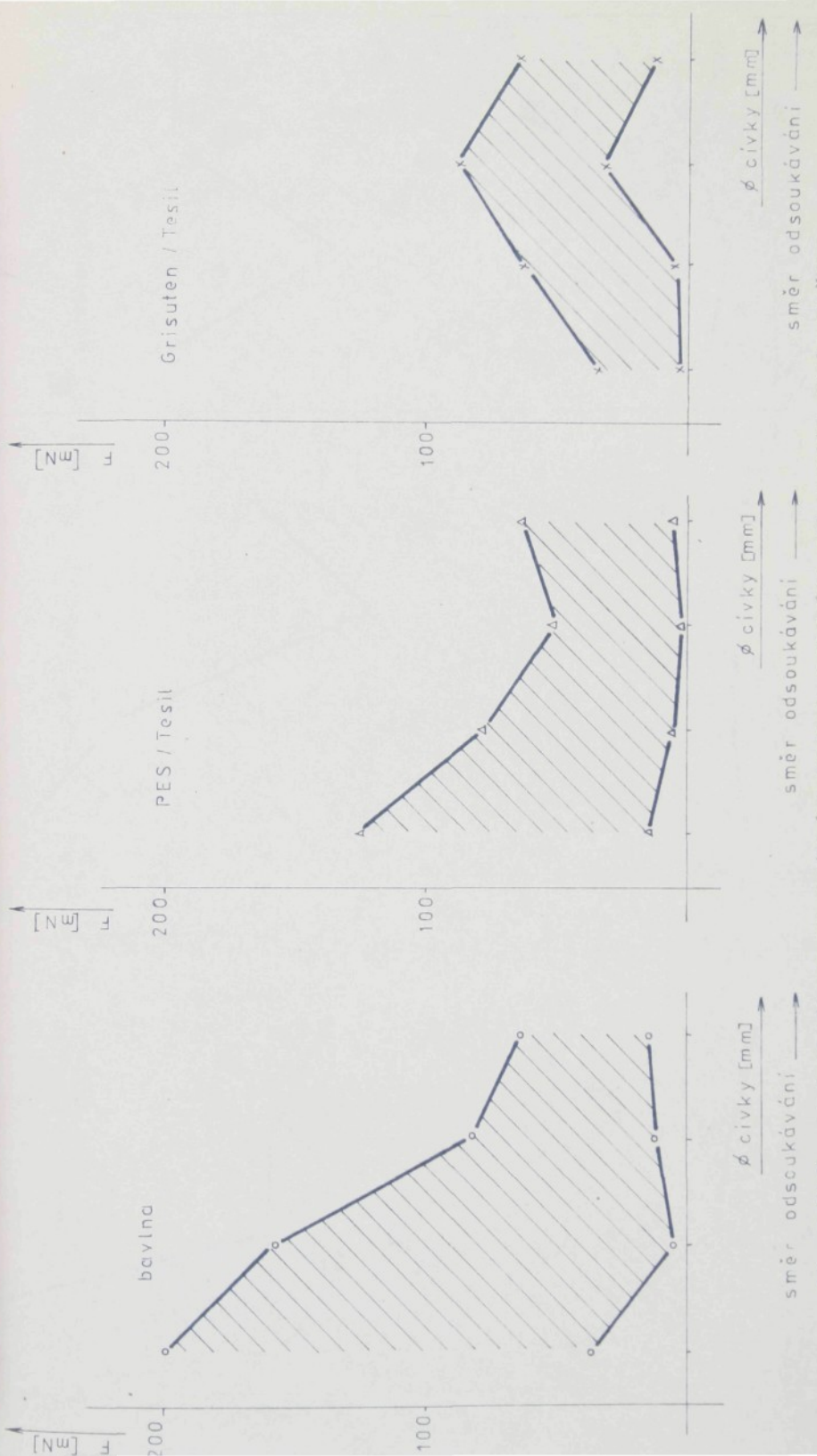
Obr. 30 Průběh středních hodnot tahuových sil v nití v závislosti na materiálu



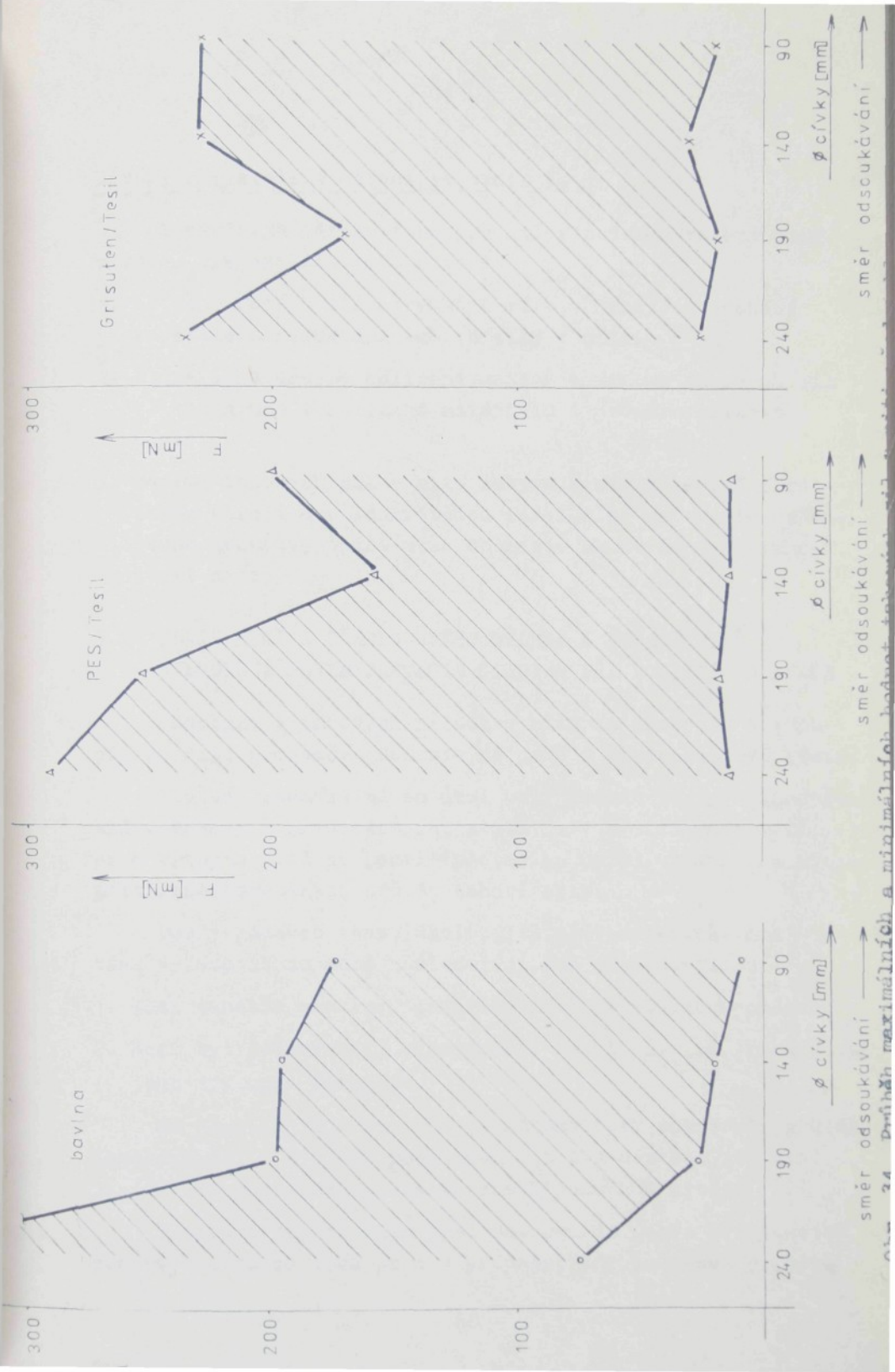
Obr. 31 Nárušt středních hodnot tahových sil v niti při vedení strojem pro různé průměry oívací



Obr. 32 Průběh maximálních a minimálních hodnot těchových sil v místě za cívkou



Obr. 33 Průběh maximálních a minimálních hodnot tahových sil v niti za brzdíčkou



Závěry k výsledkům měření ve statí 5.12

Z výsledků měření tahových sil v průběhu vedení nitě strojem lze vyvodit tyto závěry:

1. Vlivem třecích sil a přitačné síly v brzdičce dochází ke stálému narůstání tahové síly v niti.
2. Z grafů je zřejmé kolísání maxima a minima tahových sil vlivem druhu textilního materiálu i průměru křízové cívky.
3. Maxima tahových sil v niti nabývají na konkrétně sledovaném stroji a u konkrétních textilních materiálů nebezpečné hodnoty, takže může docházet ke zvýšené přetrhlosti nitě.

5.2 ODVIN NITĚ S PŘEDLOHOVÉHO TĚLESA A VEDENÍ NITĚ VELKOPRŮMĚROVÍM PLETACÍM STROJEM PŘI POUŽITÍ PODAVAČE

Podmínky v tahových silách v niti za křízovou cívku při použití podavače jsou stejné jako v předcházející statí.

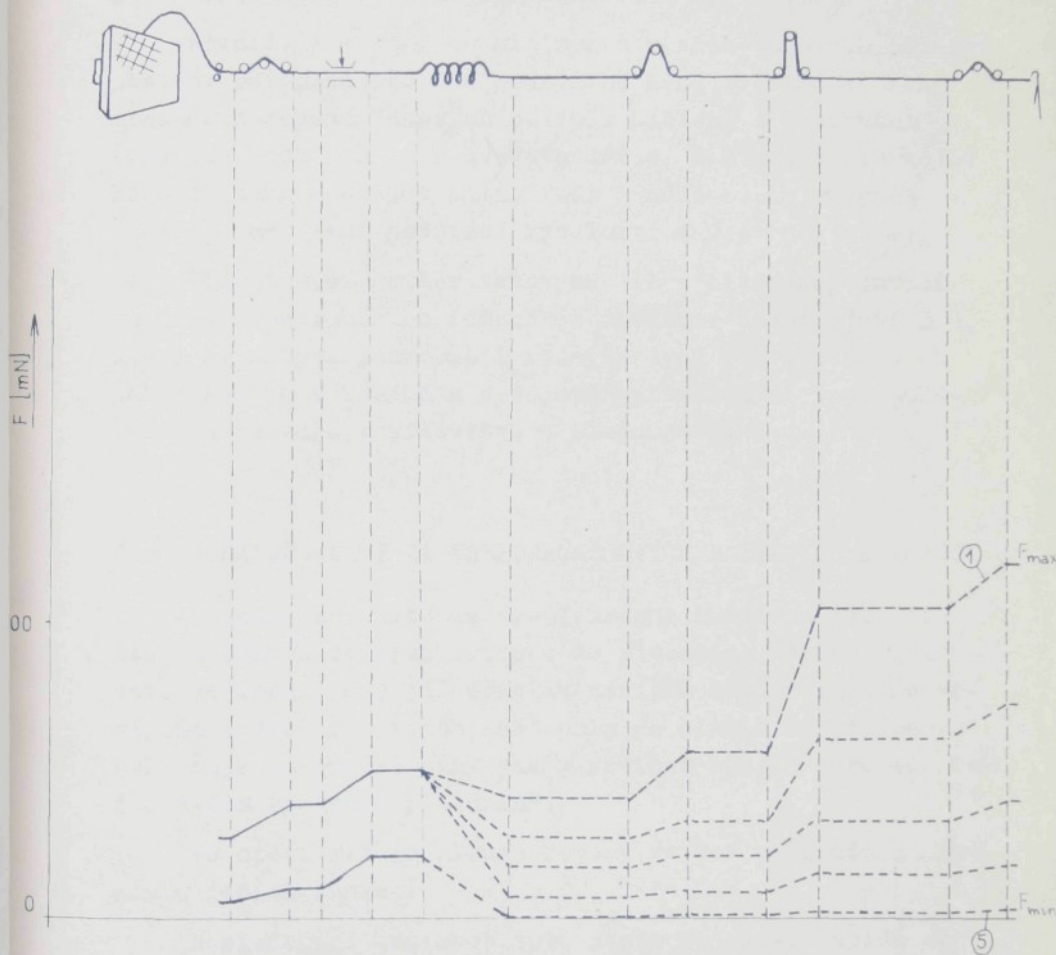
Vložený podavač má za úkol celý rozsah různých tahových sil (ukázaný v předcházející statí 5.11 a 5.13 na obr. 22-34) před vstupem nitě do jehel (pletacího pole) upravit na stejný, přibližně konstantní průběh tahové síly.

Dobrý podavač tento úkol zajišťuje perfektně, musí však vykazovat nejméně následující dvě vlastnosti:

1. Musí zamezit prokluzu podávané nitě na povrchu podavače
2. Musí být jednoduše ..., nejraději bezstupňovitě, regulována jeho výstupní rychlosť.

Na následujícím obr. 35 je schematicky znázorněn průběh tahových sil v niti za podavačem P 5 dle následující statí 5.3, která pojednává o vlastnostech podavačů nitě.

Výsledná tahová síla před vstupem do jehel při použití podavačů nitě se také jako v případě, kdy podavačů použito



Obr. 35 Oblast průběhu středních hodnot tahových sil v niti při vedení nitě strojem "Meto" při zpracovávání bavlny 20x2 tex, při průměru cívky 90 mm, s použitím podavače P 5 (1 - 5 stupňů regulace)
(lze srovnat s průběhy tahových sil bez podavače na obr. 22)

nebylo, pohybuji v určitém rozmezí.

Rozdíl je v tom, že minimum a rozsah tahových sil při pletení bez podavače lze podstatně méně ovlivňovat než minimum a rozsah tahových sil při pletení s podavačem (zde lze, jak již bylo uvedeno dříve, nastavit jakoukoliv hodnotu tahové síly v niti, tedy i nulovou, v případě vhodného seřízení podávací rychlosti a spotřeby nitě).

Podrobnější rozbor tahových sil v niti za podavači různého konstrukčního řešení je uváděn v další statí 5.3, která se zabývá podrobněji různými typy jak stávajících tak i novými výzkumně a vývojově zpracovanými typy podavačů na katedře tkalcovství a pletarství.

5.3 PODAVAČE NITÍ NA VELKOPRŮMĚROVÝCH PLETACÍCH STROJÍCH

Obecně jsou tato zařízení určena k řízení vstupní tahové síly nitě před vstupem do pletacích mechanismů. Tato zařízení jsou již několik desítek let intenzivně využívána proto, že jejich zařazením do pletacího procesu se ovlivňuje do značné míry jak plynulost tohoto procesu, tak i kvalita výsledné pleteniny.

Ve statí 2.2 je uveden obecný rozbor podavačů z hlediska jejich funkce.

Následující odstavce této statě se zaměří spíše na pozitivní způsoby podávání, tedy trvalé podávání "konstantního" množství nitě, kterých se používá při výrobě hladkého pleteného zboží na velkoprůměrových pletacích strojích (negativní podavače nití pro pletací stroje odpovídají svými principy odvijecům útku pro tkací stroje - těchto se používá při výrobě žakářského zboží).

Zásobníkové podavače, jak bylo v krátkosti nastíněno ve statí 2.2 se mohou, bereme-li v úvahu negativní variantu, lišit následujícími způsoby:

- způsobem vytváření zásoby nitě,

- způsobem posuvu zásoby nitě, která je z jedné strany odebírána a z druhé doplňována,
- pohonem,
- řešením problému navádění nitě do podavače, a samozřejmě bychom našli i jiná méně podstatná hlediska (kontrolu nitě, možnost znečištění prachem a odletky, životnost apod.)

Způsoby vytváření zásoby nitě

Nejběžnější je vytváření zásoby nitě navinutím nitě na těleso válcového tvaru. Přitom to nemusí být rotační válec. Zatím vyráběné podavače využívají těchto tvarů:

- a) rotační válec,
- b) ktec s dostatečně velikým počtem prvků
- c) galletové podávání, u kterého dva nebo více válců různě uložených rotuje kolem svých os a podávají nit.

Je ovšem možné ukládat nit do zásoby i jinými způsoby nežli jejím navinutím, problematická zde zůstává dokonalá kontrola nitě v zásobě. Nit může být volně vkládána do zásobní komůrky, může ležet v jednoduché smyčce napínané např. pneumaticky apod. U uvedených způsobů bychom snadno našli řadu nevýhod, jako je problém smyčkovitosti na nenapnuté niti ap. Podstatným problémem by zde bylo zajištění pozitivního podávání nitě.

Způsoby posuvu zásoby nitě

Uvedená problematika se týká zásoby, vytvořené navinutím nitě na válcovou nebo jinou plochu, která se v průběhu doplňování a současného odebírání nitě ze zásoby posouvá po této válcové nebo jiné ploše ve směru osy na stranu odváděné nitě. Při posuvu zásoby mohou být jednotlivé oviny:

- a) v těsném kontaktu, což usnadňuje realizaci posuvu zásoby, zhoršuje to ale kvalitu podávání nitě. Zásobu je možné posouvat různými mechanizmy tlakem na poslední oviny (např. pomocí šikmého prstence a podobně), při odvíjení nitě ale vznikají v tahové síle v niti nekontrolovatelné změny způsobené soudržností jednotlivých vrstev.

b) v předem daných vzdálenostech, kdy oviny nejsou v kontaktu a odvíjení nitě je kvalitnější. Větší nároky jsou ovšem kladený na realizaci posuvu zásoby, která musí být tentokrát prováděna na všech ovinech.

K provádění tohoto posuvu existuje řada technických řešení, které nebudou podrobně probírány proto, že jsou případ od případu různé. V našich pracech jsme se zaměřili na tři principy posuvu, které budou rozebírány dále, avšak zkoušky proběhly se čtyřmi typy posuvu zásoby.

Pokud se týká již vyše uvedeného náhonu podavačů, je tento v případě pozitivní varianty zajišťován synchronizací s pletacím strojem s možností regulace rychlosti, přičemž je pro tahové síly v niti nejvýhodnější plynulá regulace rychlosti.

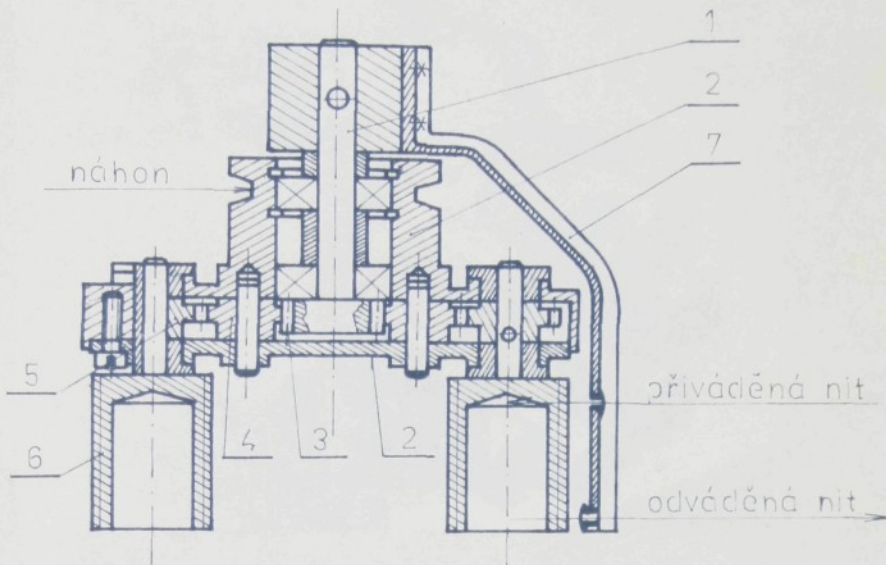
Pokud se zabýváme naváděním nitě do podavače, je třeba pouze konstatovat, že toto navádění je zpravidla jednodušší u negativních typů podavačů proto, že u pozitivních je zpravidla zásoba konstantní a má být na podavači vytvořena před spuštěním stroje (před zahájením pletení).

Na KTP jsme vytvořili několik typů podavačů nitě, které budou následně popsány a v další statí podrobeny zkouškám ve srovnání s jinými podavači tak, aby bylo dosaženo pokud možno objektivních výsledků a objektivních pohledů na zkoumanou problematiku.

Podavače vyvinuté na KTP jsme označovali VŠST-A, B, C, D1, D2, přičemž zkoušky byly provedeny jen u některých z nich.

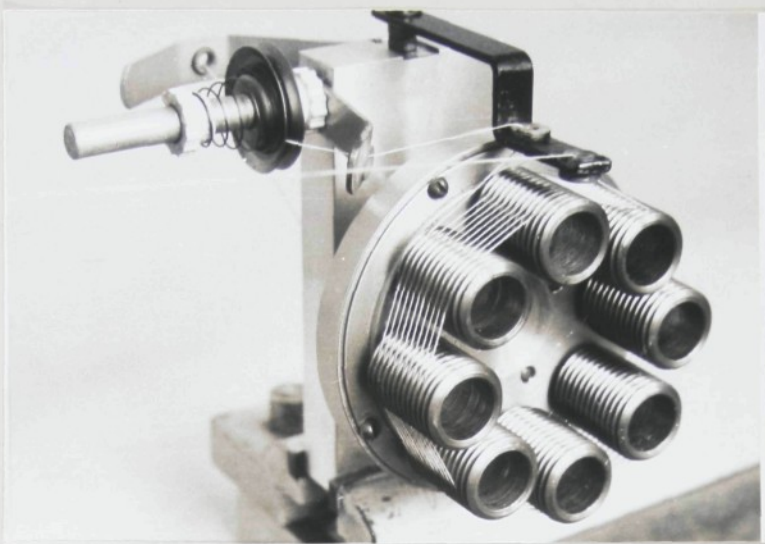
5.31 Podavač VŠST-A (s válečky se šroubovou drážkou malého průměru)

U tohoto typu podavače stejně jako u typů uvedených dále rotuje celá zásoba nitě uložená na bubínku. Axiální posun zásoby je zajišťován šroubovou drážkou na všech osmi válečcích, ze kterých je sestaven bubínek, viz výkres na obr. 36 a fotografie na obr. 37.



Obr. 38 Sestava podavače VŠST-A: 1 - pevná hrídel, 2 - těleso podavače, 3 - pastorek, 4 - mezikolo, 5 - ozubené kolo, 6 - váleček se šroubovou drážkou, 7 - držák s vodiči

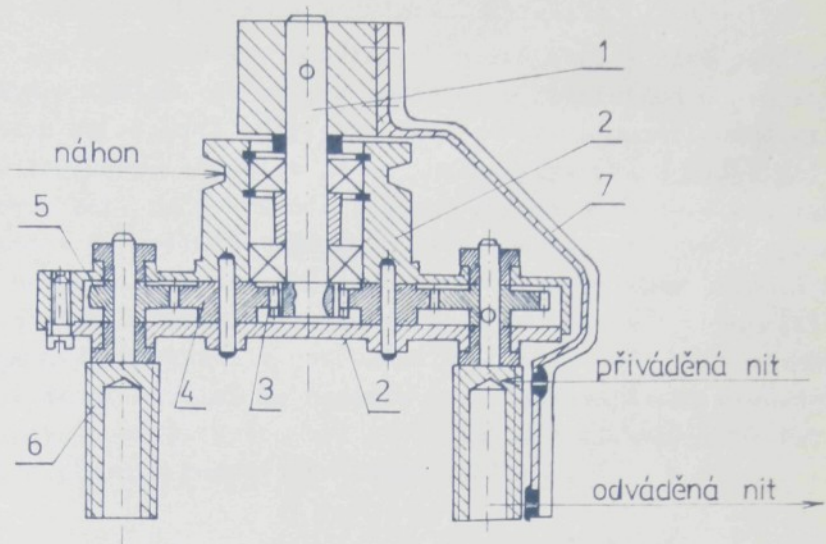
Při rotaci bubínku na dvojici kuličkových ložisek kolem nerotující osy je zajištováno otáčení válečků s dvouchodou šroubovou drážkou pomocí planetového soukoli. Válečky se na obvodu bubínku otáčejí proti směru rotace celého bubínku. Fotografie na obr. 37 ukazuje vzorek podavače vyrobeny na KTP VŠST. Funkčně byl podavač zkoušen zatím na zkusební stolici a na interlokovém stroji METO. Pracoval spolehlivě, jednotlivé oviny byly kladeny presně v pravidelném poradí do šroubových drážek a byla zajištována i pozitivnost funkce. Podrobnější vyhodnocení funkce podavače je provedeno dále.



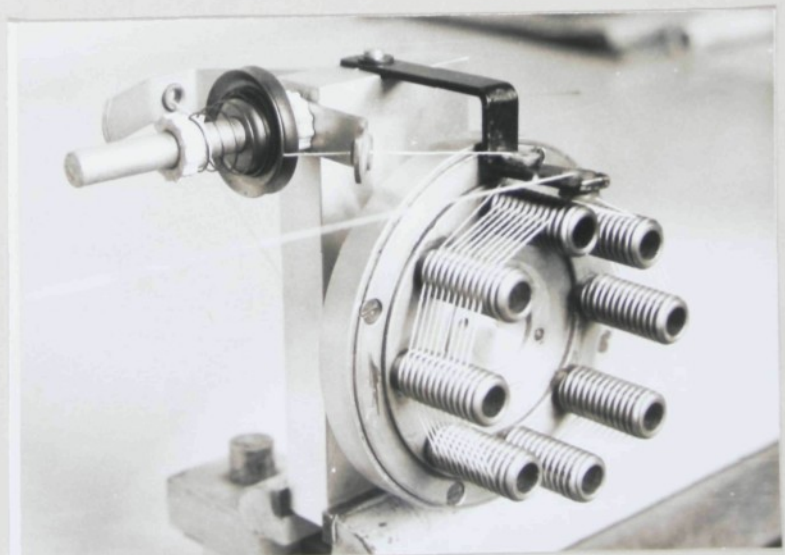
Obr. 39 Fotografie podavače VSST-A

5.32 Podavač VSST-B (s válečky se šroubovou drážkou velkého průměru)

Tento podavač se od předešlého liší velice málo. Kromě většího průměru osmi válečků je zde použita jednochoda šroubová drážka, viz obr. 38 a 39.



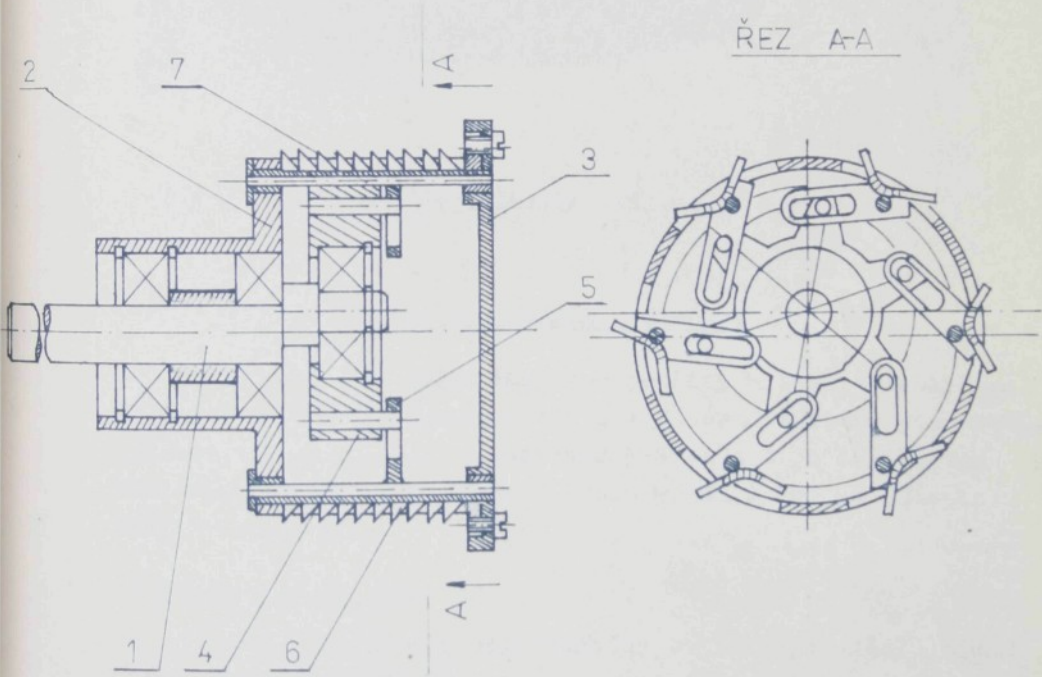
Obr. 36 Sestava podavače VJST-B: 1-pevná hřídel, 2-těleso podavače, 3-pastorek, 4-mezikolo, 5-ozubené kolo, 6-váleček se šroubovou drážkou, 7-držák s vodiči



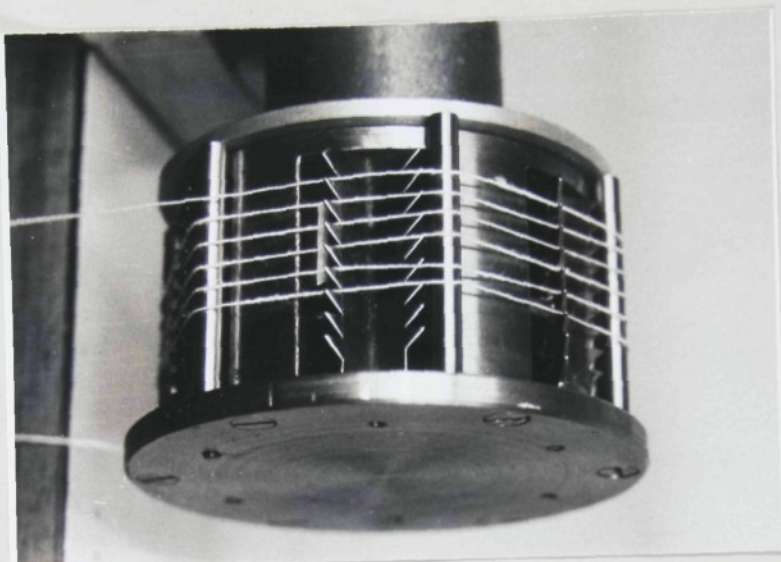
Obr. 37 Fotografie podavače VJST-B

5.33 Podavač VSST-C (s ozubeným posouváním)

Zde je pro posuv oddělených ovinů zásoby nitě použito nového principu. Po obvodu bubínku je rozmístěno 6 dvojitéch hřebenů se šikmými zuby, obr. 40. Pomocí excentrického umístění ložiska a hvězdice je zajištěn výkyv pák s dvojitymi hřebeny tak, že po obvodu búbínku střídavě některé hřebeny zapadají do vnitřku búbínku a jiné se vysouvají ven z povrchu búbínku. Vysouvající se hřebeny šikmými zuby posouvají zásobu nitě. Fotografie podavače je na obr. 41, ovšem již po menších úpravách v porovnání s obr. 40. Při experimentech na zkušební stolici se ukázala menší spolehlivost uvedeného principu a další vývoj byl proto zatím zastaven. Problémy byly s přesným posouváním zásoby nitě.



Obr. 40 Sestava podavače VSST-C: 1-pevná hřídel, 2-těleso podavače, 3-víko tělesa, 4-hvězdice, 5-čepy, 6-páka s ozubením, 7-hřídel pák



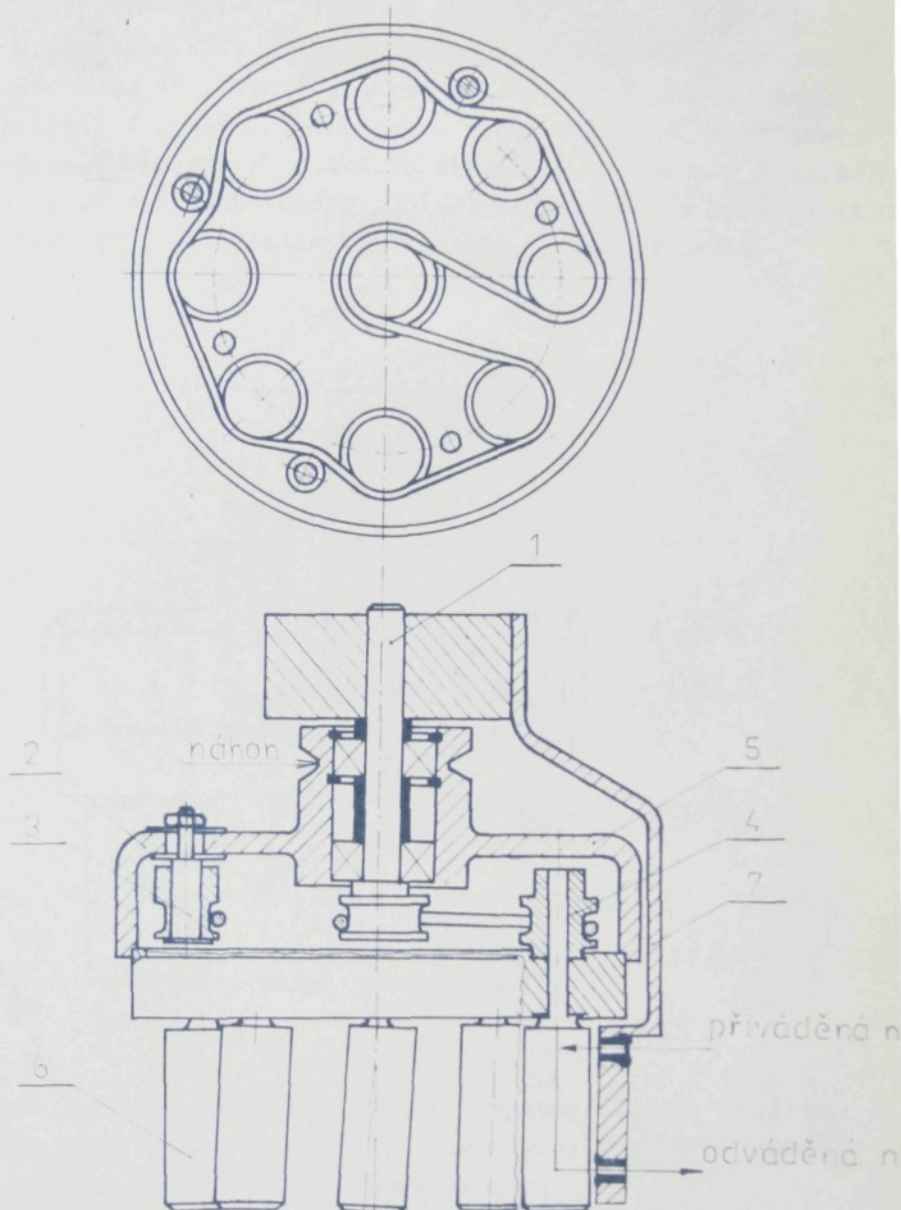
Obr. 41 Fotografie podavače VŠST-C

5.34 Podavač VŠST-D (s hladkými válečky)

U tohoto typu podavače jsou použity hladké válečky bez šroubovové drážky a posuv zásoby při otačení válečků planetovým způsobem podobně jako u podavačů VŠST-A a B je zajištován mimoběžným uložením válečků. Pohon válečků byl zajištován dvojím způsobem:

1. Pohon páskový, obr. 42

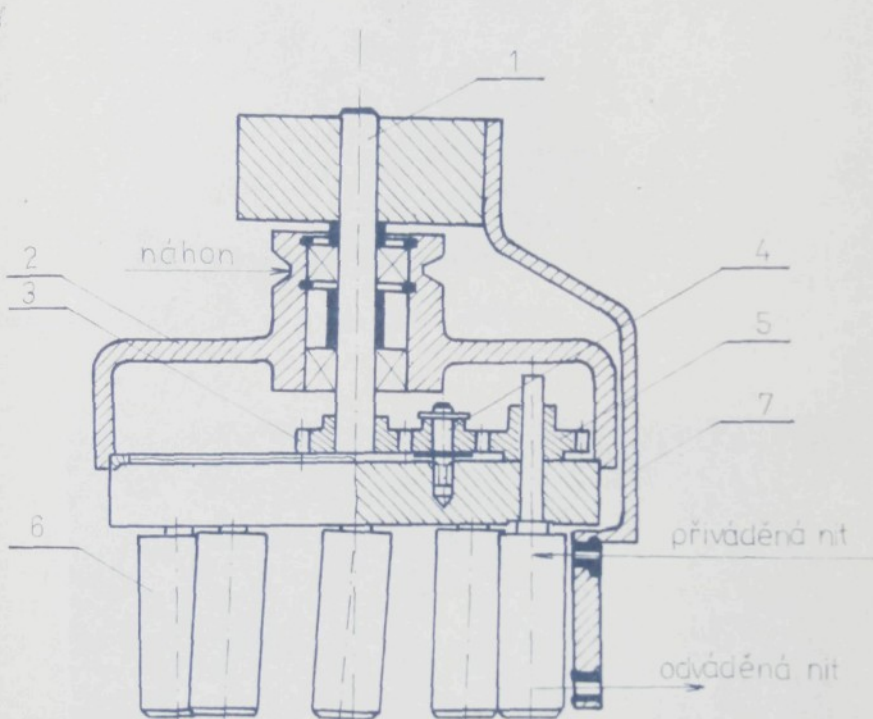
U tohoto podavače byly válečky bubínku poháněny jedním páskem pomocí kladky uložené na centrální ose. I v tomto případě se tato osa neotáčí a bubínek rotuje na obvodových kroužcích ložisek. Při ověřování se ukázalo, že při kluzném uložení válečků není pásek ani řemínek schopen zajistit spolehlivé planetové otáčení válečků a byla proto provedena rekonstrukce podavače.



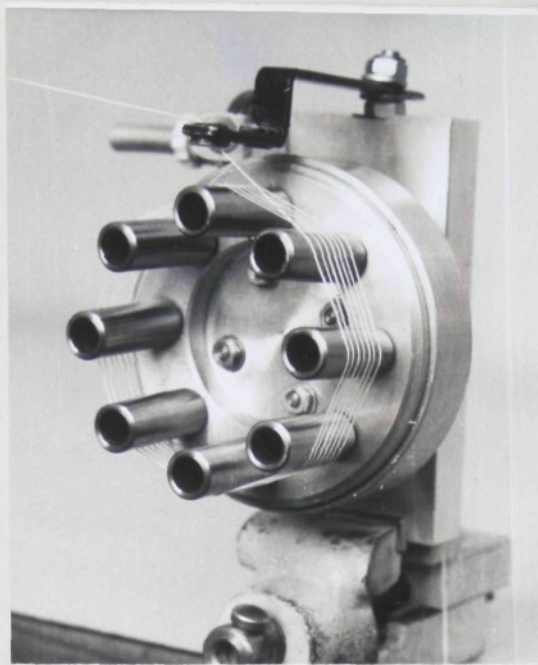
Obr. 42 Sestava podavače VŠST-Dl: 1-pevná hřídel, 2-těleso podavače, 3-napínací kladka, 4-řemeníčka, 5-řemínek, 6-váleček, 7-držák s vodiči

2. Pohon ozubenými koly, obr. 43

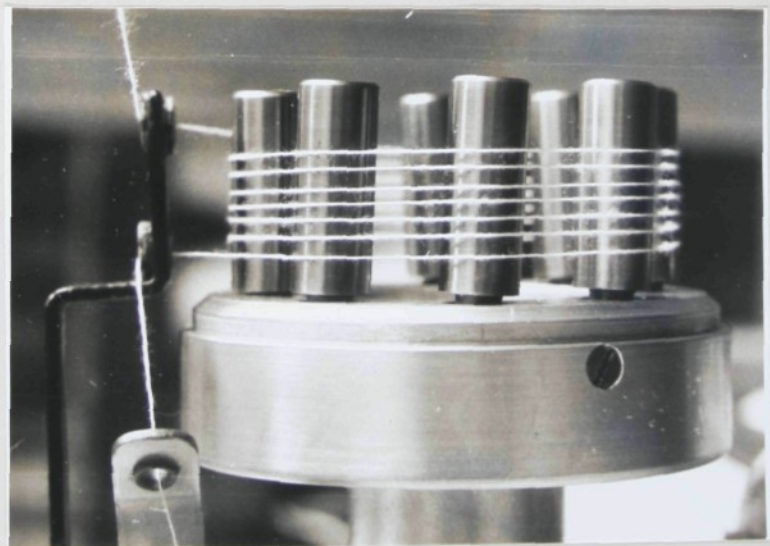
U podavače VŠST D2 byl použit pohon válečků ozubenými koly převodem 1:1. Tento podavač pracoval již při zkouškách spolehlivě. V tomto případě pokračovalo ověřování vlastnosti podavače měřením na pletacím stroji a je obsaženo v další statí. Fotografie celkového pohledu na podavač je na obr. 44 a na obr. 45 je v detailu vidět šikmě uložení válečků.



Obr. 43 Sestava podavače VŠST-D2: 1-pevná hrídel, 2-těleso podavače, 3-pastorek, 4-mezikolo, 5-ozubené kolo, 6-váleček, 7-držák s vodiči



Obr. 44 Fotografie podavače VSST-D2



Obr. 45 Fotografie detailu podavače VSST-D2

Závěrem této statí lze konstatovat následující:

- Vyvinuté pozitivní podavače nití (podavače VŠST-A - D) nejsou adekvátní současným podavačům, které jsme měli k dispozici, jak z hlediska vynaložených výrobních nákladů, tak z hlediska jejich výsledků na pletacím stroji (bude uvedeno ve statí 5.4 Zkoušky a výsledky zkoušek podavačů nití)
- Podavač VŠST-C, i když by byl patrně výrobně nejjednodušší a tedy i nejekonomičtější při dalším využívání, se nepodařilo uvést do spolehlivé činnosti a čeká na další zdokonalování eventuelně i podstatné změny jeho principu
- Z dalších tří typů provozu schopných podavačů nití vyvinutých na KTP se jeví jako nejjednodušší typ VŠST-D2 (D1 se rovněž neosvědčil - nepřesný náhon válečku). Až po odzkoušení všech typů a provedení srovnávacích zkoušek s dalšími principy podávání lze posoudit jeho kvalitu.

5.4 ZKOUŠKY PODAVAČŮ NITÍ A JEJICH VYHODNOCENÍ

Jak již bylo ve statí 5.2 uvedeno, mohou podavače nití zajistit podstatně menší tahové síly v niti a i menší rozptyly v tahových silách v podávané niti do jehel pletacího stroje.

Tato statě obsahuje srovnávací zkoušky několika typů podavačů a vyhodnocení těchto zkoušek z hlediska průběhu tahových sil v niti před podavačem a za podavačem a dále potom vyhodnocení průběhu tahových sil v niti z hlediska změny rychlosti podávání nitě.

Měření tahových sil v niti se uskutečnilo za stejných podmínek jako měření ve statí 5.1 a 5.2. Byla použita opět měřící souprava Rotschild, doplněná zapisovačem Helcoscriptor.

Měření bylo provedeno pro následující typy pozitivních podavačů:

P1 - páskový podavač ze stroje Meto

P2 - zásobníkový podavač "Z" - DTH 7646, Zbrojovka, Vsetín

P3 - " " VSST (dle statí 5.3 označován A)

P4 - " " VSST (" " " " B)

P5 - " " VSST (" " " " D2)

Při měření všech typů podavačů byla nit vedena z křízové cívky o průměru $d_c = 140$ mm, přes vstupní vodicí očko, hlídaci zařízení a talířovou brzdičku přímo k podavači.

Grafický záznam průběhu tahových sil v niti a jeho vyhodnocování byl získán stejnou metodikou jako u předcházejících měření ve statí 5.1 a 5.2. Grafické záznamy tvoří přílohu této práce a jsou označeny:

č. 5 měření tahových sil v niti za jednotlivými typy podavačů

č. 6 měření tahových sil v niti za podavačem P5 při změně rychlosti podávání nitě

Měření byla provedena opět pro vybrané tři materiály:
ba 20x2 tex, PES/Tesil 20x2 tex, Grisuten/Tesil 20x2 tex.

5.41 Měření tahových sil v niti za jednotlivými typy podavačů

Výsledky měření všech výše uvedených typů podavačů jsou uvedeny v tabulce na obr. 46. Tato tabulka uvádí hodnoty maximálních, minimálních a středních tahových sil v niti za podavače.

Typ podavače	bavlna F [mN]			PES/Tesil F [mN]			Grisutent/Tesil F [mN]		
	F _{max}	F _{min}	F _{stř}	F _{max}	F _{min}	F _{stř}	F _{max}	F _{min}	F _{stř}
P 1	274,4	12,5	118,7	232,3	112	174,2	118,8	62,5	97
P 2	262,5	68,7	148,4	243,7	87,5	158	150	62,5	92,2
P 3	213	100	147	248,7	124,7	162	124,5	50	90,5
P 4	162,7	68,7	109,2	175	75	126,2	183,3	37,5	59,7
P 5	150	56,2	91	162,5	68,7	106,7	69,3	18,7	46,2

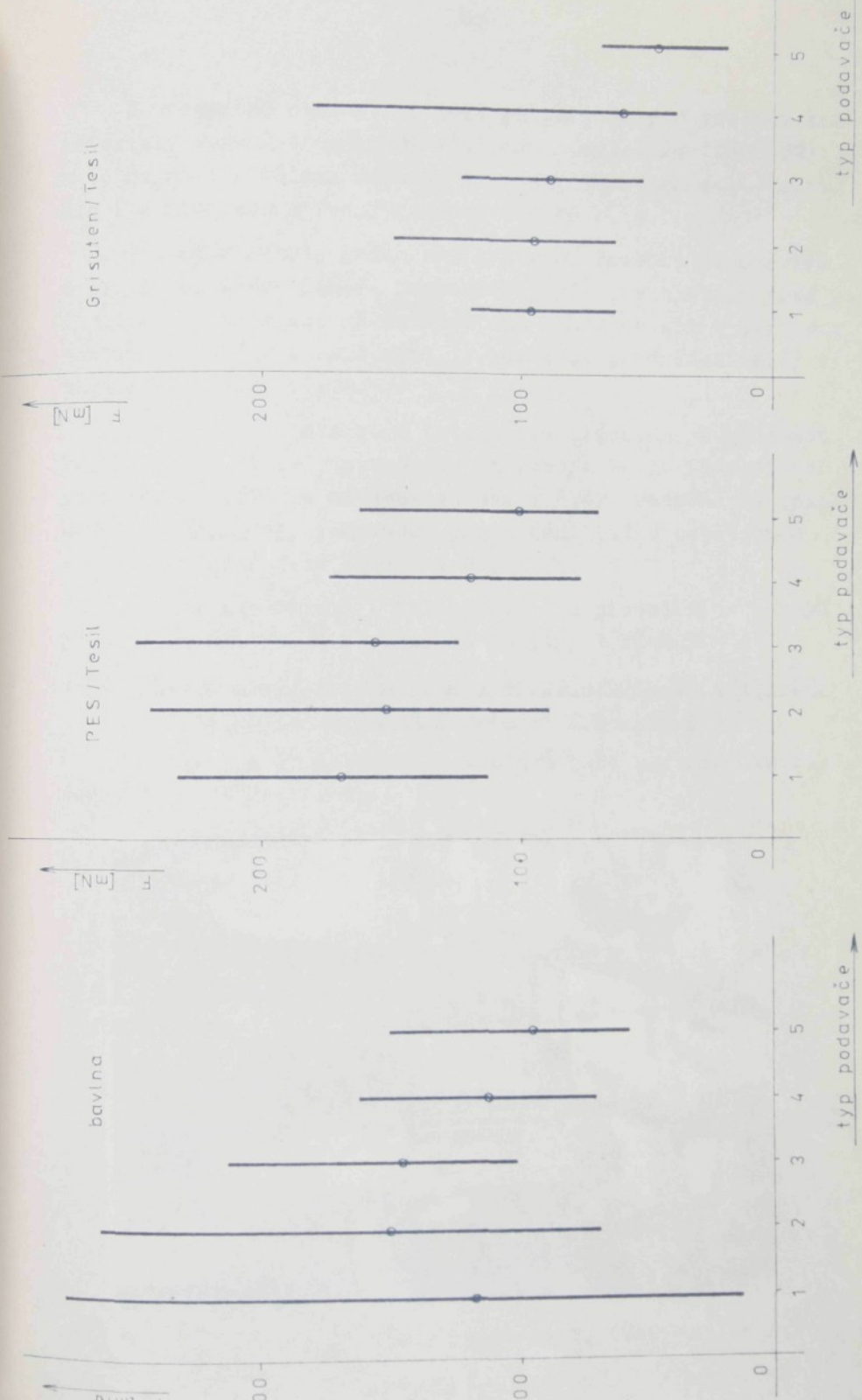
Obr. 46 Tabulka maximálních, minimálních a středních hodnot tahových sil v niti měřených za podavači P1 - P5

Na následujícím obr. 47 je potom schematicky znázorněn průběh těchto tahových sil v niti pro jednotlivé typy podavačů z hlediska použitého materiálu. Střední hodnoty jsou v grafech označeny kroužkem.

Při hodnocení výsledků a srovnávání funkce jednotlivých podavačů je nutno brát na zřetel, že dosažené výsledky a k nim zaujatá stanoviska byly získány z laboratorních provozních podmínek stroje, které se mohou od skutečných lišit, avšak které nemají vliv na zásadní závěry k řešenému problému.

Zhodnocení jednotlivých podavačů

Na základě výše uvedené tabulky a grafů můžeme konstatovat, že rozdíly v tahových silách jsou za daných laboratorních podmínek zřetelné zejména u bavlny, kde např. u páskového podavače rozsah kolísání tahových sil v průběhu pletení je téměř 2,5 násobný než u podavače P 5 (VŠST-D2).



Z uvedeného obr. 47 je dále patrné, že pro všechny tři materiály vykazuje nejlepší výsledky podavač P5 (VŠST-D2), a to nejen z hlediska rozsahu kolísání tahových sil v niti, ale i z hlediska střední hodnoty tahové síly.

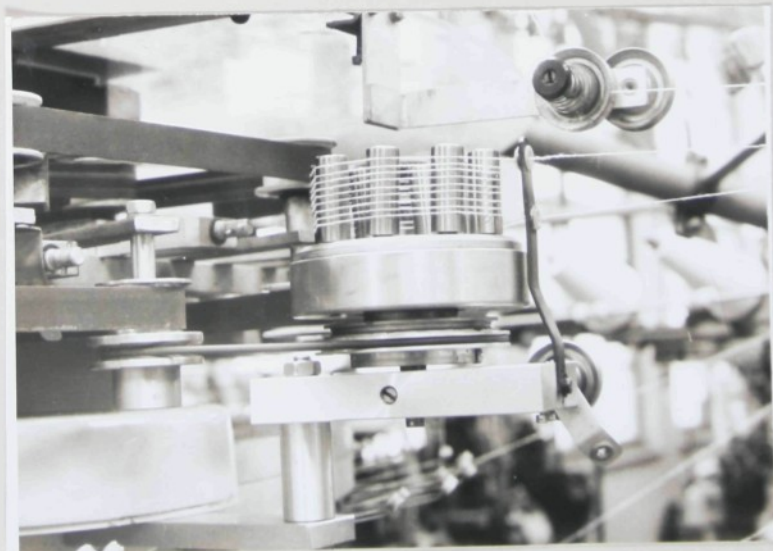
Podavače nebyly hodnoceny z důvodu rozsahu této práce z jiných hledisek (např. propouštění rázů, vzniklých před podavačem, za podavač; měření průběhu tahových sil v niti při rozběhu a doběhu stroje apod.), což bude předmětem další výzkumné činnosti na KTP.

Příloha č. 4 obsahuje fotografie sledovaných podavačů P2, P3 (A) a P4 (B) upevněných na stroji Meto. Fotografie podavače P5 (D2) je uvedena ve statci 5.42. Podavač P1 (páskový) je běžný typ podavače, proto není blíže osvětlován (je uveden mimo jiné ve statci 2.2).

Na základě měření (příloha č. 5) a provedených závěrů je dále rozebíráno pouze podavač P5 (typ VŠST-D2).

**5.42 Měření tahových sil v niti za podavačem P5 (VŠST-D2)
v závislosti na změně rychlosti podávání nitě**

Na obr. 48 je fotografie znázorňující upevnění tohoto podavače na stroji Meto.



Obr. 48 Fotografie upevnění podavače P5 (VŠST-D2)na stroji M

K zajištění chodu podavače P5 (VŠST D2) stejně jako podavačů P2, P3 (VŠST-A) a P4 (VŠST-B) bylo využito stávajícího zařízení na stroji Meto. To znamená, že podavače byly po háněny jednoduše řemínkem, vedeným přes hnací kladku páskového podavače. Tím byla i zajištěna možnost regulace rychlosti podávání nitě.

Za podavačem P5 byla následně prováděna tato měření:

v [m.s ⁻¹]	bavlna F [mN]			PES/Tesil F [mN]			Grisuten/ /Texil F [mN]		
	F _{max}	F _{min}	F _{stř}	F _{max}	F _{min}	F _{stř}	F _{max}	F _{min}	F _{stř}
1,66				5,8	0,5	0,8	12,4	0	3,2
1,59	12,0	0	4,1	18,8	6,2	12,5	17,4	0	7,1
1,54	67,5	12,5	38,5	56,2	13,2	43,3	47,5	12,3	31,5
1,47	174,7	73,7	100,3	187,5	62,5	125,5	87,5	25,3	57,2
1,39	362,5	156,2	262,5	343,8	143,8	247,5	155,5	60,7	125,2
1,33	533,7	262,5	466,0	538,8	250	452,0	312,5	194,8	256,3
1,27							436,5	255,5	363,5

Obr. 49 Tabulka naměřených maximálních, minimálních a středních hodnot tahových sil v niti za podavačem P5 (VŠST-D2) v závislosti na změně rychlosti podávání nitě

Jak je z tabulky zřejmé, mohl být celý rozsah rychlostí použit jen u materiálu Grisuten/Tesil. U materiálu bavlna a PES/Tesil docházelo při krajních rychlostech rozsahu $1,66 \text{ m.s}^{-1}$ a $1,27 \text{ m.s}^{-1}$ k poruchám popř. až k přeruhu.

Do následujících grafů byly zpracovány jednak střední hodnoty měření (A) a jednak maxima s minima (B) z předchozí tabulky na obr. 49.

A - Měření středních hodnot tahových sil v niti (různých materiálů) při různých, na stroji Meto dostupných, stupních podávací rychlosti ($1,27 - 1,66 \text{ m.s}^{-1}$).

Výsledky těchto měření zobrazuje graf na obr. 50. Z tohoto grafu je patrné, že u všech materiálů střední hodnoty tahové síly v niti klesají téměř rovnoměrně s narůstající odváděcí rychlostí nitě z podavače tak, že při určité hodnotě této rychlosti jsou téměř nulové.

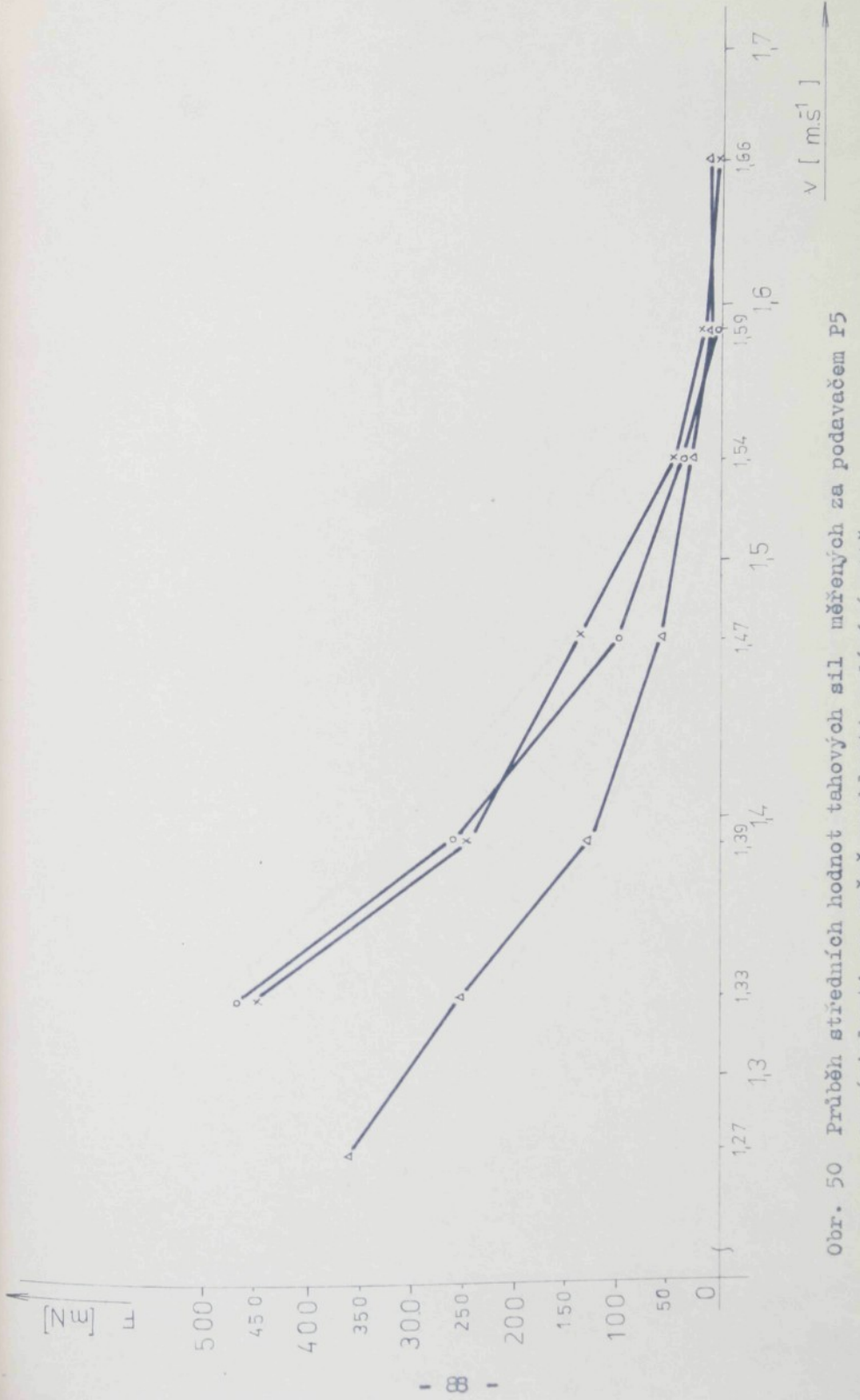
B - Zjištování maximálních a minimálních tahových sil v niti (různých materiálů) při různých, na stroji Meto dostupných, stupních podávací rychlosti ($1,27 - 1,66 \text{ m.s}^{-1}$).

Výsledky těchto měření zobrazují grafy na obr. 51, 52 a 53.

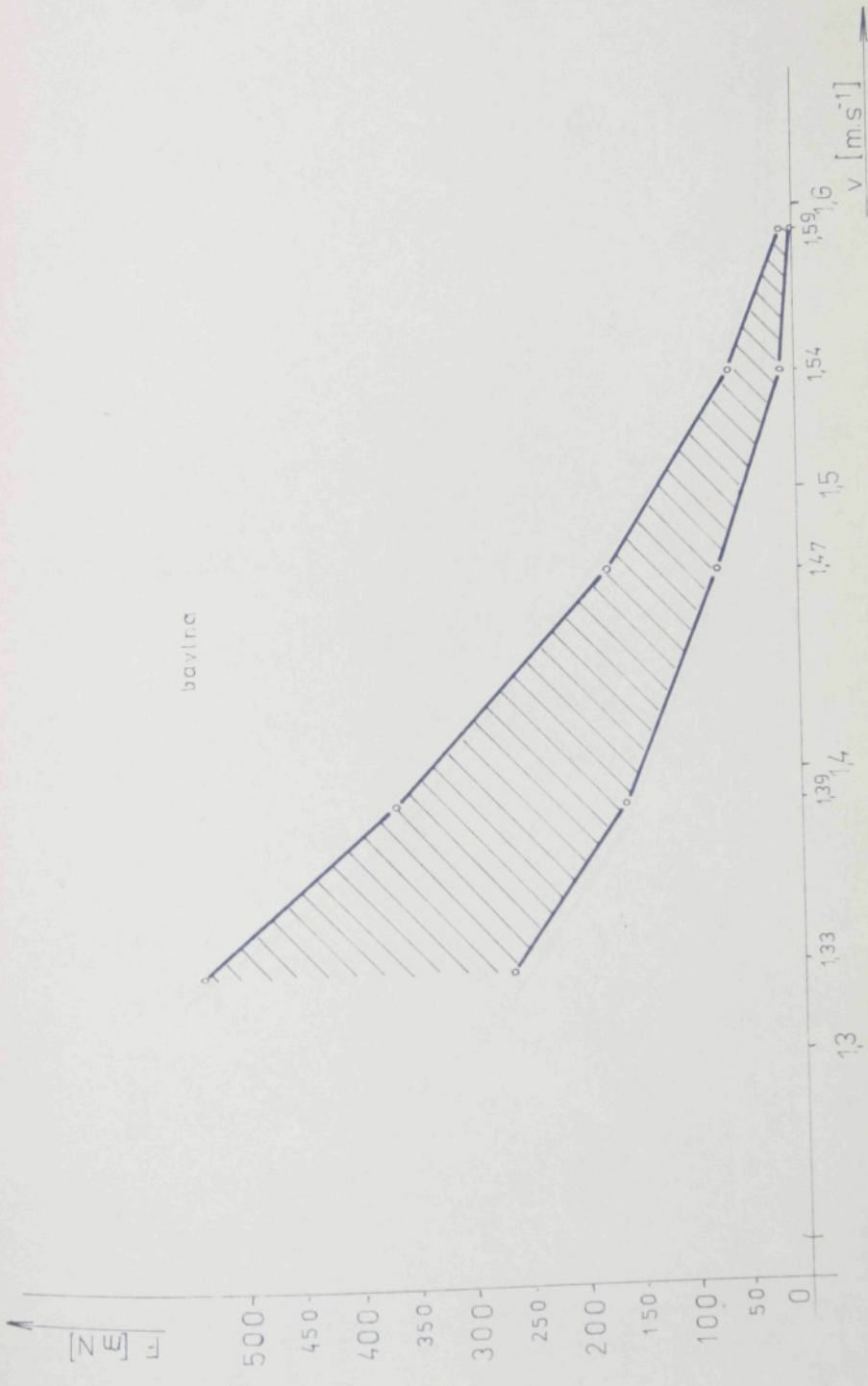
Z uvedených grafů je patrné:

- u materiálů mimo bavlny lze dosáhnout velmi nízkých hodnot tahových sil v niti, aniž by došlo k narušení plynulosti procesu
- při podávacích rychlostech menších než rychlosti dál vající střední hodnotu tahových sil blízko nule se rozptyl mezi maximy a minimy poměrně rovnoměrně zvětšuje s ubývajícími podávacími rychlostmi pro všechny typy materiálu
- rozptyl mezi maximy a minimy tahových sil je nejmenší u materiálu Grisuten/Tesil. U materiálu bavlna a PES/Tesil je rozptyl mezi maximy a minimy tahových sil přibližně stejný.

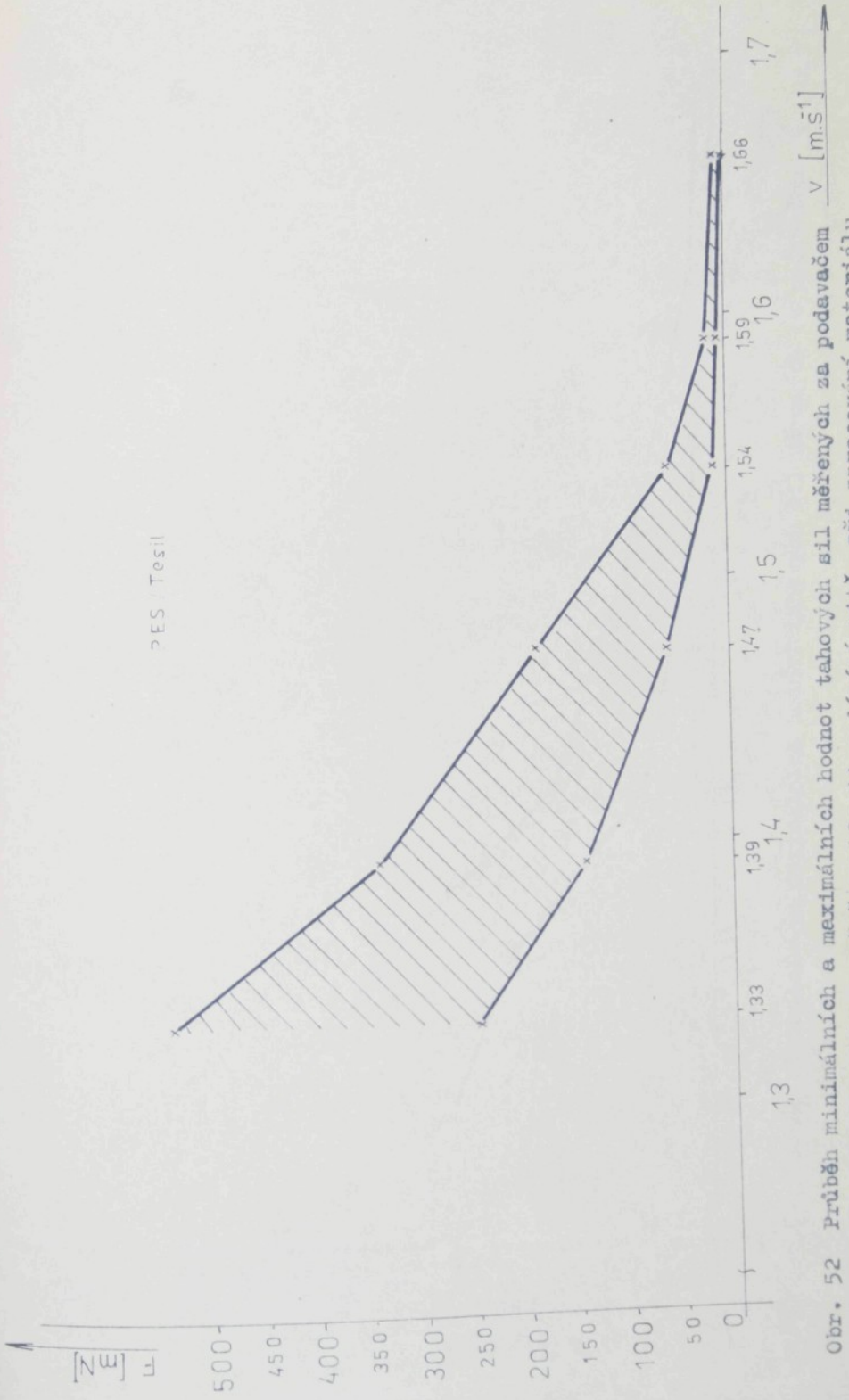
K výše uvedeným výsledkům lze konstatovat, že se podstatně snížily rozdíly v tahových silách (maxima a minima tahových sil) ve srovnání s výsledky ve statí 5.1, kde nebylo použito podavače nitě. Zmenší se tedy i nebezpečí přetrhovosti nitě, zvyší se produkce a i produktivita práce obsluhující pletářky.



Obr. 50 Průběh středních hodnot tahových sil měřených za podavačem P5



Obr. 51 Průběh minimálních a maximálních hodnot tahových sil měřených na modelovaném PS v závislosti na změně rychlosti podávání nitě, při zpracovávání bavlny



ΔE

500

450

400

350

300

250

200

150

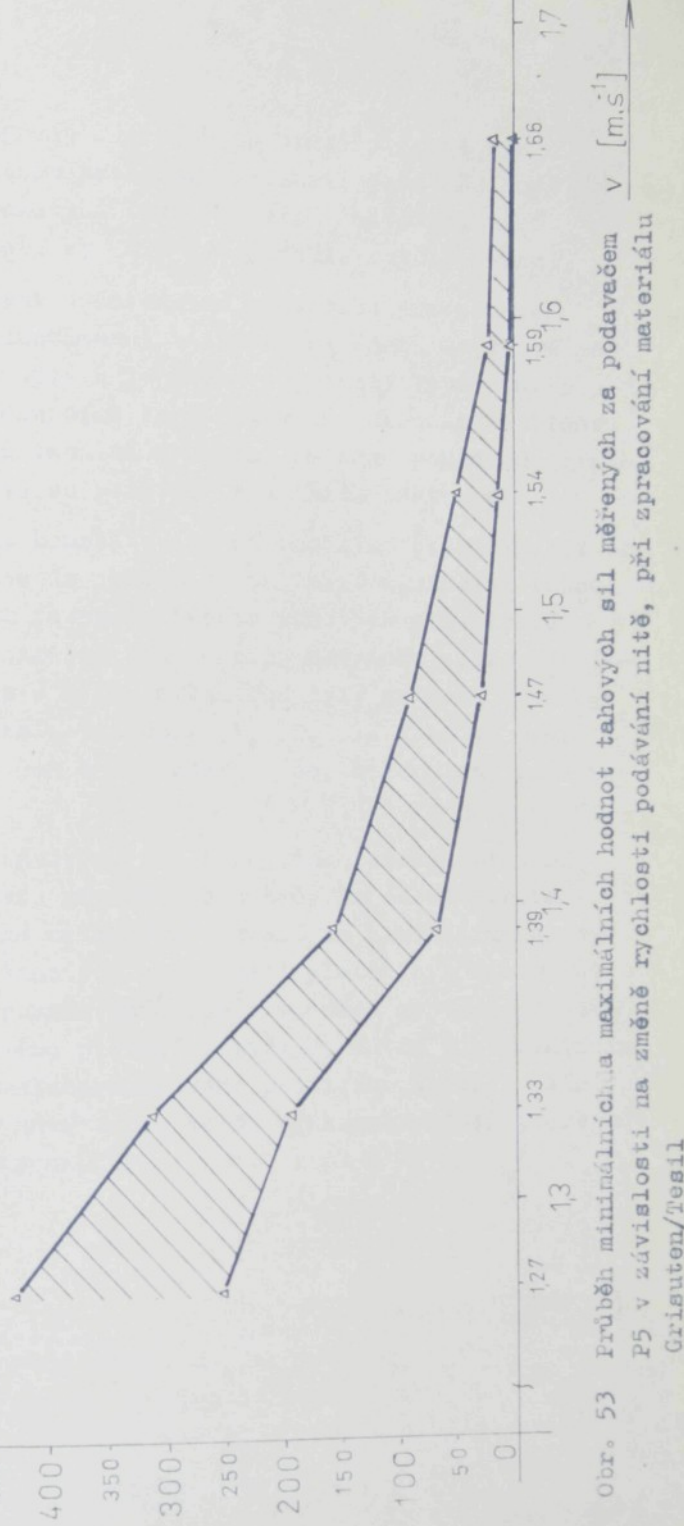
100

50

0

Grisutentícos

- 91 -



Obr. 53 Průběh minimálních a maximálních hodnot tahových sil měřených za podáváním F5 v závislosti na změně rychlosti podávání nitě, při zpracování materiálu Grisutentícos

Jak již vyplynulo částečně ze statí 5.2, ve které byly v podstatě jenom naznačeny možnosti podavačů, má největší vliv na snížení tahových sil v niti podávací rychlosť nití, která by měla být plynule regulovatelná.

Otažka zarazení podavače do pletacího procesu je tedy technicky jednoznačná. Vzhledem k zásadnímu vlivu podavačů na kvalitu úpletů je třeba doporučit vybavovat pletací stroje dokonalejšími typy podavačů. Ekonomická oblast je však dosud diskutabilní a závisí na ceně podavačů, rychlosti navedení nitě do podavače a dalších faktorech.

Je tedy možno konstatovat, že vhodnými podmínkami v oblasti podávání nitě do jehel lze zajistit minimální tahové sily s minimálními rozptyly těchto tahových sil. Pokud pletenina tyto minimální tahové sily nevyžaduje, lze zajistit optimální tahové sily, avšak rozptyly zejména v maximech budou již větší, viz obr. 51, 52, 53. V tomto bude hrát velkou roli, jak bylo řečeno výše, dokonalost podávacího zařízení.

Při snížení tahových sil a zejména jejich kolísání během celého procesu pletení je možné, že nebude třeba zařazovat dodatečné zatahování, které má hlavní funkci vyrovnávat rozdíly tahových sil v niti pleteniny. Tím by se dosáhlo možnosti rozmístění více pletacích systémů po obvodu velkopružového pletacího stroje, a tím odpovídajícího zvýšení produkce velkopružového pletacího stroje. Tato otázka je dána do návrhu pro další výzkumné práce, které by mohly být prováděny na KTP.

5.5 ŘEŠENÍ PRŮBĚHU TAHOVÝCH SIL V NITI

Prvním, velmi významným krokem k dosažení stejnoměrnosti úpletu bylo zavedení pozitivního podávání na okrouhlych pletacích strojích. Toto podávání by mělo zajistit konstantní dodávkou nitě rovnoměrnost úpletu v jednotlivých rádcích.

V předcházejících statích 5.1 a 5.2 bylo na praktických zkouškách dokázáno, že zvýšení tahových sil v niti třením o vodiči elementy je několikanásobné. Je zřejmé, že k dalšímu zvýšení tahových sil dojde třením nitě ve vodiči a o jehly při zatahování oček, tedy v místech, kde je uskutečnění měření těchto sil velmi obtížné.

Při zjišťování tahových sil v niti v oblasti zatahování se bude pravděpodobně muset vycházet z následujících předpokladů a úvah (jedná se o prvé přiblížení této problematiky):

- Problematika se jeví značně složitá a těžko exaktně řešitelná. Světová literatura se ji zabývá zatím sporadicky, ukazuje pouze matematický přístup bez podrobných mechanických rozborů a praktických zkoušek, které by měly potvrdit teoretické úvahy.
- Nedostatečné a nejasné představy, těžký přístup k měření tahových sil v niti v jednotlivých místech tvorby očka, tedy zámků (t.j. oblast zatahování a zpětného pohybu jehel), a neexistence konstrukce modelového zařízení pro měření tahových sil odrazuje výzkumníky od důkladného a exaktního rozboru této oblasti.
- Řada vlivů existujících při zjišťování tahových sil v niti v třecích elementech nebo za třecími elementy textilních strojů je zde znásobena vlivy a podmínkami v poli tvorby očka. Komplexní sledování faktorů působících na tahové sily v niti při zatahování a jejich zahrnutí do teoretického rozboru by vyžadovalo rozsáhlý výzkum. Podrobněji budou zjednodušující podmínky probrány v dalších odstavcích této stati.

- Řada zjednodušujících předpokladů, které bude třeba zavést do výpočtu, bude na závadu přesnosti teoretických výpočtů a rozboru zadání problematiky. Můžeme tedy předpokládat, že skutečné hodnoty tahové síly v niti se budou odchylovat od hodnot vypočítaných.

5.51 Teoretický výpočet průběhu tahových sil v niti v oblasti tvorby očka

Jedna z možných teoretických představ výpočtu tahových sil v niti, která je následně uvedena, uvažuje s řadou obecných zjednodušení, ale i specifických pro tuto stáť.

V prvé řadě vycházejme z následujícího zjednodušeného schematu průběhu nitě v oblasti lineárních zámků při tvorbě očka na obr. 54.

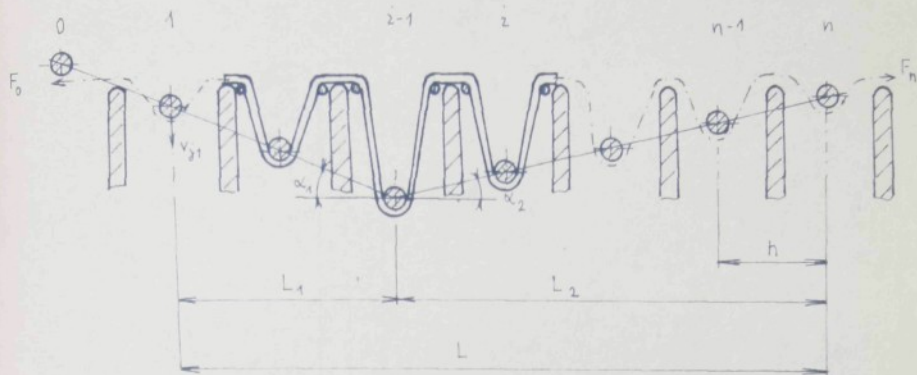
Pro první přiblížení problematiky je voleno jednoduché schema pohyby jehel, kde tři jehly jsou v pásmu zatahování (označeném nadále L_1), čtyři jehly v pásmu odlehčování (označeném nadále L_2), za což považujeme zpětný pohyb jehel proti zatahování.

Úhly polohy jehel (úhly zatahování a odlehčování) jsou pak označeny:

- α_1 - pro oblast zatahování
- α_2 - pro oblast odlehčování

Zjednodušení průběhu nitě při tvorbě očka, jak uvádí obr. 54, spočívá v tom, že provázání nové nitě starým očkem je zde znázorněno pouze řezem starým očkem s přibližně stejným opásáním. Ve skutečnosti, jak bude uvedeno dále, je toto opásání vlivem řady faktorů proměnlivé.

Ohybem nitě přes jehly, přes kovové části stroje a staré očko, je nit značně namáhána třením, jehož hodnota je v průběhu procesu tvorby očka proměnná. Pro plynulost procesu má velký význam zjištění maximální tahové síly. Její hodnota a zejména pak nalezení úseku nitě, kde tato maximální tahová



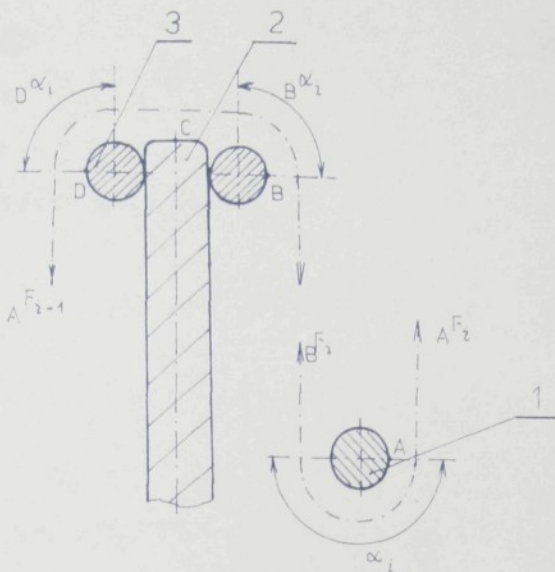
Obr. 54 Schema průběhu nitě v oblasti tvorby očka

síla vzniká, není jednoznačně závislá jen na hodnotách úhlu opásání a koeficientu tření.

Stanovení hodnot tahové síly v jednotlivých větvích nitě je dáné známými Eulerovými vztahy pro pásové tření. Vycházíme ze schematického znázornění průběhu nitě v oblasti i-te jehly na obr. 55.

Body A, B, D označují místa, za kterými dochází ke změně tahové síly v niti. Bod C označuje úsek, u kterého předpokládáme, že je přímkový. V následujících vypočtech byly použity tyto veličiny:

- α - úhel opásání nit-kov [rad]
- $\beta, \delta \alpha$ - úhel opásání nit-nit [rad]
- A^{μ} - koeficient tření nit-kov [1]
- B, D^{μ} - koeficient tření nit-nit [1]
- F - tahová síla v niti [N]
- v - relativní rychlosť nitě [$m \cdot s^{-1}$]



Obr. 55 Průběh tahových sil ve větvích nitě na i-té jehle,
kde 1-řez jehlou, 2-řez žebrem lůžka, 3-řez sta-
rym očkem

Při následujícím obecném výpočtu postupujeme od pravé
větve nitě na i-té jehle. Pro tento úsek nitě bude tedy pla-
tit vztah

$${}_A F_i = {}_B F_i \cdot e^{A \alpha_i {}_A u_i \operatorname{sgn}_A v_i} = {}_A \phi_i {}_B F_i , \quad (23)$$

kde

$${}_A \phi_i = e^{A \alpha_i {}_A u_i \operatorname{sgn}_A v_i} . \quad (24)$$

Následovně bude potom platit

$${}_B F_i = {}_C F_i \cdot e^{B \alpha_i {}_B u_i \operatorname{sgn}_B v_i} = {}_B \phi_i {}_C F_i , \quad (25)$$

kde

$${}_B\phi_i = e^{\sum_{j=1}^i {}_B\alpha_j \operatorname{sgn} {}_Bv_j} \quad (26)$$

Pro další větev nitě platí

$${}_C F_i = {}_A F_{i-1} \cdot e^{\sum_{j=1}^{i-1} {}_A\alpha_j \operatorname{sgn} {}_Av_j} = {}_D\phi_i \cdot {}_A F_{i-1}, \quad (27)$$

kde

$${}_D\phi_i = e^{\sum_{j=1}^i {}_D\alpha_j \operatorname{sgn} {}_Dv_j} \quad (28)$$

Po dosazení bude platit pro tahovou sílu v pravé větvi nitě na i-té jehle následující vztah

$${}_A F_i = {}_A\phi_i \cdot {}_B\phi_i \cdot {}_D\phi_i \cdot {}_A F_{i-1}, \quad (29)$$

přičemž

$$Q_i = {}_A\phi_i \cdot {}_B\phi_i \cdot {}_D\phi_i \quad (30)$$

je přenos od (i-1)-té jehly k i-té jehle.

Tahová síla v niti na i-té jehle v bodě A bude pak dle vztahu

$${}_A F_i = Q_i \cdot Q_{i-1} \cdot \dots \cdot Q_0 \cdot F_0 = P_i \cdot F_0 \quad (31)$$

kde F_0 - počáteční tahová síla v niti před vstupem do jehel potom

$$P_i = \prod_{j=1}^i Q_j = Q_i \cdot Q_{i-1} \cdot \dots \cdot Q_1 \cdot Q_0 \quad (32)$$

je přenos od 0-té jehly k i-té jehle. Pro n-tou jehlu platí vztah

$${}_A F_n = Q_n Q_{n-1} \dots Q_1 Q_0 F_0 = P_n F_0$$

kde

$$P_n = \prod_{j=n}^0 Q_j = Q_n Q_{n-1} \dots Q_1 Q_0$$

Je nutno dále uvažovat, že veličiny α i μ se v průběhu zatahování a odlehčování jehel mění.

Úhly opásání se mění např. vlivem nerovnoměrného rozložení odtahové síly po obvodu lůžka, vlivem možné nestejnoměrné tuhosti nitě v ohybu atd.

Musíme brát dále v úvahu, že koeficient tření nit-nit se bude podstatně měnit vlivem nestejnoměrnosti nitě, kvality a drsnosti povrchu nitě, dále pak vlivem rychlosti pohybu nitě, vlivem prostředí a pod. Některé tyto faktory platí i pro koeficient tření nit-kov.

Je zřejmé, že nemožnost exaktního určení jednotlivých úhlů opásání, koeficientu tření a v podstatě i síly odtahu v jednotlivých očkách pleteniny, způsobí odchylky mezi teoretickými a skutečnými hodnotami tahových sil v jednotlivých úsecích nitě. Určení úhlu opásání i koeficientu tření by vyžadovalo samostatný výzkum. Z tohoto důvodu, i přes znalost výše uvedených faktů, byly při výpočtech použity přibližné hodnoty, získané ze zjednodušených představ.

Předpokládejme, že úhly opásání a koeficienty tření v bodech B a D, tedy v případě styku nit-nit, budou stejné. Budeme je tedy nadále označovat indexem n , tedy α_n , μ_n . Úhly opásání a koeficienty tření v případě styku nit-kov budeme označovat α_k , μ_k . Nadále zatím platí, že hodnoty těch veličin nemusí být v jednotlivých místech tvorby očka stejné

Uvažujme nyní, že na tahové síly v niti při zatahování působí i odtahová síla v jednotlivých stěnách oček starého rádku, vyvozená celkovým odtahem pleteniny.

Odtahová síla byla pro potřebu zpřesnění předcházejících vztahů (23) - (34) odvozena z obrázku 56, ze kterého je zřejmé, že tato síla bude v posledním rádku pleteniny jiná, než v předcházejících. Pro vyjádření odtahové síly byly použity vztahy,

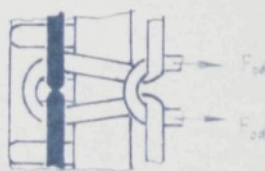
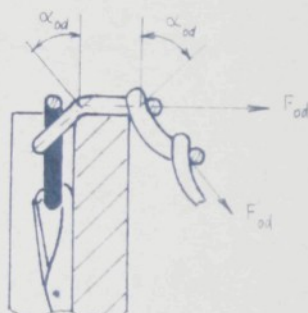
kde F_{od} -- výsledná síla odtahu na jednu stěnu očka [N]

F'_{od} - síla odtahu na jednu stěnu očka [N]

F_{odc} - celková síla odtahu pleteniny [N]

α_{od} - úhel opásání pleteniny přes odhozovou hranu lůžka [rad]

μ_{od} - koeficient trení pletenina-odhozová hrana [1]



Obr. 56 Schema pleteniny při odtahu

Síla odtahu na jednu stěnu očka bude pak dle vztahu

$$F'_{od} = \frac{F_{odc}}{2n}, \quad (35)$$

kde n je počet oček po obvodu lůžka. Dále pak platí pro výslednou sílu odtahu v jedné stěně očka vztah

$$F_{od} = F_{od}^1 \cdot e^{-\alpha_{od} \cdot \mu_{od}} \quad , \quad (36)$$

Pak dle obr. 55 budou platit např. pro první jehlu podle (23) a (25) následující obecné vztahy

$${}_A F_1 = {}_B F_1 e^{A\alpha_1 - A\mu_1 \operatorname{sgn} A\dot{v}_1} = {}_B F_1 \cdot {}_A \phi_1 \quad , \quad (37)$$

$${}_B F_1 = | {}_C \vec{F}_1 + \vec{F}_{od} | \cdot {}_A \phi_1 {}_B \phi_1 \quad , \quad (38)$$

kde pro první jehlu platí

$${}_C \vec{F}_1 = \vec{F}_o \quad , \quad (39)$$

pak

$${}_A F_1 = | \vec{F}_o + \vec{F}_{od} | \cdot {}_A \phi_1 {}_B \phi_1 \quad , \quad (40)$$

Analogicky budou pro i-tou jehlu platit vztahy

$${}_A F_i = {}_B F_i \cdot e^{n\alpha_i - n\mu_i \operatorname{sgn} n\dot{v}_i} = {}_B F_i {}_A \phi_i \quad , \quad (41)$$

$${}_B F_i = | {}_C \vec{F}_i + \vec{F}_{od} | \cdot {}_B \phi_i \quad , \quad (42)$$

$${}_C F_i = | {}_A \vec{F}_{i-1} + \vec{F}_{od} | \cdot {}_A \phi_i \quad , \quad (43)$$

Dosazením do (43) získáme obecný výpočet tahové síly na i-té jehle

$${}_A F_i = | | {}_A \vec{F}_{i-1} + \vec{F}_{od} | \cdot {}_A \phi_i + \vec{F}_{od} | \cdot {}_A \phi_i {}_B \phi_i \quad . \quad (44)$$

Analogicky bychom mohli postupovat až po získání celkové síly u n-té jehly.

Další možná cesta je počítat odděleně tahové síly v jednotlivých úsecích nitě postupně od první po n-tou (v našem případě sedmou) jehlu, za jednotlivými třecími místy.

Výpočet tahových sil dle předcházejících rovnic (37)-(44) lze patrně akceptovat, avšak tahová síla v oblasti za n-tou jehlou (dle obr. 54), tzn. jehlou, na které je vytvořeno nové očko a jehla se již nepohybuje, se pohybuje kolem nuly. Tomu nasvědčuje i využívání tzv. dodatečného zatahování, které více méně praktickými zkušenostmi řeší vyrovnávání tahových sil v zaplétané niti.

Bude tedy logičtější stanovovat dle předešlé úvahy tahové síly v niti v oblasti za n-tou jehlou a dále hledat někde ve středu zámků maximum této tahové síly výpočtem rovnic z obou stran (zleva i zprava).

Bude tedy pro n-tou jehlu tahová síla v niti rovna

$$c F_{n+1} = \left| {}_A \vec{F}_n + \vec{F}_{\text{od}} \right| \cdot e^{b \alpha_{n+1} - c \alpha_{n+1} \operatorname{sgn} b v_{n+1}}, \quad (45)$$

kde ${}_A \vec{F}_n \rightarrow 0$.

Dále pak platí

$${}_A F_n = {}_B F_n \cdot e^{a \alpha_n} {}_A \alpha_n \operatorname{sgn} a v_n, \quad (46)$$

$${}_B F_n = \left| {}_C \vec{F}_n + \vec{F}_{\text{od}} \right| \cdot e^{b \alpha_n - c \alpha_n \operatorname{sgn} b v_n}, \quad (47)$$

$$c F_n = \left| {}_A \vec{F}_{n-1} + \vec{F}_{\text{od}} \right| \cdot e^{b \alpha_n - c \alpha_n \operatorname{sgn} b v_n}, \quad (48)$$

Tím bychom obdrželi řadu rovnic, jejichž např. numerické řešení pro specificky hledaný případ by nečinilo zvláštní potíže. Otázkou zůstává účelnost této činnosti, zejména s ohledem na to, s jakou přesností nebo nepřesnosti získáme vstupní parametry do těchto rovnic. Toto je ukázáno v následující tabulee na obr. 57.

Veličina	Přesná	Odhadnutá	Změrená	Pozn.
F_{od}			+	
F_o			+	
e	+			
$\alpha_{K_1}^{od}$ α_n		+		viz 5.51
ζu_{od} $\zeta u_K, \zeta u_n$		+		viz 5.51

Obr. 57 Tabulka přesnosti sledovaných veličin

Jak vyplývá již z rovnice (23), je významným faktorem v procesu tvorby očka určení směru relativní rychlosti nitě. Pókusme se nyní provést v následující statí teoretický rozbor relativních rychlostí nitě v procesu tvorby očka, popř. nalézt jejich souvislost s tahovými silami v niti.

5.52 Teoretické stanovení relativních rychlostí v oblasti tvorby očka

Pro následující teoretické řešení bude platit předpoklad dokonale ohebné nitě, jejíž podélná deformace je zanedbatelná. Vycházet budeme z rovinné soustavy na obr. 58 v souřadnicích x a y, kde

x - vzdálenost i-té jehly, $i = 0, 1, \dots, n$ [m]

y_0 - obvodová rychlosť stroje [$m \cdot s^{-1}$]

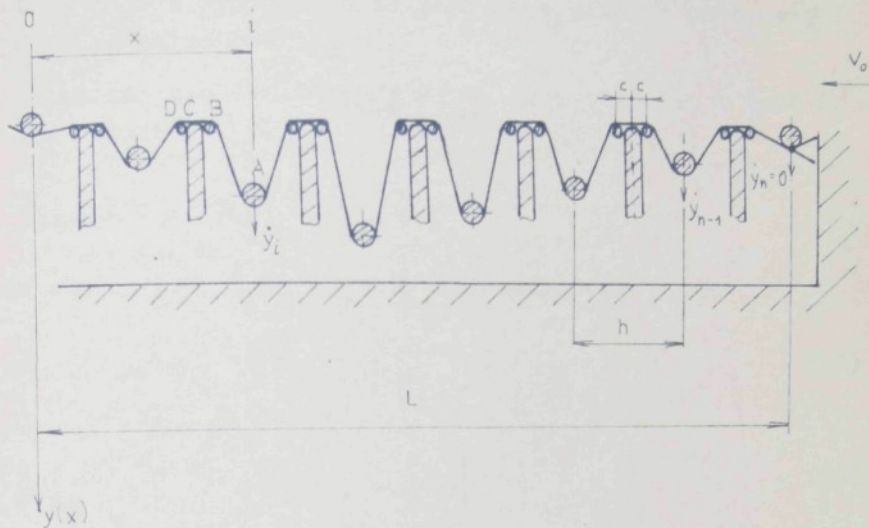
L_1 - pásmo zatahování [m]

L_2 - pásmo odlehčování [m]

h - rozteč jehel [m]

t - čas [s]

c - vzdálenost mezi osou průřezu starého očka a osou zebra lůžka [m]



Obr. 58 Schema rovinné soustavy zaplétání nitě

Platí, že $v_o = \text{konst}$. Z obr. 58 je pak vzdálenost i-té jehly

$$x = v_o t \quad (49)$$

Vertikální vzdálenost i-té jehly v čase t v nepohyblivém systému bude

$$y_i(t) = y[x(t)] ; y_{i+1} = y(x+h) ; y_{i+k} = (x+h \cdot k) \quad (50)$$

z toho pak stanovení vertikální rychlosti i-té jehly v čase t v tomtéž systému

$$\dot{y}_i = \frac{d}{dt} \left\{ y [x(t)] \right\} = \frac{dy_i}{dx} \cdot \frac{dx}{dt} = \frac{dy_i}{dx} \cdot v_0 . \quad (51)$$

Dále bude stanovena délka zaplétané nitě od upevnění k i-té jehle na souřadnici x.

Délka zapletené nitě od upevnění k i-té jehle v bodě A bude dle vztahu

$$l_{iA} = L - x + y_i + 2 \sum_{j=i+1}^n y_j \quad (52)$$

a v ostatních bodech B, C, a D pak analogicky

$$l_{iB} = l_{iA} + y_i = L - x + 2 \sum_{j=i}^n y_j , \quad (53)$$

$$l_{iC} = l_{iB} + c = L - x + 2 \sum_{j=i}^n y_j + c , \quad (54)$$

$$l_{iD} = l_{iC} + c = L - x + 2 \sum_{j=i}^n y_j + 2c . \quad (55)$$

Rychlosť změny délky zaplétané nitě v bodě A vzhledem k rámu je pak

$$\dot{l}_{iA} = \frac{d l_{iA}}{dt} = - \frac{dx}{dt} + \frac{dy_i}{dt} + 2 \sum_{j=i+1}^n \frac{dy_j}{dt} = v_0 \left(-1 + \frac{dy_i}{dx} + 2 \sum_{j=i+1}^n \frac{dy_j}{dx} \right) \quad (56)$$

a v bodě B

$$\dot{l}_{iB} = \frac{d l_{iB}}{dt} = - \frac{dx}{dt} + 2 \sum_{j=1}^n \frac{dy_j}{dx} = v_0 \left(-1 + 2 \sum_{j=1}^n \frac{dy_j}{dx} \right) , \quad (57)$$

$$\dot{l}_{iC} = \dot{l}_{iD} = \dot{l}_{iB} . \quad (58)$$

Obecné stanovení relativní rychlosti nitě bude potom následující.

Vzhledem k i-té jehle bude relativní rychlosť nitě dle vztahu

$$\begin{aligned} -v_{iA} \cdot i_{iA} \cdot \dot{y}_i &= v_o \left(1 - \frac{dy_i}{dx} + 2 \sum_{j=i+1}^n \frac{dy_j}{dx} \right) - \frac{dy_i}{dx} \cdot v_o = \\ &= v_o \left(-1 + 2 \sum_{j=i+1}^n \frac{dy_j}{dx} \right). \end{aligned} \quad (59)$$

Záporné znaménko pred v_{iA} je z toho dôvodu, že pri výpočte bylo uvažováno s opačným smyslom rychlosťi v_o .

Analogicky bude pak relativní rychlosť nitě vzhledem k pletenině v bodě B

$$-v_{iB} \cdot i_{iB} = v_o \left(-1 + 2 \sum_{j=1}^n \frac{dy_j}{dx} \right) \quad (60)$$

a ďaleko bude platit

$$v_{iC} = v_{iD} = v_{iB}. \quad (61)$$

Známe-li obecnou závislosť $y = f(x)$, môžeme pak běžnými matematickými operacemi určit polohu a velikost extrémů relativní rychlosťi nitě v bodech A a B.

Výše uvedené řešení relativních rychlosťí nitě je jednoduché a vhodné pro zpracování na počítači. Skutečnost, že funkční závislosť $y = f(x)$ lze stanovit jen experimentálně, by však mohla vést k nepřesným výsledkům.

Pokusme se nyní na základě výše uvedeného faktu o jednoduché mechanické řešení průběhu těchto relativních rychlosťí.

Předpokládejme, že platí vztah (61) a vycházejme pak ze zjednodušeného obrázku 59.

Z obr. 59 platí následující závislosti

$$\frac{s - s_1}{L_1} = \operatorname{tg} \alpha_1, \quad \frac{s - s_2}{L_2} = \operatorname{tg} \alpha_2,$$

z toho pak vyplývá vztah

$$L_1 \operatorname{tg} \alpha_1 = L_2 \operatorname{tg} \alpha_2 . \quad (62)$$

Můžeme také psát

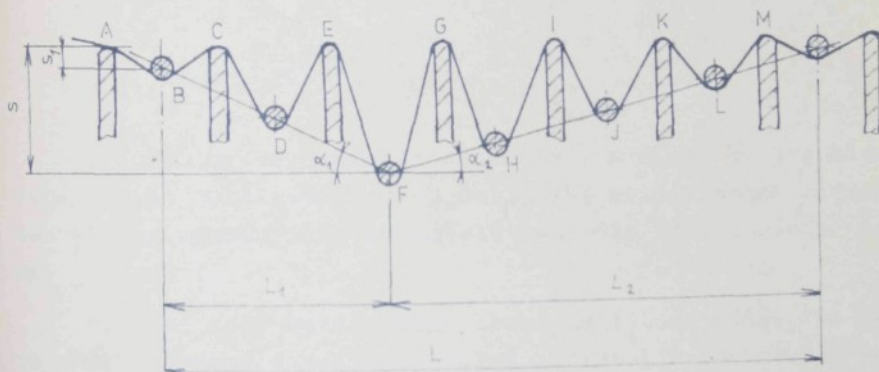
$$n_{\downarrow} h \operatorname{tg} \alpha_1 = n_{\uparrow} h \operatorname{tg} \alpha_2$$

$$n_{\downarrow} \operatorname{tg} \alpha_1 = n_{\uparrow} \operatorname{tg} \alpha_2 \quad (63)$$

kde h - rozteč jehel

n_{\downarrow} - počet jehel zatahujících

n_{\uparrow} - počet jehel při odlehčování.



Obr. 59 Schema pro stanovení maxima relativních rychlostí zaplétané nitě mechanicky

Bude platit, že

$$v_0 = \frac{h}{l} v_p \quad , \quad (64)$$

kde v_o - obvodová rychlosť jehelního lúžka [$m \cdot s^{-1}$]
 v_p - podávací rychlosť [$m \cdot s^{-1}$]
 h - rozteč jehel [m]
 l - dĺžka nitě v očku [m],

a dále, že

$$v_{j\downarrow} = v_o \operatorname{tg} \alpha_1 \quad (65)$$

$$v_{j\uparrow} = v_o \operatorname{tg} \alpha_2 \quad (66)$$

kde $v_{j\downarrow}$ - rychlosť jehel zatahujúcich [$m \cdot s^{-1}$]
 $v_{j\uparrow}$ - rychlosť jehel pri odlehčovani [$m \cdot s^{-1}$]

Ve zvolenom případu na obr. 59 je $n_\downarrow = 3$ a $n_\uparrow = 4$,
 pribemž první jehla je z úvah vypuštěna, jak je uvedeno dále.

Dále volíme $\alpha_1 = 45^\circ$, pak dosazením za $\operatorname{tg} \alpha_1 = 1$, ze
 vztahu (63) vyplývá

$$\operatorname{tg} \alpha_2 = \frac{2}{4} \operatorname{tg} \alpha_1 = 0,5$$

$$\alpha_2 = 26^\circ 30'$$

Výpočet by se značne zjednodušil, ale byl by pro stanovení maxima relativních rychlosťí nitě mezi třecími elementy teoreticky vyhovující, budeme-li se řídit následujícími úvahami.

Protože se v každém očku právě zaplétané nitě, tak jako ve všech předcházejících i následujících již na začátku zaplétané nitě realizuje rychlosť v_p dle vztahu $v_p = v_o \frac{l}{t}$, můžeme učinit pro hledání maxima zjednodušení v tom, že s touto rychlosťí (v_p) se ve výpočtech nemusí uvažovat. (Pri stanovení nezjednodušeného postupu by bylo třeba vycházet dle obr. 59 např. v bodě A a B relativní rychlosťi nitě dle následujících vztauhů:

(67)

$$v_A = v_p - v_o \quad \dots \quad (68)$$

$$v_B = v_p - v_o - v_{j\uparrow} \quad \dots \quad (68)$$

V zjednodušeném pohledu budeme tedy uvažovat pouze rychlosti jehel, což bude pro stanovení maxima relativních rychlostí nitě pravděpodobně postačující.

Mechanická představa je tedy zjednodušena na to, že se délka nitě (zásoba) v oblasti zámků (u pohybu jehel dolů a nahoru), která je za předpokladu nepružné nitě, absolutně ohebné, trvale konstantní a která se pouze trvale přemisťuje vlivem pohybu jehel v zámcích tak, že se zásoba v oblasti stahu jehel tvoří ze zásoby v oblasti odlehčení jehel, přičemž je délka nitě v zásobě trvale konstantní (postupující jako by po niti proti směru pohybu lůžka).

Další představa by mohla být taková, že část pohybu s_1 (viz obr. 59) neuvažujeme proto, že vlastně představuje tvorbu pleteniny.

Za výše uvedených předpokladů pak platí pro stanovení relativních rychlostí nitě v bodech dle obr. 59

$$v_c = v_{j\downarrow} = v_o \operatorname{tg} \alpha_1 \quad (69)$$

$$v_b = 2 v_{j\downarrow} = 2 v_o \operatorname{tg} \alpha_1 \quad (70)$$

$$v_e = 3 v_{j\downarrow} = 3 v_o \operatorname{tg} \alpha_1 \quad (71)$$

V bodě F by mohly nastat teoreticky tři případy:

F_1 - jehla se pohybuje dolů, pak

$$v_{F_1} = 4 v_{j\downarrow} = 4 v_o \operatorname{tg} \alpha_1 \quad (72)$$

F_2 - jehla se nepohybuje, pak

$$v_{F_2} = 3 v_{j\downarrow} = 3 v_o \operatorname{tg} \alpha_1 \quad (73)$$

F_3 - jehla se pohybuje nahoru, pak

$$v_{F_3} = 3 v_{j\downarrow} - v_{j\uparrow} = v_o (3 \operatorname{tg} \alpha_1 - \operatorname{tg} \alpha_2) \quad (74)$$

V bodě G by pak byly dle dřívějších zjednodušení následující možné rychlosti

$$v_{G_1} = v_0 (4 \operatorname{tg} \alpha_1 - \operatorname{tg} \alpha_2), \quad (75)$$

$$v_{G_2} = v_0 (3 \operatorname{tg} \alpha_1 - \operatorname{tg} \alpha_2), \quad (76)$$

$$v_{G_3} = v_0 (3 \operatorname{tg} \alpha_1 - 2 \operatorname{tg} \alpha_2). \quad (77)$$

V bodě H analogicky

$$v_{H_1} = v_0 (4 \operatorname{tg} \alpha_1 - 2 \operatorname{tg} \alpha_2), \quad (78)$$

$$v_{H_2} = v_0 (3 \operatorname{tg} \alpha_1 - 2 \operatorname{tg} \alpha_2), \quad (79)$$

$$v_{H_3} = v_0 (3 \operatorname{tg} \alpha_1 - 3 \operatorname{tg} \alpha_2) = 3 v_0 (\operatorname{tg} \alpha_1 - \operatorname{tg} \alpha_2). \quad (80)$$

V bodě I analogicky

$$v_{I_1} = v_0 (4 \operatorname{tg} \alpha_1 - 3 \operatorname{tg} \alpha_2), \quad (81)$$

$$v_{I_2} = 3 v_0 (\operatorname{tg} \alpha_1 - \operatorname{tg} \alpha_2), \quad (82)$$

$$v_{I_3} = v_0 (3 \operatorname{tg} \alpha_1 - 4 \operatorname{tg} \alpha_2). \quad (83)$$

V bodě J potom opět

$$v_{J_1} = 4 v_0 (\operatorname{tg} \alpha_1 - \operatorname{tg} \alpha_2), \quad (84)$$

$$v_{J_2} = v_0 (3 \operatorname{tg} \alpha_1 - 4 \operatorname{tg} \alpha_2), \quad (85)$$

$$v_{J_3} = v_0 (3 \operatorname{tg} \alpha_1 - 5 \operatorname{tg} \alpha_2). \quad (86)$$

Dále by pokračovalo stanovení rychlostí dle předcházející logiky v dalších bodech, až v bodě M by nabyla hodnot

$$v_{M_1} = v_0 (4 \operatorname{tg} \alpha_1 - 8 \operatorname{tg} \alpha_2), \quad (87)$$

$$v_{M_2} = v_o (3 \operatorname{tg} \alpha_1 - 8 \operatorname{tg} \alpha_2), \quad (88)$$

$$v_{M_3} = v_o (3 \operatorname{tg} \alpha_1 - 9 \operatorname{tg} \alpha_2). \quad (89)$$

Praktický význam, při dodržení podmínek nepružné a ideálně ohebné nitě pro výše uvedené zjednodušené pohledy v oblasti hledání maxima relativních rychlostí nitě, mají pak vzorce označené indexem 1, tedy (69), (72), (75), (78), (81), (84) a (87), neboť

$$v_{M_1} = v_o (4 \operatorname{tg} \alpha_1 - 8 \operatorname{tg} \alpha_2) = v_o (4 - 4) = 0, \quad (90)$$

což odpovídá praktické, ale i teoretické představě, že v bodě M (viz obr. 59) nemůže být žádná relativní rychlosť v niti (jsou-li vzaty v úvahu předpoklady uváděné výše, zejména pak, že se rychlosť v_p realizuje plně v každém očku dle vztahu

$$v_o = v_p \frac{l}{h}.$$

Maximum relativní rychlosti bude potom dle výše uvedených předpokladů v oblasti bodu F

$$v_{F_1} = 4 v_{\gamma \downarrow} = 4 v_o \operatorname{tg} \alpha_1. \quad (91)$$

Pro náš sledovaný případ by byla tedy hodnota v_{F_1} , po dosazení za $v_o = 0,7 \text{ m.s}^{-1}$, $\alpha_1 = 45^\circ$ do vztahu (91) bude

$$v_{F_1} = 4 \cdot 0,7 \cdot 1 = 2,8 \text{ m.s}^{-1}. \quad (92)$$

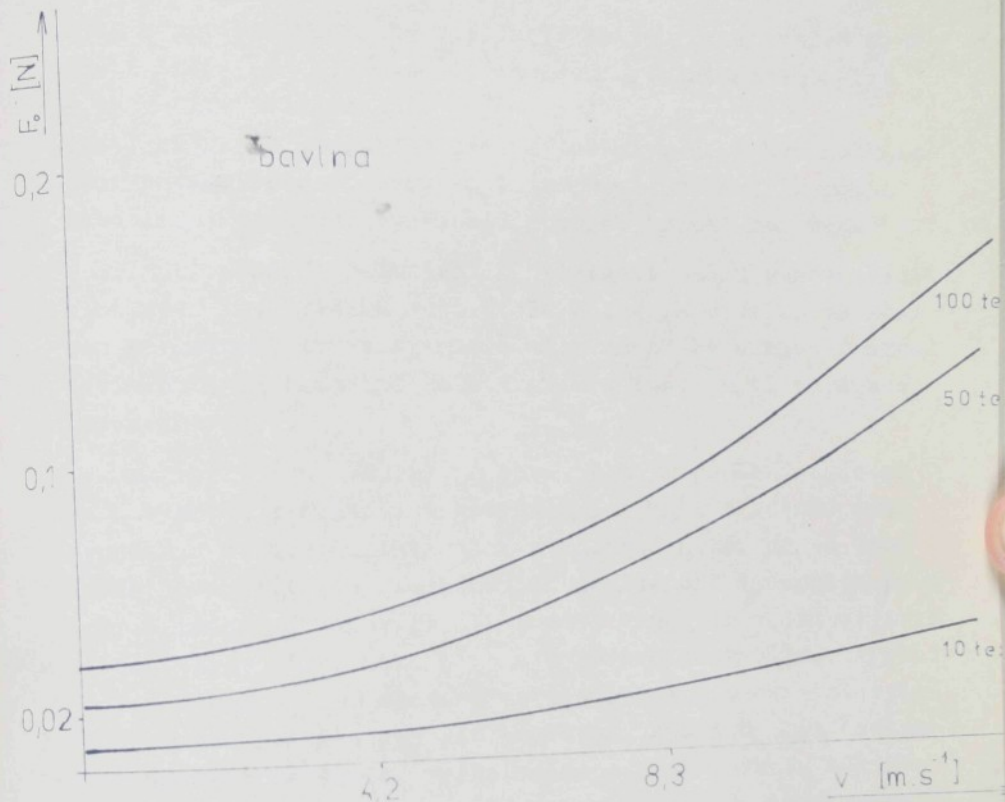
Jak dokazují experimenty, má rychlosť nitě vliv na velikost tahové síly v této niti.

Autor práce /36/ uvádí graf závislosti tahové síly v niti na rychlosti této niti pro bavlněný materiál různé jemnosti v případě, že niti není při vedení kladen žádný odpor (viz obr. 60).

Aproximační funkce pro průběh F_o je

$$F_o = A + B \left(\frac{n}{C} \right)^2, \quad (93)$$

kde A, B a C jsou konstanty a n - otáčky odvíjecího mechanizmu pro odpovídající rychlosť nitě.



Obr. 60 Grafická závislost tahové síly v niti
na rychlosti této nitě

Z grafu je zřejmé, že v našem případě, kdy se maximální rychlosť nitě při zatahování pohybuje kolem $2,8 \text{ m.s}^{-1}$, platí přibližně přímková závislost, a to zejména pro jemnosti pod 50 tex.

Na základě výše uvedených faktů můžeme konstatovat následující:

- i když byly v predešlých úvahách rozebrány relativní rychlosti nitě vůči pracovním prvkům pletacího stroje v oblasti zámků dostatečně podrobně, nelze zatím uvést žádnou obecnou teoreticky vyhovující paralelu mezi těmito relativními rychlostmi a tahovými silami v niti
 - můžeme předpokládat, že v oblasti malých relativních rychlostí nitě (do $4,0 \text{ m.s}^{-1}$), nebudou tyto hodnoty tahové sily v niti ovlivňovat.
- (tah. sily zde budou závislé na technických a technologických parametrech procesu, a to zejména druhu a jemnosti materiálu, pracovní rychlosti stroje, konstrukci zámků atd.)
- v oblasti vyšších relativních rychlostí budou tahové sily v oblasti tvorby očka růst podle Eulerova vztahu, ve kterém se hodnota vstupní tahové sily mění dle určité funkční závislosti na okamžité relativní rychlosti niti, uvedené ve vztahu (93).

Jak vyplývá z tabulky na obr. 57 a jí předcházejících úvah a vypočtu v oblasti tahových sil v niti a rovněž úvah a vypočtu v oblasti relativních rychlostí nitě, se za dané situace jeví neúčelné (zejména pro nepřesnost vstupních parametrů) zjištování tahových sil v niti vypočtem v jednotlivých místech tvorby očka, nebo při nejmenším diskutabilní. Výsledky totiž nebudou s největší pravděpodobností adekvátní vynaložené námaze a zjištěným skutečnostem, které by byly zaznamenány měřením na vhodně vyzkoumaném a realizovaném měřicím zařízení, které by mohlo simulovat jak oblast tvorby očka, tak i poskytnout možnost měřit tahové sily v právě zapletané niti v jednotlivých místech pletacího pole.

Je proto v následující stati 5.6 navrženo zařízení pro simulaci měření tahových sil v niti v libovolném místě tvorby očka. Toto zařízení bylo podrobeno zkouškám s některými materiály a zhodnoceno v této stati 5.6. Dále je zde provedeno příkladné srovnání v několika místech pletacího pole dosažených výsledků s výsledky získanými v teoretické stati 5.5. Tato statí obsahuje i komentování "souladu" výsledků teoretických s praktickými.

5.6 PRAKTIČKÁ MĚŘENÍ TAHOVÝCH SIL V OBLASTI TVORBY OČKA

Podle PV , podané dne 28.12.1982 o názvu "Způsob simulace měření tahových sil v niti v oblasti zámků pletacího stroje a přípravek k realizaci tohoto způsobu", jejíž podstatná část je uvedena v následujících odstavcích, byl vyroben přípravek pro měření tahových sil. Jak je uvedeno dále, byl tento přípravek také odzkoušen a získané výsledky jsou rovněž uvedeny a komentovány dále v této statí.

5.6.1 Popis a funkce simulátoru měření tahových sil

Výše uvedená přihláška vynálezu popisuje, jak současný stav techniky, tak přípravek a způsob jeho použití a predmět navrženy k patentování.

Uvádí, že: Světová patentová literatura i další odborná literatura se zabývá měřením tahových sil v niti v různých místech textilních strojů a zařízení, ale v oblasti jednotlivých třecích míst zámků pletacího stroje není měření tahových sil v niti dosud popsáno. Jsou činěny určité pokusy zjištování tahových sil v jehlách pletacího stroje, ze kterých lze usuzovat na síly v niti, ale tato měření vyžadují speciální úpravy jehel (s vestavěnými snímači tahových sil a s napájením těchto snímačů přenosovými elementy získaných signálů, atd.). V miniaturním prostoru jehel je zajištění všech těchto výše popsánych i dalších prostředků a zařízení velice náročné a výsledky nemusí vždy odpovídat vynaloženým nákladům a vynaložené námaze.

Dále popsaný způsob simulující měření tahových sil v zaplétané niti v oblasti zámků pletacího stroje a příkladné zařízení k realizaci tohoto způsobu řeší výše popsanou problematiku tím, že měření provádí při vratně se pohybujících zámcích a při stojícím jehelním lůžku, přičemž je měřena nit odebírána prakticky kdekoliv v prostoru celé simulované zámkové soustavy. Soustava zaplétaných nití je podrobena stejným zatížením jako je tomu na pletacím stroji a měření se může posuzovat a hodnotit jen v té části získaných výsledků, která odpovídá technologickému postupu a způsobu tvorby očka na pletacím stroji.

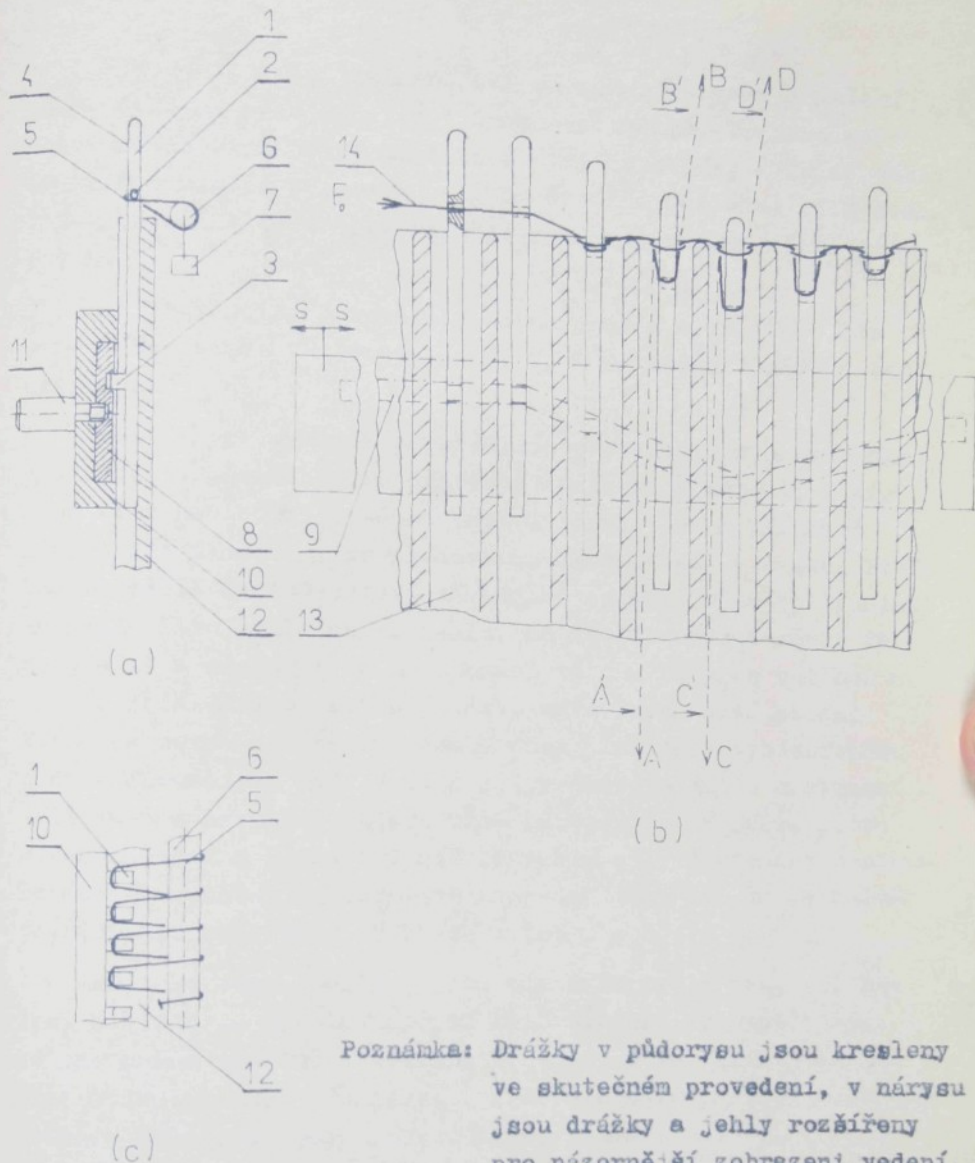
Popis příkladného provedení simulátoru tvorby očka určeného k měření tahových sil v niti, která je dodávána přibližně konstantní rychlostí, ale i přetržitě nebo nekonstantní rychlostí, je naznačen na obr. 61, jehož horní levá část (a) představuje řez přípravkem v oblasti upravené jehly, pravá část (b) pak pohled na jehly a zámky, a spodní část (c) vlevo půdorysný pohled na uspořádání simulující zejména odtahovanou pleteninu a tedy síly v jednotlivých úsecích této odtahované pleteniny.

Na obr. 61a je naznačena upravená jehla 1 s očkem 2 a kolénkem 3. Jehla je vybavena v horní části hladkou plochou 4, po které klouže nit 5 simulované pleteniny. Tato nit 5 je ovinuta kolem válečku 6 a závaží 7 simuluje tahové síly v pletenině, která je dána počtem oček, jež jsou v přípravku sledována. Dále je zde na obr. 61a zámek 8 (viz též obr. 61b), který představuje plochá ocelová deska s drážkou 9. Zámek je uložen ve vedení 10 a ovládán prostřednictvím kolíku 11. V lúžku přípravku 12 jsou drážky 13 pro vedení jehel 1. Výše popsané detaily jsou potom znázorněny na dalších obrázcích 61 b a c v příslušném promítání.

Šipka u zámků představuje jejich vratný pohyb, uskutečňovaný známým, zde naznačeným mechanizmem. Podávaná nit 14 (obr. 61b) do očka 2 upravené jehly 1 vykazuje určitou sílu, která je dána známými v předcházejícím naznačenými odtahovými a nebo podávacími mechanismy, popř. prostým odtahem v jehlách.

Podávaná nit 14 vytváří stejné nebo velmi podobné úhly opásání zaplétání vůči niti "pleteniny" a dále vůči odtahovým součástem přípravku jako na pletacím stroji (pokud jsou zámky stejné, stejně rozteče lúžka a další parametry na přípravku jako na pletacím stroji). Za předpokladu použití stejných materiálů nitě a materiálů přípravku jako u pletacího stroje budou tedy i koeficienty tření adekvátní u přípravku jako u pletacího stroje.

Protože se na pletacím stroji pohybují všechny jehly postupně až do spědní úvratě a posléze zase nahoru, je třeba u tohoto přípravku využít pouze té fáze z vratného pohybu zámků, která simuluje pohyb jehel okrouhlého pletacího stroje.



Poznámka: Drážky v půdorysu jsou kresleny ve skutečném provedení, v nárysů jsou drážky a jehly rozšířeny pro názornější zobrazení vedení nitě.

Obr. 61 Simulátor měření tahových sil v niti v procesu tvorby očka

Výhodou tohoto vratného pohybu zámků je však dosažení toho, čeho na plochém stroji dosáhnout nelze, to jest možnosti odtahovalí právě zapletané nitě prakticky v každé části (v každém místě) přípravku (A, B, C, D) a následné zjištování tahových sil v této niti také prakticky v každém místě přípravku.

Je tedy možno uskutečnit odtaho směrem A, B, C, D dle obr. 61b a např. v místech A', B', C', D' uskutečnit měření tahových sil v niti.

Postup pri využití příkladného provedení přípravku dle vynalezu je následný: Po přípravě zařízení k měření, které spočívá v navlečení nitě do oček 2 jehel 1 a po přípravě simulované pleteniny ve sledovaném úseku, tedy v úseku, který budeme měřit (toto sestává z ručního opásání nitě "pleteniny" na jednotlivé jehly až po jehlu, za kterou chceme měřit tahové sily a odpovídajícího opásání této nitě přes váleček 6, dále z příslušného zatižení takto upravených nití silou, která se rovná zatižení jednoho očka pleteniny vynásobenému počtem zkoušených oček - síla je vyvozována např. hmotností válečku 6 a závaží 7, které může být měnitelné podle počtu měřených oček a podle celkové odtahovalé síly pleteniny nesimulované (srovnávací), vztažené na jedno očko atd.), se začne odvíjet nit konstantní rychlostí (obr. 61b).

Protože tahové sily v niti dle Eulerova vztahu (5) nejsou závislé na rychlosti, jak bylo uvedeno ve stati 5.5, je pak možno vlastně v místech A', B', C', D'... měřit tahové sily s dostatečnou přesností (zejména a také proto, že se zde jedná o malé rychlosti pohybu nitě, kolem 2 m.s^{-1}).

Po změření tahových sil v niti 14 a po jejich zapsání známými prostředky, např. na termosenzitivní papír, je třeba ze záznamu vybrat ty úseky, které odpovídají technologickému postupu při pletení na okrouhlých pletacích strojích. Toho lze dosáhnout známými prostředky pro sprážení záznamu signálů tahových sil na termosenzitivní papír a prostředků pro pohyb zámků 10 tam a zpět.

Ze získaných průběhů tahových sil v jednotlivých místech simulované pleteniny můžeme pak (zejména, máme-li zaznam tahových sil na vstupu nitě do přípravku) usuzovat na poměry při zaplétání vcelku dosti objektivně a serizováním vstupních tahových sil ovlivňovat jak přetrhovost, tak kvalitu pleteniny.

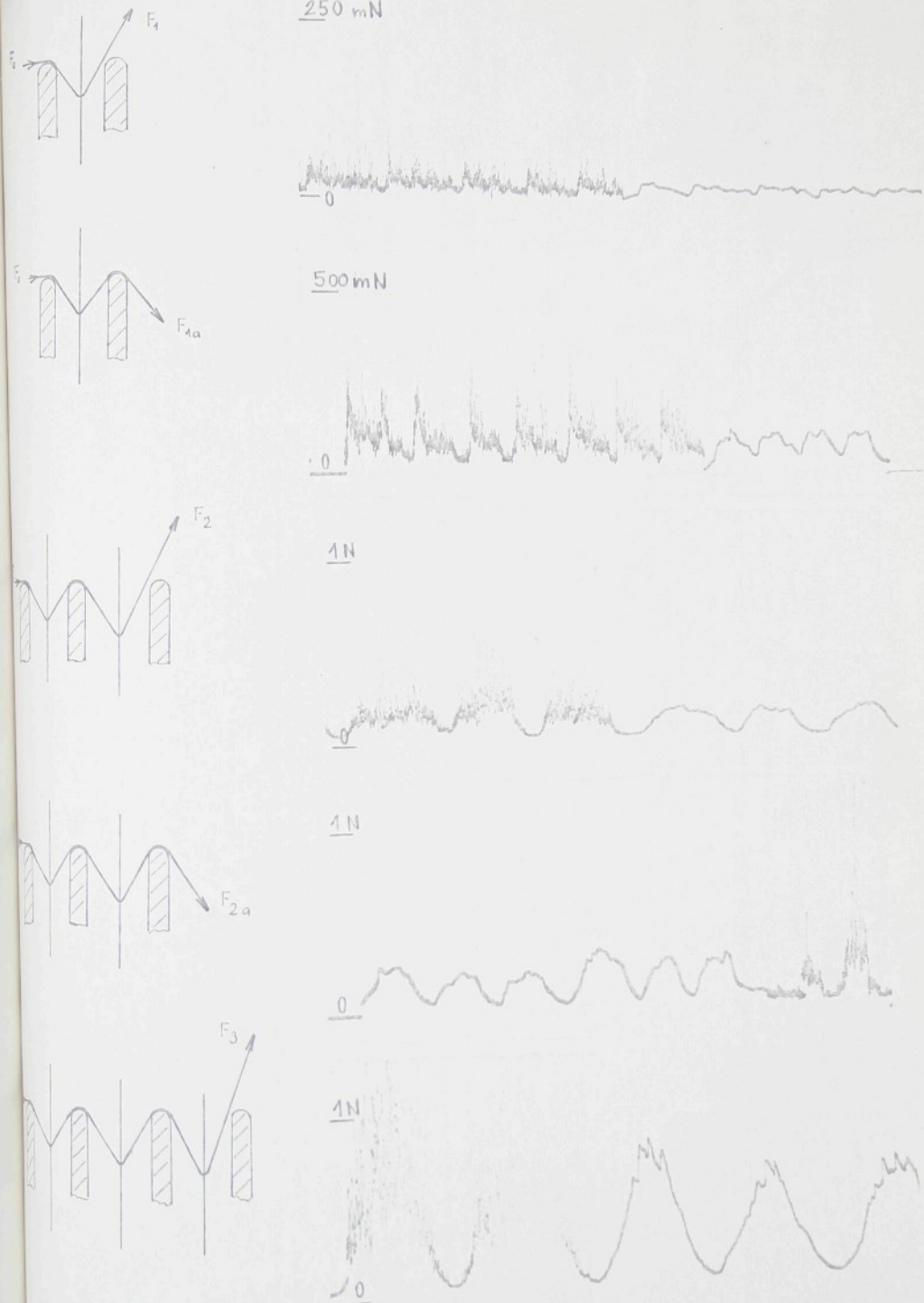
5.62 Vlastní měření na simulátoru

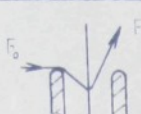
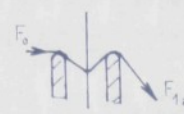
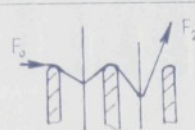
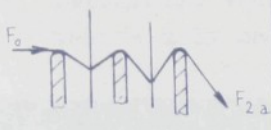
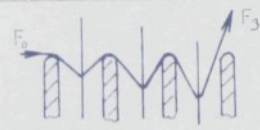
Při vlastním měření tahových sil na simulátoru byl následující postup:

- a) příprava simulačního zařízení k měření, jak je uvedeno ve statí 5.61
- b) instalace měřícího zařízení, které se skládalo z tenzometrického snímače tahových sil firmy Rotschild a zapisovacího přístroje Helcoscriptor
- c) podmínky měření:
 - rychlosť nitě $v = 0,9 \text{ m.s}^{-1}$
 - materiál bavlna 20 x 2 tex
 - odtauhová síla simulované pleteniny $F_{od}' = 254,4 \text{ mN}$ (na 6 oček)
 - úhel zatahování $\alpha_1 = 45^\circ$
 - $F_o = 12,2 \text{ mN}$

Měření tahových sil v niti v oblasti tvorby očka bylo uskutečněno na pěti místech, jak ukazují schemata v tabulce na obr. 62. Z nich je patrné, že každé následné měření bylo uskutečněno za dalším třecím místem. Protože se vycházelo z předpokladu, že maximum tahové sily v niti bude v oblasti zatahování, poslední měření bylo za třetí jehlou.

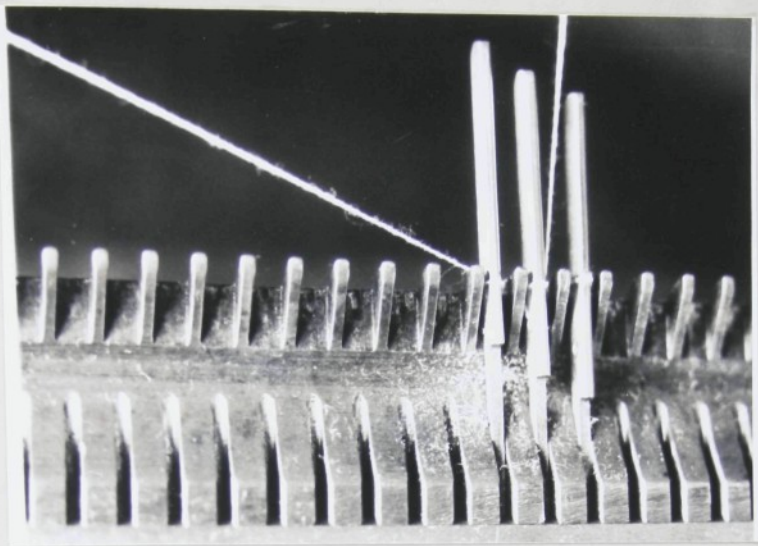
Tabulka na obr. 62 dále uvádí označování míst měření a střední hodnotu tahové sily v niti v těchto místech. Odpovídající grafické zápisy tahových sil jsou uvedeny na str. 117a.



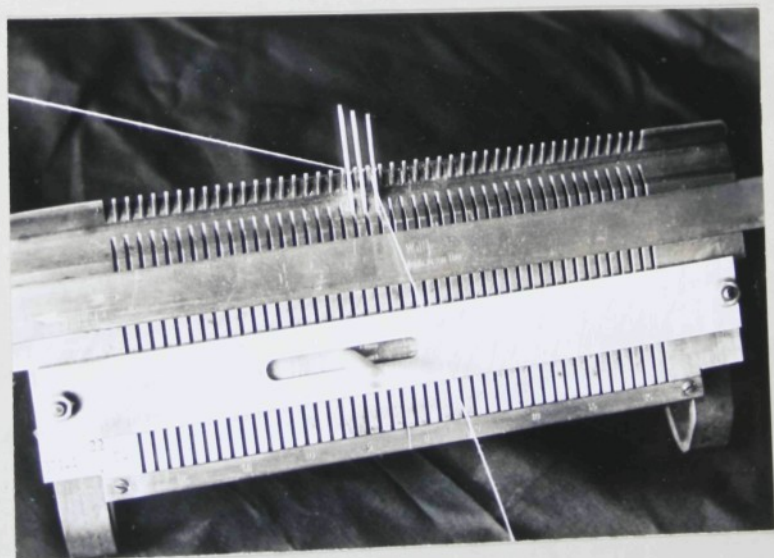
Schema místa měření	Označení	Střední hodnota tahové síly $F_{\text{stř}} \text{ [mN]}$
	1	28
	1a	72,5
	2	180,7
	2a	350,5
	3	625

Obr. 62 Tabulka schematického znázornění místa měření tahových sil a odpovídajících středních hodnot

Fotografie na obr. 63 a 64 ukazují pro názornost vedení nitě při měření v místech 2 a 2a.

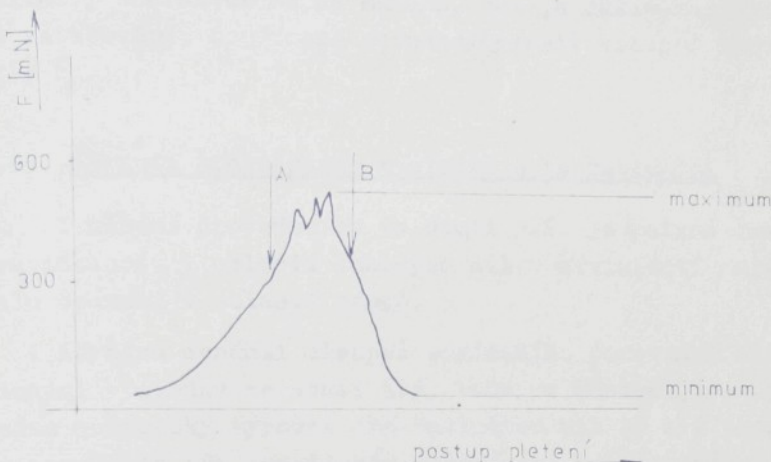


Obr. 63 Fotografie vedení nitě simulátorem při měření tahové síly za druhou jehlou



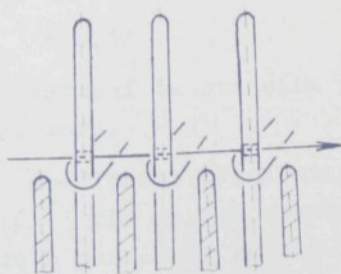
Obr. 64 Fotografie vedení nitě simulátorem při měření tahové síly

V průběhu tvorby "očka" na simulačním zařízení se vyskytuje periodický dvě meze hodnot tahových sil, jak je patrné z grafického záznamu na str. 117a, např. pro polohu 3, schematicky znázorněnou na obr. 65.

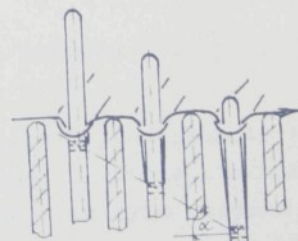


Obr. 65 Grafický záznam průběhu tahových sil měřených v poloze 3 pro jeden cyklus tvorby očka

Tyto krajin meze souvisejí s odpovídajícími polohami nitě v jehlách simulátoru. Pro výše uvedený příklad to bude pro minimum tahových sil poloha nitě na obr. 66 a pro maximum poloha nitě na obr. 67.



Obr. 66 Poloha nitě při volném vedení jehlami



Obr. 67 Poloha nitě při zatahování (maximum tahové síly)

Z obr. 65 je patrno, že v počáteční fázi (OA), kdy přichází první jehla do styku se zámkem, měřená tahová síla plynule narůstá. V další fázi (AB) má hodnota tahové síly kolísavý charakter až do maxima, což je důsledkem vlivu hloubky zatahování, popřípadě nerovnoměrnosti vstupní tahové síly F_0 .

5.63 Shrnutí praktických výsledků s teoretickými

Z měření provedených ve stati 5.62 je patrná dostatečná pravidelnost v oblasti tahových sil v závislosti na změně úhlu opásání v oblasti zámků.

Abychom dosáhli alespoň základního porovnání s teoretickými výsledky ze stati 5.5, bude v nasledujícím provedení jeden numerický výpočet pro bavlněnou nit 20 x 2 tex, která byla použita při praktickém měření při průměru cívky 190 mm, a to pro teoretické vztahy statě 5.5.

Mezi cívku a simulátorem nebylo použito žádné dodatečné brzdění, takže ani ve výpočtu nebylo toto zahrnuto.

Pro numerický výpočet tahových sil v místech 1, 1a, 2, 2a a 3 (viz statě 5.62) byly použity vztahy (37) - (43) s těmito vstupními parametry:

$$\mu_n = 0,3 \quad \alpha_n = \frac{\pi}{3}$$

$$\mu_k = 0,18 \quad \alpha_k = \frac{\pi}{6}$$

Vstupní tahová síla v niti byla změřena před první jehlou simulátoru.

Koefficient trení nit-nit a nit-kov nejsou hodnoty běžně známé. I při jejich eventuelním změření nemůžeme získané hodnoty považovat za absolutně presné, jak bylo uvedeno ve stati 5.5. Proto byly použity hodnoty získané z praktických zkoušek řešených úkolů na KTP VŠST.

Úhly opásání nit-nit a nit-kov byly pro toto první ověřování teoretických vztahů odhadnuty podle skutečného průběhu nitě na pletacím stroji.

Odtahová síla simulované pleteniny byla vyvozena závažím o hmotnosti 25,93 g.

Skutečná odtahová síla v jedné větvi simulovaného očka pleteniny byla vypočtena dle vztahu (36) ze statí 5.5.

$$F_{od} = \frac{254,4}{2,6} \cdot e^{-1,4 \cdot 0,18}$$

$$F_{od} = 16,02 \text{ mN}$$

V místech styku zatahované nitě se starým očkem, kde působí odtahová síla, vycházíme ve výpočtech ze schematického usporádání starého očka a nové nitě do jedné roviny, kde odtahová síla v jedné větvi starého očka působí kolmo na úsek nitě zatahovaný přes žebro lúžka.

Hodnoty tahových sil v niti v jednotlivých místech dle statí 5.62 budou pak následující:

$$F_1 = F_{11} \cdot e^{\frac{\pi}{3} \cdot 0,18}$$

$$F_{11} = |\bar{F}_0 + \bar{F}_{od}| \cdot e^{\frac{\pi}{3} \cdot 0,3} = \sqrt{12,2^2 + 16,02^2} \cdot e^{0,314} = 27,54 \text{ ,}$$

$$F_1 = F_{11} \cdot e^{\frac{\pi}{3} \cdot 0,18} = 27,54 \cdot e^{0,565} = \underline{\underline{48,47}} \text{ mN .}$$

$$F_{1a} = |\bar{F}_{1a1} + \bar{F}_{od}| \cdot e^{\frac{\pi}{3} \cdot 0,3}$$

$$F_{1a1} = |\bar{F}_1 + \bar{F}_{od}| \cdot e^{\frac{\pi}{3} \cdot 0,3} = 51,05 \cdot e^{0,314} = 69,84 \text{ ,}$$

$$F_{1a} = |\bar{F}_{1a1} + \bar{F}_{od}| \cdot e^{\frac{\pi}{3} \cdot 0,3} = 71,65 \cdot e^{0,314} = \underline{\underline{98,02}} \text{ mN .}$$

$$F_2 = F_{2a} \cdot e^{\frac{\pi}{3} \cdot 0,18} = 98,02 \cdot e^{0,565} = \underline{\underline{172,46}} \text{ mN .}$$

$$F_{2a} = |F_{2a1} + F_{od}| \cdot e^{\frac{\pi}{3} \cdot 0,3},$$

$$F_{2a1} = |F_2 + F_{od}| \cdot e^{\frac{\pi}{3} \cdot 0,3} = 173,2 \cdot e^{0,314} = 236,94 \text{ mN},$$

$$F_{2a} = |F_{2a1} + F_{od}| \cdot e^{\frac{\pi}{3} \cdot 0,3} = 236,94 \cdot e^{0,314} = \underline{\underline{324,87}} \text{ mN}$$

$$F_3 = F_{2a} \cdot e^{\frac{\pi}{3} \cdot 0,18} = 324,87 \cdot e^{0,565} = \underline{\underline{571,59}} \text{ mN}$$

Pro srovnání byly vypočteny hodnoty tahových sil ve stejných místech dle klasického Eulerova vztahu

$$F = F_0 \cdot e^{\sum \alpha_n u_n + \sum \alpha_k u_k} \quad (94)$$

kde F - výsledná tahová síla v niti [N]

F_0 - počáteční tahová síla v niti [N]

α_n - úhel opasání nit-nit [rad]

α_k - úhel opasání nit-kov [rad]

u_n - koeficient trení nit-nit [1]

u_k - koeficient trení nit-kov [1]

Podle vyše uvedeného vztahu pak platí:

$$F_1 = F_0 \cdot e^{\frac{\pi}{3} \cdot 0,3 + \frac{\pi}{6} \cdot 0,18} = 12,2 \cdot e^{0,877} = \underline{\underline{29,32}} \text{ mN},$$

$$F_{1a} = F_1 \cdot e^{\frac{3\pi}{3} \cdot 0,3} = 29,32 \cdot e^{0,628} = \underline{\underline{54,94}} \text{ mN},$$

$$F_2 = F_{1a} \cdot e^{\frac{\pi \cdot 0,8}{3}} = 54,94 \cdot e^{0,565} = \underline{\underline{96,64}} \text{ mN},$$

$$F_{2a} = F_2 \cdot e^{\frac{2\pi}{3} \cdot 0,3} = 96,64 \cdot e^{0,628} = \underline{\underline{181,09}} \text{ mN},$$

$$\bar{F}_3 = F_{2a} \cdot e^{\frac{\pi}{3} \cdot 0,18} = 181,09 \cdot e^{0,565} = \underline{\underline{318,53}} \text{ mN}.$$

V tabulce na obr. 68 jsou uvedeny pro srovnání naměřené hodnoty a vypočítané hodnoty tahových sil v niti ve sledovaných pěti místech oblasti tvorby očka.

Tahová síla	Naměřená [mN]	Vypočítaná [mN]	Vypočítaná dle Eulerova vztahu [mN]
F_1	28	48,47	29,32
F_{1a}	72,5	98,02	54,94
F_2	180,7	172,46	96,64
F_{2a}	350,5	324,87	181,09
F_3	625	571,59	318,53

Obr. 68 Tabulka naměřených a vypočítaných hodnot tahových sil v niti vedené simulátorem

Protože objem práci této kandidátské práce již nedovolil provést větší množství měření pro stanovení přesnějších výsledků z hlediska zobecnění teoretických vztahů, je treba hledět na tyto výsledky jako na ryze informativní.

Přesto je z uvedených výsledků a tabulek patrná dostačující shoda z hlediska měřených a vypočítaných hodnot. Zajímavý poznatek je možno považovat rovněž zjištěný průběh tahové síly při měření. (Je třeba však brát v úvahu pouze tu větev průběhu, která odpovídá technologii procesu pletení).

Porovnáním výsledků výpočtu tahových sil v niti podle klasického Eulerova vztahu při použití stejných vstupních parametrů (viz tab. na obr. 68, 3. sloupec) a výsledky, získanémi ve vztahů, které jsou v práci navrženy, je patrné, že se

tyto druhé přibližují více praktickým výsledkům.

Autorka předpokládá další upřesnění výsledků jinou formou, napr. v rámci vědecko-výzkumného úkolu na KTP VŠST, popř. zadáním diplomové práce.

6. KONKRÉTNÍ ZÁVĚRY PRO REALIZACI VÝSLEDKŮ PRÁCE VE SPOLEČENSKÉ PRÁCI A PRO DALŠÍ ROZVOJ VĚDY

Disertační práce podává přehled o vzniku a průběhu tahových sil v niti na velkopružových pletacích strojích v současné době. Podává přehled o změnách tahových sil v závislosti na nejdůležitějších technologických parametrech jako je materiál, průměr cívky a podávací rychlosť nitě. Základní parametry byly sledovány bez použití podavače nitě, tedy při prostém odvíjení nitě a při použití podavacu různých typů.

Výsledky provedených zkoušek jsou v práci soustavně zhodnocovány s cílem získání podrobných představ o stavu tahových sil a jejich zhodnocení zejména z pohledu na proces vlastní tvorby pleteniny.

Jak je ze závěrů práce patrné, mohou ovlivňovat tahové síly jak pretrhovost, tak stejnomořnost pleteniny podstatně. Pro nedostatečné množství experimentálního materiálu a již zmiňovaný rozsah práce nemohlo být provedeno praktické vyhodnocení jak této pretrhovosti, tak ani stejnomořnosti struktury pleteniny. Proto byly rozebrány alespoň velmi zkráceně v příloze práce některé metody hodnocení struktury pletenin, které jsou v současnosti využívány. Autorka se domnívá, že je treba v budoucnu se zabývat otázkami pretrhovosti a stejnomořnosti struktury pletenin z hlediska vlivu tahových sil ve výzkumných pracích na KTP VŠST.

Dále je v práci teoreticky rozebrána oblast tahových sil při tvorbě očka, při současném sledování relativních rychlostí nitě v příslušných místech tvorby pleteniny.

Je navrženo jednoduché simulační zařízení, umožňující kontrolu tahových sil v niti prakticky v kterémkoli místě tvorby očka. Srovnání teoretických a praktických výsledků ze simulačního zařízení ukazuje dostatečnou shodu teoretických představ s praktickými měřenimi.

Výsledky práce lze shrnout do následujících oblastí:

Oblast výzkumu textilní technologie

Byly shrnuty teoretické i praktické poznatky řady autorů o tahových silách obecně i při tvorbě pleteniny. Byly shrnuty v krátkosti materiály, které se zabývají hodnocením struktury pleteniny objektivními metodami.

Byla provedena analýza tahových sil v niti při různých výše uvedených parametrech, jejímž účelem bylo zjistit maximální tahové síly, které jsou příčinou zvýšení přetrhovosti a zhoršení kvality pleteniny.

Teoretické rozbory tahových sil a jejich praktické ověření pomocí simulátorů napovídají textilnímu technologovi skutečnosti, které vedou k podstatnému zvýšení tahových sil v oblasti tvorby očka a tím přetrhovosti resp. poruše během tohoto procesu (jedná se o několikandsobné zvýšení tahové síly v oblasti tvorby očka). Zde je cesta pouze naznačena s poměrně malým počtem experimentálních výsledků, takže tuto oblast je nutno chápát jako informativní, přesto však cennou.

Autorka předpokládá rozšíření a upřesnění výsledků prostřednictvím další vědecko-výzkumné činnosti na KTP VŠST.

Sledováním různých typů podavačů bylo dosaženo srovnání mezi současnými a vyvíjenými typy podavaců na KTP a vyjasnění některých problémů pri zařazení podavače do pletacího procesu.

Získané výsledky ze simulátoru jsou v současné době pouze informativní, ale za předpokladu většího rozsahu experimentů (více druhů materiálu, zařazením dalších významných ovlivňujících faktorů) mohou textilnímu technologovi napovědět při jeho rozhodování v oblasti stanovování technologických parametrů procesu (např. rychlosť), v oblasti serizování strojů a pod.

Oblast textilního strojírenství

I když československé textilní strojírenství nevyrábí tolik velkopružových pletacích strojů, pro které jsou podavače nití, realizované v rámci této disertační práce, především určeny, budou tyto podavače nabídnuty výrobnímu závodu československého textilního strojírenství k realaci především proto, že provedenými zkouškami lze hodnotit podavač č. 5 (VŠST -D2) jako nejvhodnější, jak bylo uvedeno ve statí 5.3 a 5.5.

Simulační zařízení k měření tahových sil bylo prihlašeno k patentování.

Oblast vědy a výuky

Výsledky předkládané práce je možno použít jako výchozí pro další řešení vědecko-výzkumných úkolů této problematiky, event. pro zadání diplomových prací, které by mohly podstatně upresnit tuto řešenou oblast.

Dále v oblasti výuky budou použity výsledky při dalším zpracování skript, přičemž v současnosti jsou používány při přednáškách a cvičeních specializačních predmětů katedry tkalcovství a pletárství.

Výsledky lze využít jako výchozí poznatky při řešení vědecko-výzkumných úkolů, napr. v oblastech plynulosti pletacího procesu, zvyšování kvality pletenin, zvyšování produkce a produktivity práce.

PŘEHLED POUŽITÉ LITERATURY

- /1/ KORJAGIN, S.P.: Načalnoe natjaženie pri osevom smatyvanii. IVUZ Techn.tekst.prom. 1970, č. 6, str. 71.
- /2/ MALÁŠEK, F.: Vliv parametrů a funkce vodících a očkovacích mechanizmů na zpracovatelnost přízí na VPS. /Výzkumná zpráva/, VÚP Brno, 1977, str. 16.
- /3/ GUSEVA, A.A.: Analiz pričin raznodlinnosti čulok. Trudy MTI, Moskva, 1955, č. 16, str. 67-83.
- /4/ PRÁŠIL, V.: Možnosti zlepšení kvality křížové cívky, Textil, 1982, č. 1, str. 10.
- /5/ ISAKOV, P.I.: K voprosu teorii natjaženija niti. IVUZ Techn. tekst. prom., 1960, č. 3, str. 173.
- /6/ PAVLÍK, J. A KOL.: Výzkum vlivu tvaru, rozměru a kvality návinu na zpracovatelnost přízí na pletacích strojích. /Výzkumná zpráva/, VÚP Brno, 1976.
- /7/ GARBARUK, V.N.: Vlijanie skorosti skoloženja niti po napravljajuščim na natjaženije. IVUZ Techn.legk.prom., 1963, č. 1, str. 158.
- /8/ GARBARUK, V.N.: Projektirovaniye trikotažnykh mašin, Leningrad, 1980, str. 325.
- /9/ KORLIŃSKI, W.: Podstawy dziewiarstwa, WNT, Varšava, 1977, str. 182.
- /10/ RAGOZA, I.V., ŠERMAN, P.P.: Isledovaniye prochožděnija niti po steržnjam malogo diametra. IVUZ Techn.legk.prom., 1968, č. 1, str. 88.
- /11/ GARBARUK, V.N., BACHMATOV, K.I.: Vlijanije sily odtjažki polotna na natjaženije niti pri kulirovani. IVUZ Techn.legk. prom., 1973, č. 6, str. 114.
- /12/ KNAPTON, J.J.F.: The Dynamics of Weft-Knitting: A Mathematical Analysis. Textile Research Journal (TRJ), 1966, str. 706.
- /13/ KNAPTON, J.J.F.: Effects of Yarn/Metal Friction, Loop Length, and Cover Factor on Knitting Performance, TRJ, 1968, str. 22.

- /14/ CILOVIČ, I.G.: Osobennosti nalady trikotažnych mašin. IVUZ Techn.legk.prom., 1980, č. 2, str. 90.
- /15/ LATZKE, P.M.: Fadenzugkraftmessungen in der Textilindustrie. Mellian Textilberichte, 1978, č. 12, str. 870.
- /16/ KOVÁŘ, R., CHLUPOVÁ, Z.: Technologie I. Skripta VŠST, Liberec, 1980, str. 97.
- /17/ VETTER, S.: Fadenzuführung und Fadenüberwandung bei Wirk- und Strickmaschinen. Wirkerei- und Strickerei-Technik, 1977, č. 7, str. 357.
- /18/ VETTER, S.: Fournisseure. Wirkerei- und Strickerei-Technik, 1981, č. 6, str. 540.
- /19/ IRO: An Improved IPS unit and a new positive feed unit for elastomeric yarns. Knit. Internat., 1977, č. 3, str. 50.
- /20/ Philip Introduces Variable speed positive feed Device. Knit. T., 1975, č. 11, str. 50.
- /21/ GARBARUK, V.N., OKS, B.S.: Vlijanije aktivnoj nitěpodáči na peťelnuju strukturu. IVUZ Techn.legk.prom., 1973, č. 5, str. 124.
- /22/ KLIMENT, G.: Die Verarbeitung von Wollgarnen auf Interlock-Rundstrickmaschinen. Wirk.u.Str.Technik, 1972, č. 7, str. 461.
- /23/ STEIN, W., GRABAND, H.W.: Verbesserung der Fadenzuführung an der Rundstrickmaschine druch Speicherfournisseure. Wirk.u.Str.Technik, 1973, č. 9, str. 606.
- /24/ HRBAČEK, J., NEUMANN, L.: Srovnání podávacích hlavic. /Výzkumná zpráva/. Zbrojovka, Vsetín, 1980.
- /25/ DUŠEK, Z.: Fotogrammetrická rekonstrukce textilních útvarů. /Kandidátská disertační práce/, SVÚT, Liberec, 1978, str. 19.
- /26/ SODOMKA, L.: Přehled optických metod hodnocení struktury. Textil, 1978, č. 7, str. 257.

- /27/ SKLJANNIKOV, V.P.: Optimizacija strojenja i mehaničeskikh svojstv tkanj iz chemičeskikh volokon, Moskva, Legkaja industria, 1974, str. 167.
- /28/ NOVIKOV, N.G.: Tekstilnaja promyšlennost, 1946, č. 2, str. 9.
- /29/ NOVIKOV, N.G.: Tekstilnaja promyšlennost, 1946, č. 6, str. 24.
- /30/ SIMON, J.: Zkoušení textilních materiálů a výrobků. SNTL, Praha, 1961, str. 294.
- /31/ KOVÁŘ, R.: Struktura a vlastnosti zátažných pletenin. /Výzkumná zpráva/, VŠST, Liberec, 1980.
- /32/ SODOMKA, L.: Použití optických metod k určování makrostruktury netkaných textilií. /Sborník NT/, VŠST, Liberec, 1976, str. 39.
- /33/ SODOMKA, L.: Rozptylové metody při hodnocení netkaných textilií. Textil, 1981, č. 4, str. 129.
- /34/ SODOMKA, L.: Struktura a vlastnosti netkaných textilií. /Diplomová práce/, VŠST, Liberec, 1981.
- /35/ NOVÁK, P.: Rozbor a konstrukce odtahu okrouhlého pletacího stroje. /Diplomová práce/, VŠST, Liberec, 1975.
- /36/ PRASIL, V.: Rozbor a optimalizace procesu odvíjení útkové nitě na tkacích strojích. /Doktorská disertační práce/, VŠST, Liberec, 1982.

2.3 HODNOCENÍ STRUKTURY PLETEPIN

Z dosavadních výzkumů jasně vyplývá souvislost mezi strukturou pleteniny a jejími vlastnostmi. Struktura pleteniny, myslíme tím strukturální uspořádání vazebních prvků, je zase do značné míry ovlivněna vlastnostmi materiálu, soustavou technických a technologických parametrů a v neposlední řadě i soustavou proměnných faktorů, např. tahových sil, které tuto strukturu ovlivňují nepřímo, prostřednictvím některých jiných parametrů.

Jestliže analyzujeme problematiku tahových sil, je nutno hledat i souvislost se změnami struktury pleteniny, které tyto tahové sily zapříčinují. Toho lze dosáhnout vyhodnocením dané struktury vhodnou metodou tak, abychom získali zpětnou vazbu "změna struktury pleteniny - změna tahové sily v niti".

Vzhledem k tomu, že oblast hodnocení struktury pletenin se dotýká dané problematiky tahových sil jen okrajově, vlastně jako její důsledek, je následující literární rešerše jen velmi krátkým přehledem současných metod hodnocení struktury pletenin.

Dnes je již známo, že o struktuře rozhodují v prvé řadě geometrické poměry a ve druhé řadě pak vzájemné vazby jednotlivých elementů struktury. Obecný pojem struktura pleteniny v širším smyslu slova zahrnuje tedy nejen geometrické vlastnosti, jako je geometrie základního vazebního prvku, tloušťka, nestejnoměrnost a pod., ale i vztahy mezi vlastnostmi nitě, vláken a hotové pleteniny.

Dosavadní způsob popisu struktury plošných textilií (tedy i pletenin) jak uvádí autor /25/, vychází většinou z jednoduchých geometrických představ o uložení nití nebo vláken, založených na přímém experimentálním pozorování prostorového rozmístění textilních komponent.

Jak tento autor /25/ dále uvádí, můžeme současné experimentální metody hodnocení struktury textilií rozdělit takto:

- A) Sledovaná komponenta je neoznačena
a) metoda orientovaných řezů
b) optická metoda "náhradního řezu".
- B) Sledovaná komponenta je označena
a) metoda fluorescenční
b) metoda rentgenografická a radiografická
c) metoda optického zprůhlednění pozorovaného objektu.

Z uvedeného rozdělení je zřejmé, že jde převážně o optické metody. Z fyzikálního hlediska je možné tyto optické metody obecně dělit, jak uvádí autor /26/ na:

- α) metody přímé - mezi které počítáme metody mikroskopické, elektroskopické, projekční, holografické apod.
- β) metody nepřímé - mezi tyto řadíme metody rozptylové, holometrické, absorbační apod.

Je nutno zdůraznit, že obě předcházející rozdělení se týkají obecně všech plošných textilií. Současná experimentální hodnocení struktury se provádí převážně u tkanin a netkaných textilií. Pro pleteniny, které mají složitější prostorové uspořádání, se tyto metody buď nehodí, protože nedají skutečný obraz struktury, nebo nejsou dostatečně spolehlivé a přesné.

Z tohoto důvodu zde bude zmínka jen o metodách, které se mohou pro sledování pletenin aplikovat nebo se již v této oblasti výzkumu struktury pletenin začaly využívat.

Vhodné metody hodnocení struktury pletenin byly rozděleny do následujících podskupin:

- 2.31 Metoda orientovaných řezů
- 2.32 Přímé optické metody
- 2.33 Metoda fotogrammetrická
- 2.34 Optické rozptylové metody

2.31 Metoda orientovaných řezů

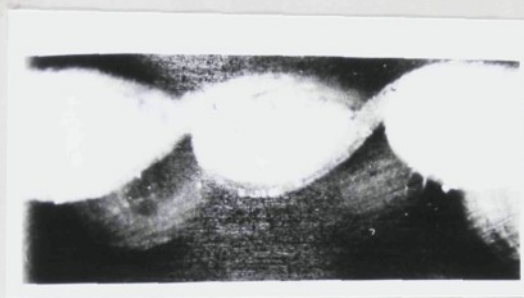
Tuto metodu můžeme považovat za nejrozšířenější. Dává nám představu o prostorovém seskupení strukturálních prvků textilie.

lie pozorováním dané textilie v podélném, příčném, popř. i jinak orientovaném řezu.

Z přehledu prací autorů /27, 28, 29, 30/ lze shrnout metodiku této experimentální metody takto:

- zalévání preparátu (na které se kladé největší důraz)
- řezání
- broušení a leštění
- mikroskopické pozorování.

Současná literatura uvádí bohužel jen výsledky experimentů, týkajících se převážně tkanin, popř. netkaných textilií. Na obr. 1 je ukázka fotografie podélného řezu propletu v rovině vazby řetízkové nitě.



Obr. 1

Je zřejmé, že tato metoda nevede k cíli tam, kde osa nitě neleží v rovině řezu.

2.32 Přímé optické metody

Z metod určování parametrů struktury textilií mají dobrou perspektivu metody optické. Na základě těchto metod byl vlastně výzkum struktury textilií započat, postupně se zdokonalovaly a rozvíjely jednoduché optické metody ve složitější, které v současné době využívají např. laserové záření apod.

Optické metody, jak uvádí /26/, které přímo zobrazují nebo měří požadovaný strukturální parametr textilie, nazýváme

přímé optické metody. Počítáme mezi ně fotografické, mikroskopické, projekční metody apod.

U těchto přímých optických metod se v poslední době často s úspěchem využívá metoda tzv. "optického zprůhlednění". Zalije-li se nezbarvený textilní materiál kapalinou se stejným indexem lomu jako má tento materiál, stene se při pozorování průhledným.

Tuto metodu použil ve své práci autor /31/ při vyhodnocování průměru nitě přímo z neporušené pleteniny fotografováním.

Jedna z nejjednodušších přímých metod, i když poměrně pracná, je metoda mikroskopická. Spočívá ve zhotovení mikrosnímků v různých místech vzorku např. běžným mikroskopem Meopta s nástavcem pro snímání na fotodesky. Pozitivy pak slouží pro vyhodnocování struktury.

2.33 Metoda fotogrammetrická

Určit tvar, velikost i polohu sledovaného objektu v prostoru je možné, máme-li k dispozici alespoň dva fotografické snímky tohoto objektu. Jde o základní úlohu samostatné vědní disciplíny, tzv. fotogrammetrie.

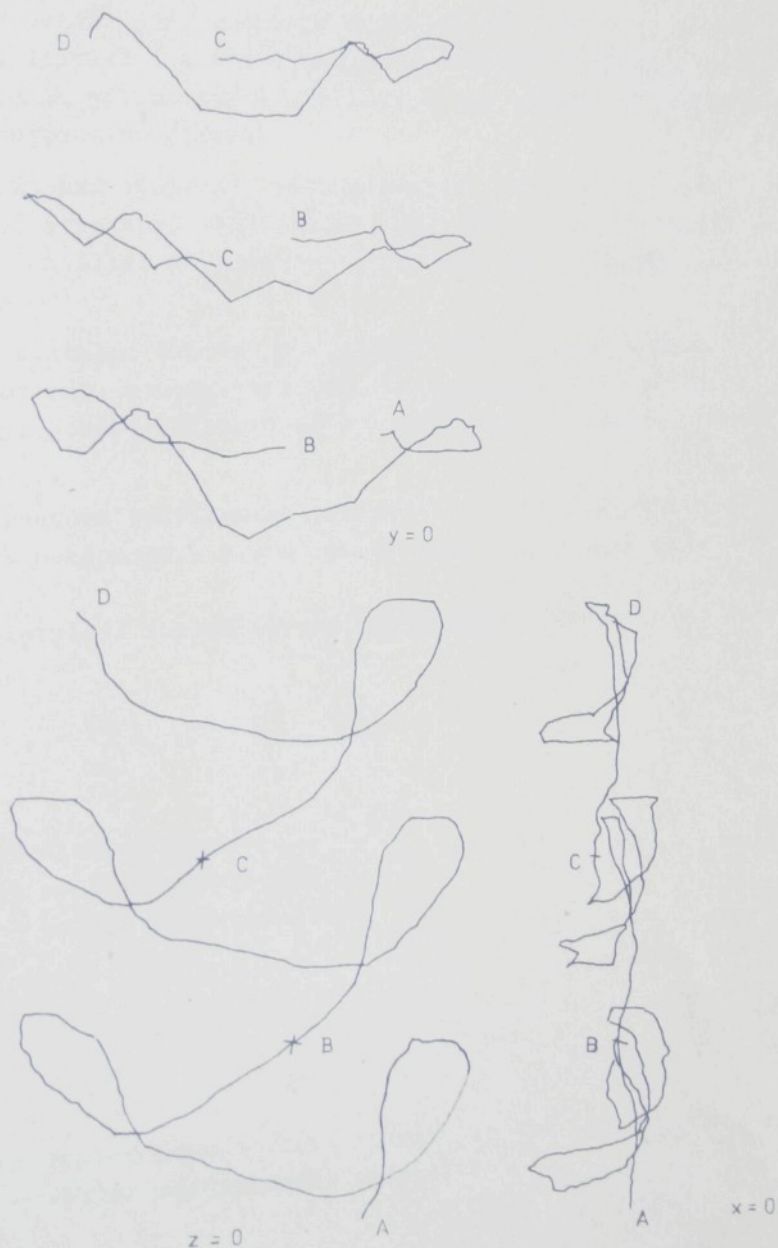
Využitím metody velmi blízké fotogrammetrie při sledování prostorového uložení nití osnovního úpletu se zabývá autor práce /25/.

Prostorové uložení nitě se získá vyhodnocením dvojice snímků, zhotovených fotografováním skupiny oček pod určitým úhlem zprava i zleva, za pomocí zprůhlednění okolní hmoty.

Měření snímkových souřadnic se provádělo ručním odečtem na pozitivech při 5-ti násobném zvětšení na profil-projektoru. Prostorové souřadnice bodů na ose nitě byly vyhodnoceny výpočtem analyticky na počítači.

Grafické znázornění průměru osy nitě vazby bylo provedeno do rovin $x = 0$, $y = 0$, $z = 0$.

Souřadnice bodů osy nitě byly vyneseny s použitím souřadnicového zapisovače stolního kalkulačoru Packard. Příklad vyhodnocení vzorku osnovní pleteniny ve vazbě sukno je uveden na obr. 2.



Obr. 2

2.34 Optické rozptylové metody

Objevem laserů se dostaly do rukou techniků intenzivní zdroje koherentního záření, které umožňují provádět difrakční experimenty i u výzkumu struktury textilií.

Jak uvádí /32/, umožňuje světelná difrakční technika provádět difrakční úlohy v makroskopických rozměrech analogické úlohám při určování mikrostruktury vláken prováděných např. rentgenovou difrací.

Počáteční výsledky výzkumu použití této metody při hodnocení struktury uvádí autor /33/, kde jde o určování textury textilií, nejprve netkaných textilií, později u pletenin.

Na textilní vzorek jako plošný útvar nechá dopadat kolmo rovinnou monochromatickou harmonickou vlnu. Jako zdroj byl použit hélium-neonový laser typu M 1000 o výkonu 1 mW.

Struktura textilie se projeví v difrakčním poli rozptylovou schopností, kterou autor popsal funkcí $R(r)$.

Rozptylová funkce je pak definována tvarem

$$R(\underline{r}) = \int_{(S)} d\underline{s} A(\underline{k}) \exp(i\underline{k} \cdot \underline{r}) \quad (1)$$

kde $d\underline{s}$ - element plochy

$A(\underline{k})$ - rozptylov. amplituda

\underline{r} - polohový vektor

(2)

$$\underline{k} = \underline{k}_\perp + \underline{k}_\parallel$$

kde \underline{k}_\perp - vektor dopadajícího záření

\underline{k}_\parallel - vektor rozptyleného záření

Nejběžnější zařízení k vytváření difrakčních obrazců je optický difraktometr. Příklad takového zařízení, jeho princip a popis je uveden v práci /34/.

2.35 Zhodnocení problematiky statí 2.3

Současné výsledky výzkumu struktury pletenin dokazují, že je nezbytné znát nejen teorii tvorby této struktury, ale i metody zpětného vyhodnocení. Jde tedy i o to, získat metodu pro zhodnocení a srovnání předpokládané a skutečné struktury pleteniny.

Oblast zkoumání struktury textilií byla v minulosti zaměřena převážně na tkaniny, popř. netkané textilie. Pleteniny mají poměrně složitější strukturu z hlediska uložení nití v prostoru a proto i metody vyhodnocování struktury pletenin jsou problematičtější.

Výhody metody orientovaných řezů můžeme spatřovat především v její rychlosti a jednoduchosti. Již z fotografických ukázek však vyplývá neschopnost metody zachytiti prostorově složitější uspořádání vazebních prvků. Zalévací hmota může kromě toho nejen porušit skutečnou geometrii textilní struktury, ale může mít i negativní vliv na deformační vlastnosti zkoušeného vzorku (smrštění při tuhnutí hmoty apod.).

Při vyhodnocování z fotografických snímků nebo mikro-snímků dochází ke značnému zkreslení proto, že snímky jsou pořizovány jen z jednoho směru, neznáme tedy přesné prostorové uložení nitě v úpletu.

Metody (2.31, 2.32) samy o sobě jsou jednoduché a vyhodnocování není pracné. I když dochází ke zkreslení skutečného uložení nitě a tedy ke značnému zjednodušení, lze metody využít např. při srovnání výsledků experimentálních měření, získaných ještě jinou metodou.

Přesné zjištění prostorových souřadnic mnoha bodů na osse vlákna nebo nitě uvnitř textilního útvaru vytváří pod-

mínky k analýze reálné struktury a ke sledování vzájemných vztahů mezi podmínkami výrobního procesu a geometrickým tvarem základní strukturální jednotky textilie.

Aplikace fotogrammetrické metody umožňuje nejen poznat vnitřní strukturu textilií, ale i výzkum fyzikálních příčin změny struktury a jejího chování při používání.

K přesnému zhotovení snímků u této metody a jejich vyhodnocení je však zapotřebí kvalitní zařízení (kamera, počítač s příslušným vybavením), které nejsou vždy k dispozici.

Určitá nepřesnost vyhodnocení ze snímků bude patrně způsobena tím, že prostorové vyhodnocení se uskutečňuje z obrysů nitě, a že tedy osa nitě, jejíž průměry bodů jsou dále zpracovány, nemusí být totožná se skutečnou osou.

Výhody metod hodnocení struktury textilií za pomocí laserové techniky můžeme spatřovat zejména v tom, že

- měření jsou velmi rychlá a jednoduchá
- stačí jedno měření (jak u holografie, tak i u rozptylových metod), protože záření zasahuje plochu rádově 50 cm^2
- můžeme sledovat i složitější struktury, které nemusí mít upravený povrch.
- dá se využít kontinuity měření
- metody jsou přesné, bezdotykové, nedestruktivní.

Zařízení jsou však ve srovnání s jinými metodami drahá a nejsou běžně k dispozici. V současné době je velmi obtížné vyhodnocení záznamů některých metod, např. vyhodnocení z difrakčních obrazců nedává konkrétní představu o struktuře.

Závěrem je možno říci, že tento směr ve výzkumu struktury je velmi progresivní, ale v současnosti je v počátcích. Dosavadní výsledky mají dosud pouze informativní charakter pro další zdokonalování metod hodnocení struktury textilií.

PŘÍLOHA č. 2

DIAGRAMY MĚŘENÍ PRŮBĚHU TAHOVÝCH SIL V NITI ZA CÍVKOU
V ZÁVISLOSTI NA ZMĚNĚ PRŮMĚRU CÍVKY (bez podavače)

Podmínky měření:

Měřící konstanta $k_M = 10 \text{ mN.dílek}^{-1}$

Posun záznamového papíru $p = 2,5 \text{ mm s}^{-1}$

U záznamů s tlumením je časová konstanta $k_t = 1 \text{ s}$

Průměr křížové cívky $d_c = 90 - 240 \text{ mm}$

Zkoušené cívky jsou označeny c1, c2, ..., c5

Zkoušený textilní materiál: 1) ba 20 x 2 tex

2) PES/Tesil 20x2 tex

3) Grisuten/Tesil 20x2tex

Materiál : ba 20x2 tex

I 10 mN

Gramm

10
8
6
4
2
0

ROTHSCHILD INSTRUMENTS ZURICH

Průběh tahových sil za cl, kde $d_c = 190$ mm.

Materiál : ba 20x2 tex

Gramm

10
8
6
4
2
0

I 10 mN

ROTHSCHILD INSTRUMENTS ZURICH

Průběh tahových sil za cl, kde $d_c = 140$ mm.

Materiál : ba 20x2 tex

Gramm

10
8
6
4
2
0

I 10 mN

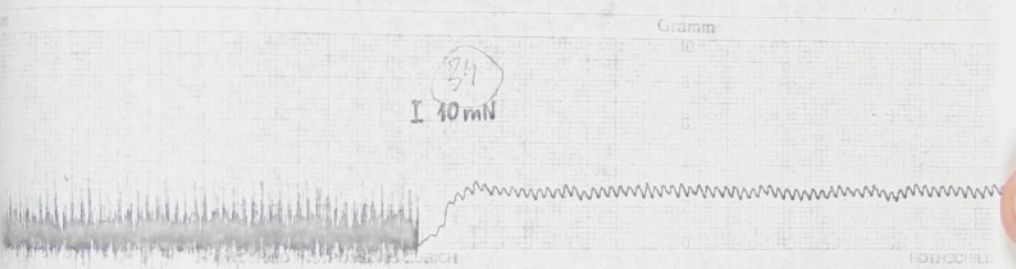
10

ROTHSCHILD INSTRUMENTS ZURICH

4. Průběh tahových sil za cl, kde $d_c = 90$ mm.
Materiál : ba 20x2 tex



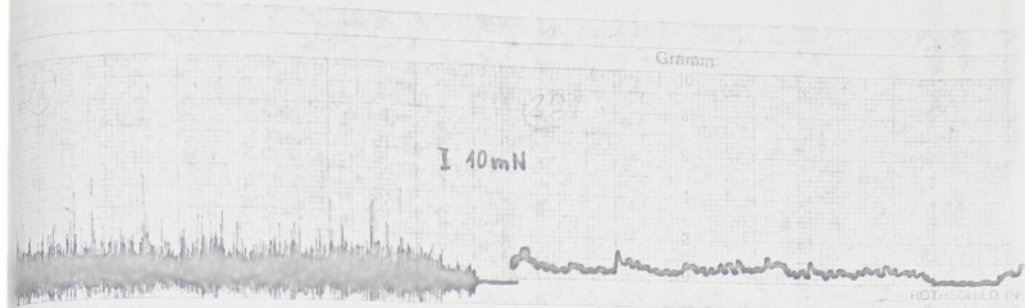
5. Průběh tahových sil za cl, kde $d_c = 240$ mm.
Materiál : PES/Tesil 20x2 tex



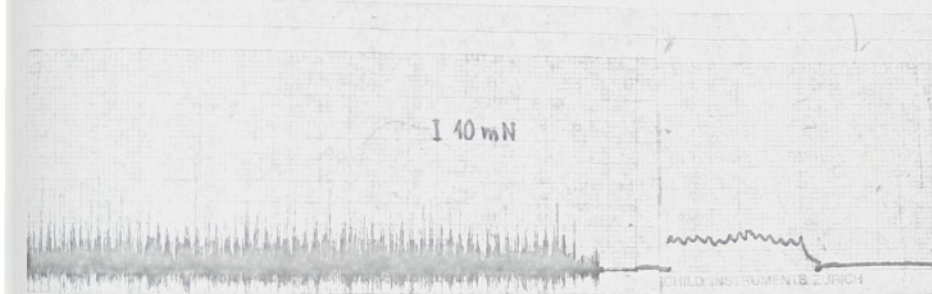
6. Průběh tahových sil za cl, kde $d_c = 190$ mm.
Materiál : PES/Tesil 20x2 tex



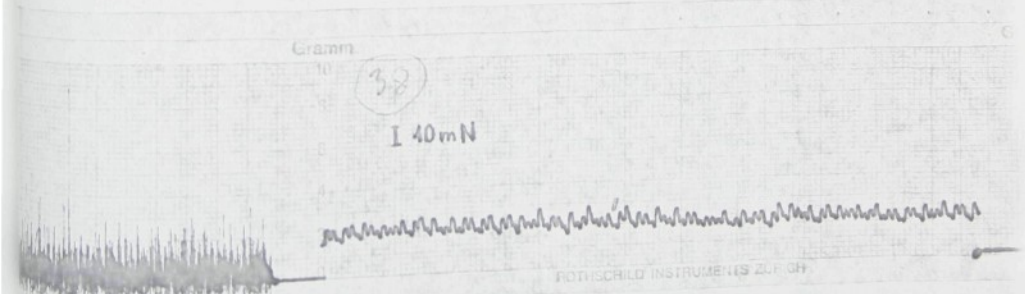
1. Průběh tahových sil za cl, kde $d_c = 140$ mm.
Materiál : PES/Tesil 20x2 tex



2. Průběh tahových sil za cl, kde $d_c = 90$ mm.
Materiál : PES/Tesil 20x2 tex



3. Průběh tahových sil za cl, kde $d_c = 240$ mm.
Materiál : Grisutén/Tesil 20,2tex



10. Průběh tahových sil za cl, kde $d_c = 190$ mm.
Materiál : Grisutén/Tesil 20,2tex

Gramm

142

L 40 mN

4

2

0

POTTER & DODD INSTRUMENTS ZURICH

11. Průběh tahových sil za cl, kde $d_c = 140$ mm.
Materiál : Crisutén/Tesil 20,2tex

Gramm

10

8

6

4

2

0

C

I 40 mN

POTTER & DODD INSTRUMENTS ZURICH

12. Průběh tahových sil za cl, kde $d_c = 90$ mm.
Materiál : Crisutén/Tesil 20,2tex

Gramm

50

40

30

20

10

0

I 40 mN

POTTER & DODD INSTRUMENTS ZURICH

D. Průběh tahových sil za cívku č.2(dále jen c2), kde $d_c = 240$ mm.

Materiál : ba 20x2 tex

I 40 mN

Gramm

10

8

6

4

2

0

WILMENIG ZURICH

4. Průběh tahových sil za c2, kde $d_c = 190$ mm.

Materiál : ba 20x2 tex

I 40 mN

Gramm

10

8

6

4

2

0

ROTHSCHILD INSTRUME

5. Průběh tahových sil za c2, kde $d_c = 140$ mm.

Materiál : ba 20x2 tex

I 40 mN

Gramm

10

8

6

4

2

0

ZURICH

ROTHSCH

Průběh tahových sil za c2, kde $d_c = 90$ mm.
Materiál : ba 20x2 tex

I 10 mN

ROTHSCHILD INSTRUMENTS ZURICH

Průběh tahových sil za c2, kde $d_c = 240$ mm.
Materiál : PES/Tesil 20x2 tex

I 10 mN

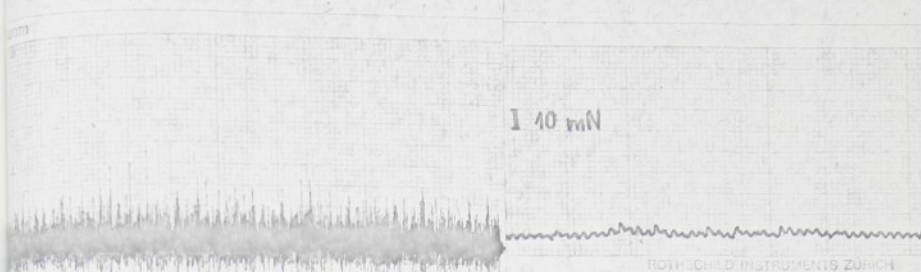
Průběh tahových sil za c2, kde $d_c = 190$ mm.
Materiál : PES/Tesil 20x2 tex

Gramm

I 10 mN

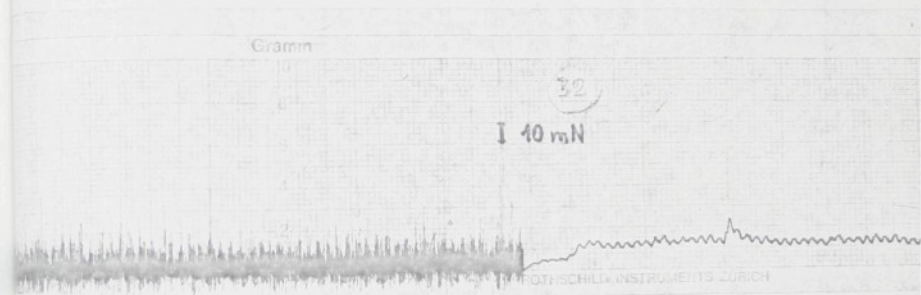
ROTHSCHILD INSTRUMENTS ZURICH

19. Průběh tahových sil za c2, kde $d_c = 140$ mm.
Materiál : PES/Tesil 20x2 tex



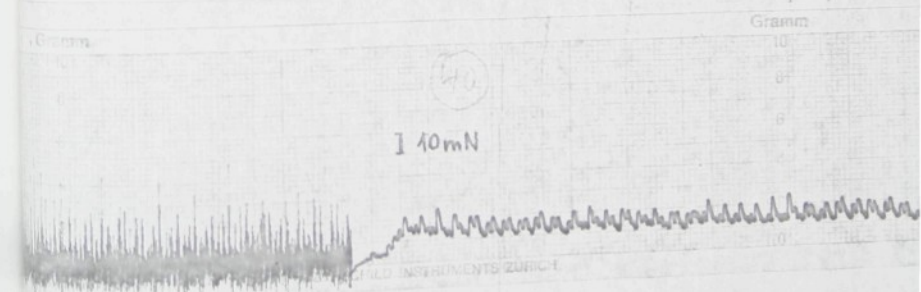
ROTHSCHILD INSTRUMENTS ZÜRICH

20. Průběh tahových sil za c2, kde $d_c = 90$ mm.
Materiál : PES/Tesil 20x2 tex

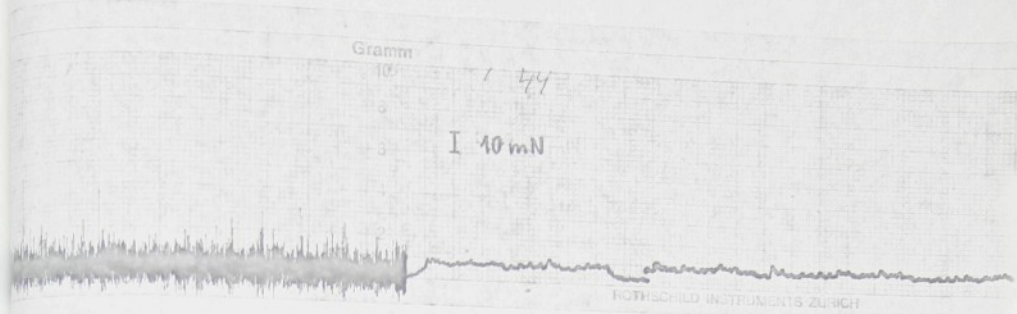


ROTHSCHILD INSTRUMENTS ZÜRICH

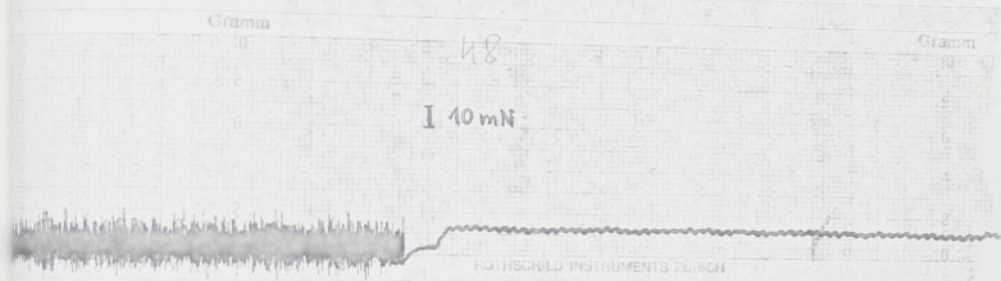
21. Průběh tahových sil za c2, kde $d_c = 240$ mm.
Materiál : Grisuten/Tesil 20x2tex



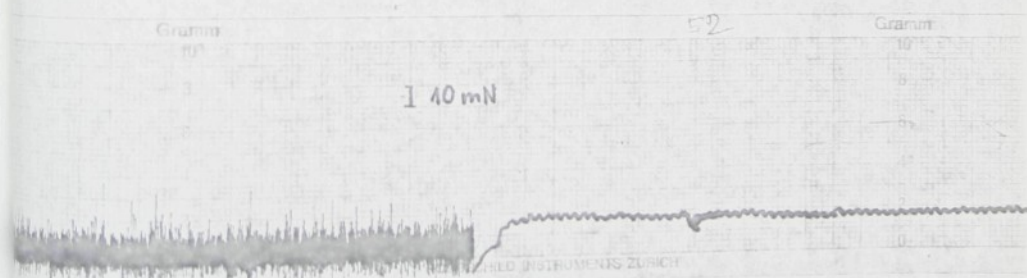
22. Průběh tahových sil za c2, kde $d_c = 190$ mm.
Materiál : Grisuten/Tesil 20.2tex



23. Průběh tahových sil za c2, kde $d_c = 140$ mm.
Materiál : Grisuten/Tesil 20.2tex



24. Průběh tahových sil za c2, kde $d_c = 90$ mm.
Materiál : Grisuten/Tesil 20.2tex



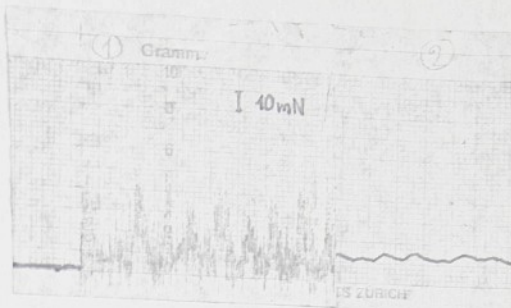
PŘÍLOHA č. 3

DIAGRAMY MĚŘENÍ PRŮBĚHU TAHOVÝCH SIL V NITI ZA BRZDOU A PŘED JEHLOU (bez podavače)

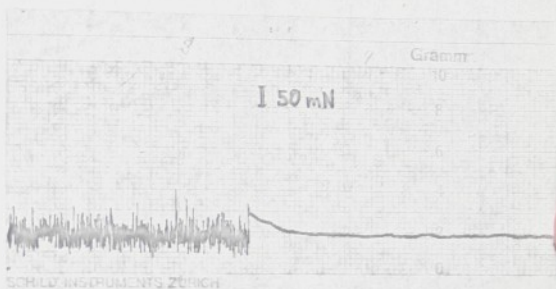
Podmínky měření:

Měřící konstanta k_M je uvedena přímo v diagramech
Posun záznamového papíru $p = 10 \text{ mm s}^{-1}$
U záznamů s tlumením je časová konstanta $k_t = 1 \text{ s}$
Průměr křížové cívky $d_c = 90 - 240 \text{ mm}$
Zkoušený textilní materiál: 1) ba 20x2 tex
2) PES/Tesil 20x2 tex
3) Grisuten/Tesil 20,2tex

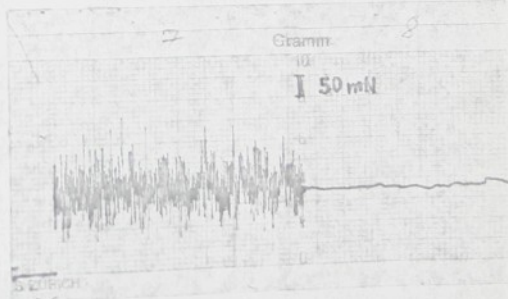
- i. Průběh tahových sil za
cívkou, $d_c = 240$ mm.
Materiál : ba 20x2 tex



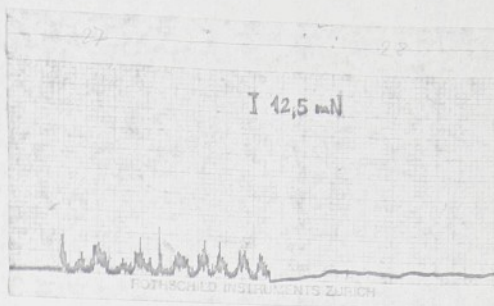
- ii. Průběh tahových sil ze
brzdou, $d_c = 240$ mm.
Materiál : ba 20x2 tex



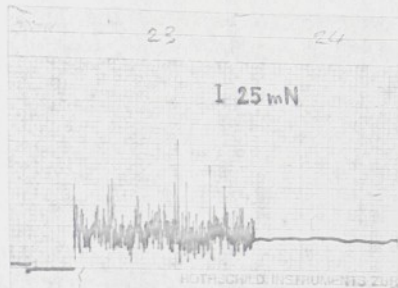
- iii. Průběh tahových sil před
jehlou, $d_c = 240$ mm.
Materiál : ba 20x2 tex



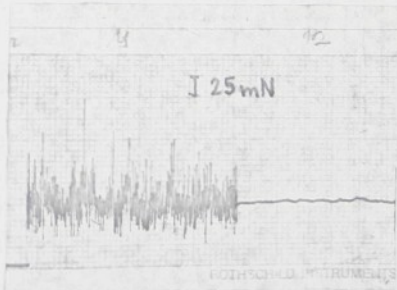
i. Průběh těhových sil za
cívku, $d_c = 190$ mm.
Materiál : ba 20x2 tex



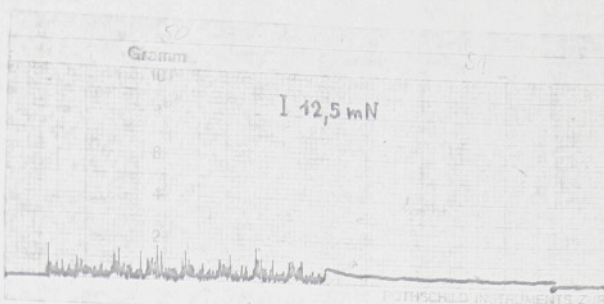
j. Průběh těhových sil za
brzdou, $d_c = 190$ mm.
Materiál : ba 20x2 tex



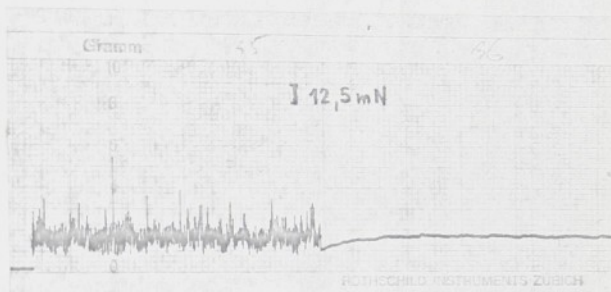
k. Průběh těhových sil před
jehlou, $d_c = 190$ mm.
Materiál : ba 20x2 tex



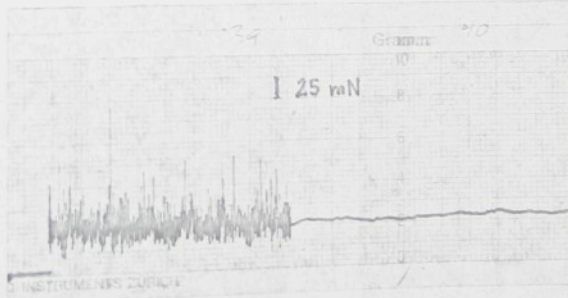
Průběh tahových sil za
cívkou, $d_c = 140$ mm.
Materiál : ba 20x2 tex



Průběh tahových sil za
brzdou, $d_c = 140$ mm.
Materiál : ba 20x2 tex



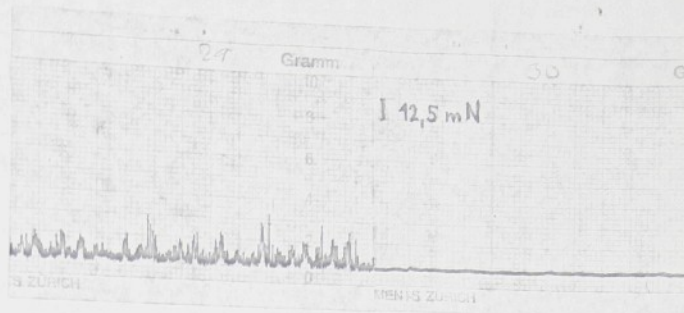
Průběh tahových sil před
jehlou, $d_c = 140$ mm.
Materiál : ba 20x2 tex



10. Průběh tahových sil za cívkou,
 $d_c = 90$ mm.

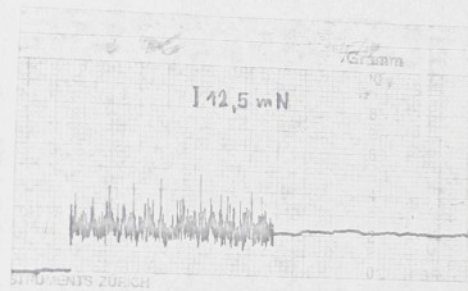
Materiál :

ba 20x2 tex



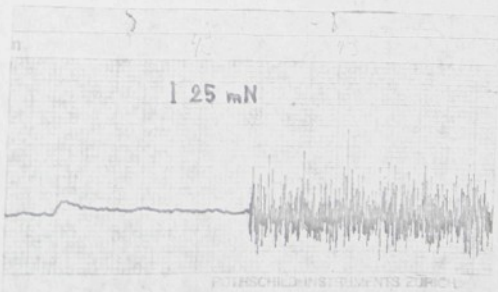
11. Průběh tahových sil za
brzdou, $d_c = 90$ mm.

Materiál : ba 20x2 tex



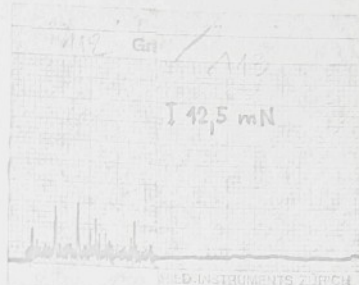
12. Průběh tahových sil před
jehlou, $d_c = 90$ mm.

Materiál : ba 20x2 tex



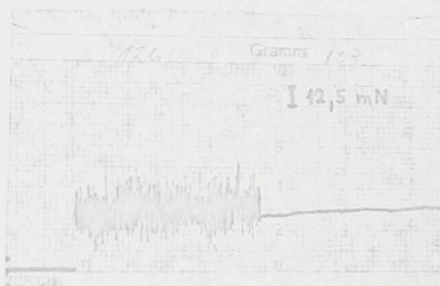
4. Průběh tahových sil za
cívkou, $d_c = 90$ mm.

Materiál : Grisuten/Tesil 20,2tex



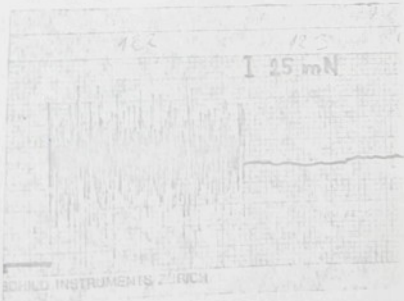
5. Průběh tahových sil za
brzdou, $d_c = 90$ mm.

Materiál : Grisuten/Tesil 20,2tex



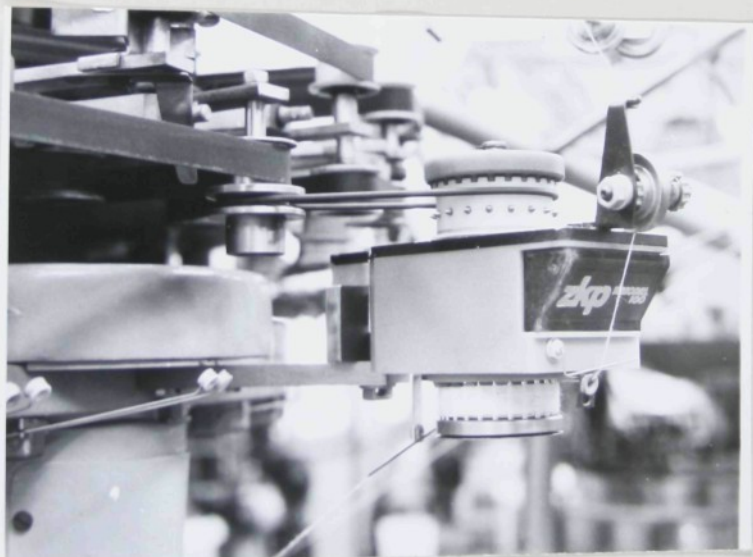
6. Průběh tahových sil před
jehlou, $d_c = 90$ mm.

Materiál : Grisuten/Tesil 20,2tex

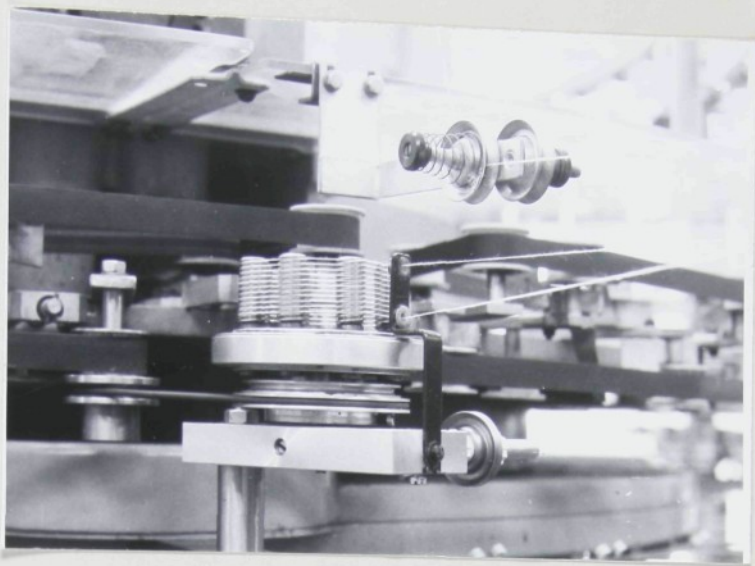


PŘÍLOHA č. 4

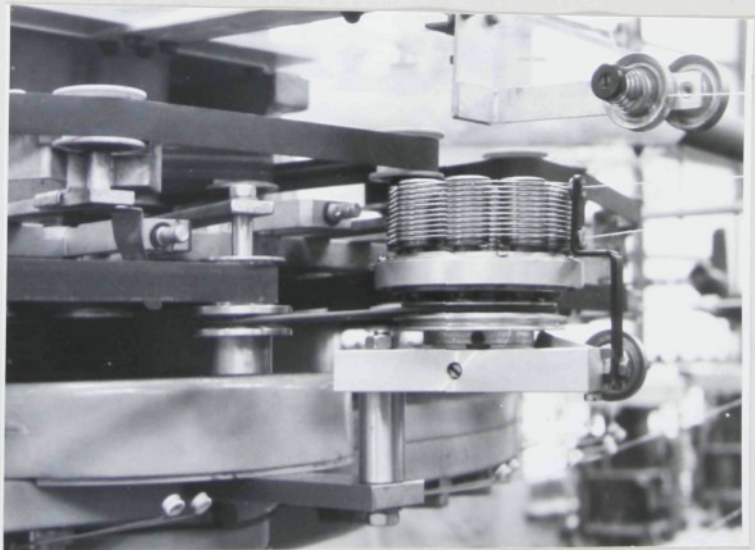
FOTOGRAFIE UPEVNĚNÍ SLEDOVÁVÝCH PODAVAČŮ P2, P3, P4
NA INTERLOKOVÝM STROJI "METO"



Fotografie upevnění podavače P2 ("Z" - DTH 7646,
Zbrojovka, Vsetín)



Fotografie upevnění podavače P3 (VŠST-A)



Fotografie upevnění podavače P4 (VŠST-B)

P K I L O H A č. 5

DIAGRAMY MĚŘENÍ PRŮBĚHU TAHOVÝCH SIL V NITI ZA PODAVAČEM

Podmínky měření:

Měřící konstanta $k_M = 50 \text{ mN dílek}^{-1}$

Posun záznamového papíru $p = 10 \text{ mm s}^{-1}$

U zápisů s tlumením je časová konstanta $k_t = 1 \text{ s}$

Průměr křížové cívky $d_c = 140 \text{ mm}$

Rychlosť podávání nitě $v = 1,54 \text{ m s}^{-1}$

- Zkoušený textilní materiál:
- 1) ba 20x2 tex
 - 2) PES/Tesil 20x2 tex
 - 3) Grisuten/Tesil 20:2tex

Použité typy podavačů a jejich označení:

P1 - páskový podavač (na VPS "Meto")

P2 - "Z"-DTH 7646 (Zbrojovka, Vsetín)

P3 - podavač VŠST (šroubový - malý průměr) A

P4 - podavač VŠST (šroubový - velký průměr) B

P5 - podavač VŠST (hladký) D2

PŘÍLOHA č. 6

DIAGRAMY MĚŘENÍ PRŮBĚHU TAHOVÝCH SIL V NITI ZA PODAVAČEM P5 V ZÁVISLOSTI NA ZMĚNĚ RYCHLOSTI PODÁVÁNÍ NITĚ

Podmínky měření:

Použitý podavač P5 - podavač VŠST (hladký)

Měřící konstanta k_m je uvedena přímo v diagramech

Posun záznamového papíru $p = 10 \text{ mm s}^{-1}$

U záznamů s tlumením je časová konstanta $k_t = 1 \text{ s}$

Průměr křízové cívky $d_c = 140 \text{ mm}$

Rychlosti podávání nitě jsou uvedeny u záznamů.

Zkoušený textilní materiál: 1) ba 20x2 tex

2) PES/Tesil 20x2 tex

3) Grisuten/Tesil 20x2tex

